



UNIVERSITAT
POLITÈCNICA
DE VALÈNCIA



UNIVERSITAT POLITÈCNICA DE VALÈNCIA

Dpto. de Ingeniería de Sistemas y Automática

Control distribuido del robot colaborativo UR3

Trabajo Fin de Máster

Máster Universitario en Automática e Informática Industrial

AUTOR/A: Alfonso Safont, Raúl

Tutor/a: Zotovic Stanisic, Ranko

CURSO ACADÉMICO: 2021/2022





Índice general

• Agradecimientos	4
• Resumen.....	5
• Summary	6
1.Memoria.....	7
Anexo 1.....	108
2.Planos	130
3.Presupuesto	138



- **Agradecimientos**

Antes de comenzar a desarrollar este proyecto, quería dar las gracias a todas las personas que han contribuido directa o indirectamente en la realización de este trabajo:

A los alumnos que han compartido conmigo el laboratorio y hemos pasado muchas horas juntos, a los técnicos de laboratorio del ISA que siempre han estado en completa disposición para ayudar a solucionar los problemas.

A mi tutor Ranko Zotovic Stanisic por ayudarme en todo lo posible en la realización de este TFM.

Y por último, pero no por ello menos especial, dar las gracias a mi familia, pareja y amigos que sin su apoyo durante todos los años, pero en especial en este año último, no hubiese sido posible.



- **Resumen**

Los controladores de los robots colaborativos habitualmente son cerrados. Permiten al usuario enviar al robot un conjunto de comandos predeterminados, pero no permite implementar formas más complejas de control.

Por lo que el propósito de este proyecto, es realizar un control distribuido con robots UR3, donde parte del control se realice desde el propio robot, utilizando su interfaz y sus funciones, y la otra parte se realice mediante un PC externo, en este caso con lenguaje Python. De esta forma se aprovechan las funciones ya implementadas en el robot (cinemática, dinámica, etc) pudiéndolas ampliar con funciones propias del desarrollador.

Se estudiara la manera de poder conectarse al sensor externo de fuerza y par del robot, sin necesidad de utilizar la interfaz del robot, y poder así leer sus valores.

La parte fundamental del trabajo consistirá en la realización de una serie de experimentos para realizar un control coordinado de dos robots colaborativos UR3. El objetivo principal será comparar los 3 movimientos básicos del robot (MoveL, MoveJ y MoveP) para que en todos se pueda realizar un movimiento coordinado y posteriormente que ambos puedan transportar un objeto.

Con el Movimiento MoveJ, se puede producir una mayor desviación para la coordinación de ambos robots, por lo que se va a realizar un control por bucle interior-exterior, el lazo interior que esta implementado por el fabricante del robot, es un control cerrado y limitado, y el lazo exterior será un control por velocidad con un regulador proporcional. Para el control por velocidad se utilizara el comando SpeedL del robot UR3, donde el robot maestro se moverá haciendo una trayectoria y el robot esclavo lo seguirá.

Se estudiara el tiempo óptimo para conseguir una buena recepción y envío de datos entre los robots y el PC externo. Al ser este un tiempo mayor que el periodo de muestreo de los robots, puede causar una mayor desviación entre ellos, ya que este envío de datos se realizaría una menor cantidad de veces, por lo que se realiza un experimento donde se guardan las posiciones del maestro en un archivo de datos previamente, para así poder saber el robot esclavo la posición actual del maestro y su posición en el instante siguiente.

Por último, se realiza un estudio del tipo de generador de trayectoria que tiene el robot UR3, así como la viabilidad de realizar un experimento basado en la inversa del generador de trayectoria, observando los tiempos entre las fases de velocidad, su velocidad y su aceleración.

Para finalizar, se realizaran los planos de robot UR3, así como un presupuesto del proyecto.

Palabras clave:

Control distribuido. Robot Colaborativo. Robot UR3. Python.



- **Summary**

The collaborative robot controllers are usually closed source. It allow the user to send default commands to the robot, but not enable to implement more complex ways of control.

Thus, the purpose of this project is to perform a distributed control using UR3 robots, where a part of the control be carried out by the robot itself, using its interface and functions, and the other side is realised using an external PC, in this case, in Python language. This way, we can benefit from the functions implemented at the robot (kinematic, dynamic, etc) and will extend it with developer own functions.

Will be consider the way to connect to the external robot sensors of power and torque, without the need to use the robot interface, and this way can read its values.

The essential part of the work will consist on the completion of a set of experiments to make a coordinated control of two collaborative UR3 robots. The main objective will be compare the tree basic robot movements (MoveL, MoveJ and MoveP) so that they can perform a coordinated movement and subsequently, that both may transport an object.

The MoveJ movement may cause a greater deviation to the coordination of both robots. To avoid this, an internal-external loop control will be performed. The internal link implemented by the robot manufacturer is a closed and limited control. The external link will be a speed control with a proportional regulator. For the speed control will be use the SpeedL command of the UR3 robot, where the master robot will move performing a path, and the slave will follow it.

I will study what is the optimal time to achieve a good sending and receiving data between the robots and the external PC. As a bigger time that the sampling period, this may result in a greater deviation between the robots, as the data sending would be performed a smaller number of times. Therefore, a experiment is realized, where we save the master robot positions in a data file, so that the slave robot may know the current position of the master robot and its position and the next moment.

Finally, the path generator type of the UR3 robot is studied, just as the viability of doing an experiment base on the reverse of the path generator, monitoring the time between the speed stages, the current speed and its acceleration.

To conclude, the UR3 robot drawings will be made, as well as a budget of the project.

Keywords:

Distributed control. Collaborative robot. UR3 robot. Python.



UNIVERSITAT
POLITÈCNICA
DE VALÈNCIA



UNIVERSIDAD POLITECNICA DE VALENCIA

Dpto. de Ingeniería de Sistemas y Automática

Control distribuido del robot colaborativo UR3

1. MEMORIA

TRABAJO DE FIN DE MASTER

Master Universitario en Automática e Informática Industrial

AUTOR/A: Alfonso Safont, Raúl

Tutor/a: Zotovic Stanisic, Ranko

Curso Académico: 2021-2022





Índice

1.	Memoria	7
1.1.	Objetivos.....	7
1.2.	Antecedentes.....	7
1.3.	Factores a considerar	10
1.3.1.	Robots Colaborativos	10
1.3.2.	Universal Robots.....	12
1.3.3.	Protocolos Nivel de Transporte.....	13
1.3.4.	Gestión. Normas ISO	16
1.3.5.	Generador de trayectorias	17
1.3.6.	Tipos de trayectorias	19
1.3.7.	Planificación.....	20
1.4.	Planteamiento de soluciones alternativas y justificación de la solución adoptada.....	21
1.5.	Descripción detallada de la solución adoptada.....	24
1.6.	Justificación detallada de los elementos o componentes de la solución adoptada.	25
1.6.1.	Sensor On robot	25
1.6.2.	Compute Box	26
1.6.3.	Polyscope.....	27
1.6.4.	Parámetros Denavit-Hatenberg	31
1.6.5.	Limitaciones de velocidad y posición	31
1.6.6.	Limitaciones de movimiento	32
1.7.	Experimentos.....	33
•	Entorno del laboratorio	33
•	Cambio del sistema de coordenadas.....	34
1.7.1.	Lectura de datos del Sensor	41
1.7.2.	Experimento 1: Movimiento del Robot UR3	48
1.7.3.	Experimento 2: Movimiento coordinado de dos robots colaborativos.	58
1.7.4.	Experimento 3. Movimiento coordinado de dos robots cogiendo un objeto.....	65
1.7.5.	Experimento 4. Funcion get_target_tcp_pose.....	71
1.7.6.	Experimento 5: Comunicación por Modbus.....	76
1.7.7.	Experimento 6: Control bucle interior, bucle exterior	80
1.7.8.	Inversa del generador de trayectoria.....	89
1.8.	Conclusiones.....	99
1.9.	Bibliografía.....	100

Índice de Figuras

Fig1. Robot Yumi	7
Fig2. Robot PhantomX Pincher.....	8
Fig3. Robot Siscom	9
Fig4. Grafica trayectoria trapezoide.....	17
Fig5. Grafica trayectoria perfil en S.....	18
Fig6. Grafica trayectoria Perfil en S parcial	18
Fig7. Robot UR3e de perfil	25
Fig8. Sensor On robot.....	25
Fig9. Sensor On robot instalado en el robot UR3.....	25
Fig10. Compute Box	26
Fig11. Conexiones Compute Box.....	27
Fig12. Pantalla principal Polyscope	28
Fig13. Pantalla inicio UR3	28
Fig14. Pestaña inicialización del robot	29
Fig15. Primera pestaña de inicialización	30
Fig16. Segunda pestaña de inicialización	30
Fig17. Límites de velocidad de cada articulación del robot UR3.....	31
Fig18. Límites de posición de cada articulación del robot UR3.....	32
Fig19. Ejemplo de Singularidad	32
Fig20. Ejemplo de una articulación fuera de rango	33
Fig21. Ejemplo de puntos alcanzables con diferente configuración.....	33
Fig22. Espació de trabajo con UR3 y UR3e.....	34
Fig23. Espació de trabajo con dos UR3e	34
Fig24. Configuración de un plano de referencia	36
Fig25. Pantalla con un plano definido	37
Fig26. Pantalla de Mover.....	38
Fig27. Ecuación transformada.....	38
Fig28. Matriz de Rotación en x,y,z.....	39
Fig29. Espacio de trabajo con representación de ejes.....	40
Fig30. Espacio de trabajo de los dos robots UR3e con indicación de ejes.....	40
Fig31. Pantalla Move UR3e	41
Fig32. Página web del sensor	42
Fig33. Estructura comandos UDP	43
Fig34. Estructura datos de salida UDP	43
Fig35. Estructura de comandos TCP.....	44
Fig36. Datos de salida TCP.....	44
Fig37. Pantalla del Hercules para UDP	45
Fig38. Pantalla del Hercules para UDP con los comandos a utilizar	46
Fig39. Pantalla Hercules para TCP	47
Fig40. Programa movimiento individual UR3.....	50
Fig41. Respuesta del codigo Python al movimiento x.....	50
Fig42. Respuesta del codigo Python al movimiento y.....	51
Fig43. Respuesta del codigo Python al movimiento z.....	51
Fig43. Codigo de Python del recibiendo de datos.....	52
Fig44. Codigo de Polyscope movimientoo individual UR3e	53

Fig45. Instrucción de Python con la nueva posición 54

Fig46. Respuesta del código de Python al movimiento en x..... 55

Fig47. Respuesta del código de Python al movimiento en y..... 56

Fig48. Instrucción de Python con la nueva posición variando z..... 56

Fig50. Código Polyscope con Path_offset_set 58

Fig51. Código Polyscope UR3e y UR3 para movimiento coordinado 59

Fig52. Primera toma de datos de las posiciones con MoveJ..... 60

Fig53. Segunda toma de datos de las posiciones con MoveJ..... 60

Fig54. Tercera toma de datos de las posiciones con MoveJ 61

Fig55. Cuarta toma de datos de las posiciones con MoveJ..... 61

Fig56. Primera toma de datos de las posiciones con MoveL 62

Fig57. Segunda toma de datos de las posiciones con MoveL 62

Fig58. Tercera toma de datos de las posiciones con MoveL..... 63

Fig59. Cuarta toma de datos de las posiciones con MoveL 63

Fig60. Primera toma de datos de las posiciones con MoveP 64

Fig61. Segunda toma de datos de las posiciones con MoveP..... 64

Fig62. Tercera toma de datos de las posiciones con MoveP 64

Fig63. Cuarta toma de datos de las posiciones con MoveP..... 65

Fig64. Código devuelto por Python con movimiento MoveL..... 67

Fig65. Código devuelto por Python con movimiento MoveJ 68

Fig66. Código devuelto por Python con movimiento MoveP y 5mm de radio 69

Fig67. Código devuelto por Python con movimiento MoveP y 2mm de radio 70

Fig68. Código devuelto por Python con movimiento MoveL..... 72

Fig69. Código devuelto por Python con movimiento MoveJ 73

Fig70. Código devuelto por Python con movimiento MoveP 74

Fig71. Código devuelto por Python con movimiento MoveP 75

Fig72. Pantalla configuración Modbus UR3 76

Fig73. Pantalla configuración Modbus UR3e 77

Fig74. Código Polyscope programa básico en UR3e 78

Fig75. Código Polyscope programa básico en UR3 78

Fig76. Pantalla configuración Modbus UR3e maestro 79

Fig77. Pantalla configuración Modbus UR3e esclavo..... 79

Fig78. Código Polyscope para movimiento coordinado con Modbus..... 80

Fig79. Esquema control por bucle interior-exterior..... 81

Fig80. Código Python matriz de transformación 82

Fig81. Código Python cálculo de errores 82

Fig82. Código Python cálculo velocidad de referencia 82

Fig83. Código Python dato a enviar..... 83

Fig84. Código Polyscope para el control por bucle interior-exterior 84

Fig85. Respuesta a la prueba con ninguna espera 85

Fig86. Respuesta a la prueba con 0.05s de espera 86

Fig87. Respuesta a la prueba con 0.02s de espera 87

Fig88. Código Polyscope para guardar las posiciones..... 88

Fig89. Posición de las articulaciones 89

Fig90. Velocidad de las articulaciones..... 90

Fig91. Aceleración de las articulaciones..... 90

Fig92. Velocidad de las articulaciones..... 91



Fig93. Velocidad de las articulaciones.....	91
Fig94. Velocidad de las articulaciones.....	92
Fig95. Velocidad de las articulaciones.....	93
Fig96. Posición de las articulaciones.....	93
Fig97. Velocidad de las articulaciones.....	94
Fig98. Velocidad de las articulaciones.....	94
Fig99. Posición de las articulaciones.....	95
Fig100. Velocidad de las articulaciones.....	95
Fig101. Velocidad de las articulaciones.....	96
Fig102. Posición de las articulaciones.....	96
Fig103. Velocidad de las articulaciones.....	97
Fig104. Velocidad de las articulaciones.....	97
Fig105. Posición de las articulaciones.....	98

Índice de Tablas

Tabla1. Especificaciones robot Yumi.....	8
Tabla2. Especificaciones robot PhantomX.....	9
Tabla3. Diagrama de Gantt.....	20
Tabla4. Especificaciones robot UR3/UR3e.....	22
Tabla5. Especificaciones robot UR5.....	22
Tabla6. Especificaciones robot UR10.....	23
Tabla7. Especificaciones robot UR16.....	23
Tabla8. Especificaciones robot UR20.....	23
Tabla9. Especificaciones sensor On robot.....	26
Tabla10. Parametros Denavit-Hatenberg robot UR3.....	31
Tabla11. Lista de comandos para la comunicación con el sensor.....	42
Tabla 12. Comparación de posición del UR3 con MoveJ.....	61
Tabla13. Comparación de las posciones del UR3 con MoveL.....	63
Tabla14. Comparación de la posición de UR3 con MoveP.....	65
Tabla 15. Comparación desviaciones de las dos funciones anteriores.....	76
Tabla 16. Comparación del tiempo 1, del tiempo 2 y de la aceleración con sus desviaciones.....	98

1. Memoria

1.1. Objetivos

En este trabajo académico se va a promover la realización de la comunicación entre un ordenador y robots UR3. Se realizarán diferentes experimentos para comprobar con que tecnología se consigue una mejor comunicación en tiempo real.

- Realización de la comunicación entre el UR3 y el ordenador como con el UR3e y el ordenador mediante Python.
- Medición en tiempo real de la fuerza realizada por el robot UR3
- Envío y recepción de los datos de posición al robot UR3 y UR3e
- Movimiento coordinado de ambos robots mediante cambio de sistema de coordenadas
- Movimiento coordinado de ambos robots realizando un trabajo de pick and place
- Movimiento coordinado mediante MODBUS
- Movimiento coordinado mediante control bucle interior y exterior.

1.2. Antecedentes

Se ha observado otros proyectos similares donde realizaban un control con 2 brazos robóticos. Sin embargo en ninguno de ellos se ha utilizado o bien dos robots separados, sin tener una parte en común, o bien no se ha utilizado ningún lenguaje para su programación.

- **Robot Yumi**



Fig1. Robot Yumi

[1]En 2015, ABB presentó YuMi, el primer robot verdaderamente colaborativo del mundo YuMi cambió las reglas del juego y anunció una nueva era en la que las personas y los robots trabajan de manera segura y productiva uno al lado del otro, sin barreras.

Los robots colaborativos son expertos en agregar flexibilidad a los procesos de ensamblaje que necesitan hacer pequeños lotes de productos altamente individualizados, en ciclos cortos.

Al combinar la capacidad única de las personas para adaptarse al cambio con la resistencia incansable del robot para tareas precisas y repetitivas, es posible automatizar el ensamblaje de muchos tipos de productos en la misma línea.

[2]YuMi ha establecido el estándar de seguridad en aplicaciones colaborativas donde los robots y los trabajadores manuales necesitan trabajar de manera conjunta. Con su destreza y diseño de doble eje y 14 ejes, YuMi ha desempeñado un papel clave en la mejora de la productividad y la calidad en las líneas de producción en todo el mundo.

Tipo	Articulado, colaborativo
Numero de ejes	14 ejes
Carga máxima	500 g
Radio de acción	559 mm
Velocidad	25 mm/s
Repetibilidad	0.02 mm
Peso	38 kg

[3] **Tabla1.** Especificaciones robot Yumi

- **PhantomX Pincher** de 4 grados de libertad utilizando matlab como método de programación.



Fig2. Robot PhantomX Pincher

[4]El brazo PhantomX Pincher AX-12 es un brazo robótico de 5 grados de libertad y fácil adición a la plataforma del robot TurtleBot ROS. No dispone de un software compatible. Los ejemplos de ROS están disponibles y son de código abierto.

Peso	550 g
Alcance vertical	35 cm
Alcance horizontal	31 cm
Fuerza	25 cm/ 40g; 20cm/70g 10 cm/100 g
Fuerza pinza	500 g
Fuerza elevación de la muñeca	250 g

Tabla2. Especificaciones robot PhantomX

[5]Mediante 2 robots PhantomX se realiza un control con los dos brazos robóticos para trabajar sincronizados utilizando Matlab.

- **Agarre bimanual de objetos asistido por visión**

[6]La plataforma robótica consta de un torso metálico con articulación rotacional en la cadera y de dos manipuladores industriales, de 7 grados de libertad, que actúan como brazos.

- **SISCOM**

[7]Sistema cooperativo multi-robot basado en 2 robots colaborativos UR para la impresión 3D de muros, columnas, etc...

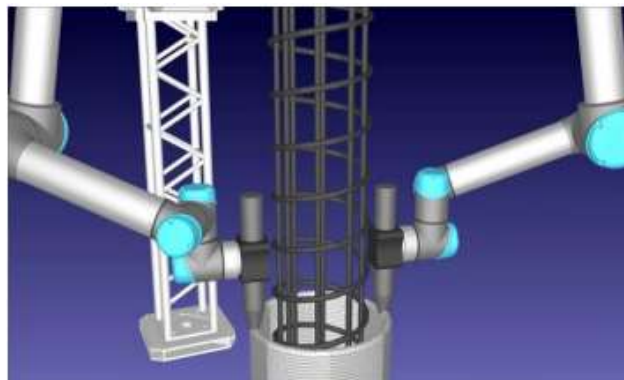


Fig3. Robot Siscom

El sistema paralelo de construcción impresa, también conocido como Delta, está compuesto fundamentalmente por tres brazos articulados concurrentes o cables en tensión

concurrentes. Los eslabones de la cadena cinemática de cada brazo se conectan mediante, ya sea una unión prismática (traslacional) en la dirección del eje vertical Z, o una unión de revolución (rotacional) en torno a uno de los ejes horizontales X o Y y dos uniones universales (rotacionales) en torno a uno de los ejes horizontales X o Y y en torno al eje vertical Z.

La boquilla convencional por donde se extruye el material se desplaza con tres grados de libertad y con una única orientación fija.

1.3. Factores a considerar

1.3.1. Robots Colaborativos

Los robots colaborativos o Cobots son robots articulados industriales capaces de trabajar junto a los humanos sin necesidad de un sistema de seguridad externo, caracterizados por ser ligeros, flexibles y fáciles de instalar.

[8] Los cobots liberan a los trabajadores de las tareas más peligrosas, repetitivas y pesadas reduciendo las bajas y las enfermedades laborales. Además, cuentan con sensores capaces de detectar la presencia humana y actuar en consecuencia.

[9] Estos también se pueden aplicar a las acciones o puestos de trabajo que requieran posturas más incómodas o que pongan en riesgo la salud de los trabajadores. Igualmente, puedes redirigir su trabajo a operaciones más pequeñas que no ocupen el tiempo de los funcionarios de la empresa. También se pueden utilizar en otro tipo de operaciones donde sean expuestos a altas temperaturas, trabajen con materiales tóxicos o empleen utensilios punzantes o cortantes.

Principales características frente a los robots industriales clásicos:

- ✓ Mas portátiles
- ✓ Más versátiles
- ✓ Más colaborativos
- ✓ Más rentables
- ✓ Más seguros

El mercado mundial de los robots industriales está experimentando un crecimiento sin precedentes en los últimos años. A medida que las tecnologías de la robotización evolucionan, su uso se extiende cada vez más en sectores como la automoción y la electrónica, actualmente considerados como los principales impulsores de su crecimiento. Lo más importante es que el coste de estas soluciones de automatización ya no representa una barrera para las pequeñas o medianas empresas, dado que un cobot se puede adquirir por menos de 25.000 €. Ante este horizonte, los cobots son una excelente herramienta para optimizar los sistemas productivos.

Los cobots son, en la actualidad, el segmento de mayor crecimiento de la automatización industrial. Según datos de la Robotic Industries Association (RIA), se espera que en 2025 se multipliquen por diez hasta alcanzar el 34% de todas las ventas de robots industriales.

[10]La ISO define 4 tipos de modos de funcionamiento de los robots colaborativos:

- Limitación de potencia y fuerza

Según la especificación técnica *ISO/TS 15066:2016*, si ocurre un contacto intencionado o accidental entre robots y personas, dicho contacto no puede provocar lesiones ni dolor. Esta norma define más concretamente los modos de funcionamiento y complementa a la norma *UNE-EN ISO 10218-2:2011*.

En caso de contacto, los robots deben ejercer una fuerza y/o potencia limitada que garantice la seguridad de las personas. Estos límites o valores fueron establecidos en un estudio realizado por el Instituto para la Seguridad y la Salud en el Trabajo del Seguro Social Alemán de Accidentes (IFA), en cooperación con la Universidad de Maguncia. En el estudio se analizan diferentes partes del cuerpo y la cabeza, teniendo también en cuenta si el contacto es cuasi estático o transitorio.

Para aplicar este modo de operación es necesario evaluar el alcance y la posición de los robots, estimar las fuerzas de contacto y validar con mediciones que los límites de fuerza y/o potencia de la aplicación no produzca dolor o lesión.

- Parada segura motorizada

En este modo de funcionamiento, cuando una persona entra en la zona de trabajo colaborativo, el cobot se detiene y permanece inmóvil. Según el campo de detección (interno, del área de carga o de entrada y salida), el robot podrá reiniciar sus tareas de forma manual o automática, cuando la persona abandone la zona de trabajo.

Para aplicar una parada segura monitorizada, debe calcularse la correspondiente distancia de seguridad, teniendo en cuenta el tiempo de parada del robot, la velocidad de aproximación del operario y las necesidades de la aplicación.

- Guiado Manual

En el modo de guiado manual, el cobot también se paraliza cuando alguien entra en la zona de trabajo colaborativo y puede reiniciarse automáticamente cuando la persona abandona esta zona. Lo que diferencia a este modo de operación es que, mientras está paralizado, el cobot puede moverse si es guiado por una persona (mediante contacto directo).

El guiado manual exige una velocidad reducida de trabajo y el uso de un mando de validación (sensitivo) que la persona deberá mantener pulsado en todo momento.

- Control de velocidad y separación

Con este modo de operación, en cualquier momento una persona puede acercarse a un cobot de forma segura, ya que la distancia entre la persona y el cobot está controlada (si es necesario, el cobot puede modificar su trayectoria para evitar el contacto directo). Además, la velocidad se adapta a la distancia de separación, llegando a paralizarse si la persona se acerca demasiado.

Son varios los fabricantes que ya han creado su propia marca de robots colaborativos debido a su importante papel hacia una Industrial 4.0:

- Omron
- Kuka
- ABB
- Universal Robots

1.3.2. Universal Robots

Fue fundada en 2005, su único objetivo era que los robots fueran accesible para la pequeña y mediana empresa. En 2008 vendió su primer robot, este significó un cambio en la automatización con robots, y puso sobre la mesa la robótica colaborativa.

Consagrados en la fabricación de robots colaborativos, poseen tres cobots UR3 que se integran de manera muy sencilla en cualquier entorno de producción. Todos ellos, gozan de 6 ejes articulados y de un brazo robótico que emula los movimientos de un brazo humano.

UR ofrece una serie de ventajas frente al resto de fabricantes como su facilidad de programación, su facilidad de montajes y el entorno UR, donde el cliente dispondrá de análisis remoto del cobot, análisis in situ, plan de disponibilidad, formación e inventario de las piezas de repuesto.

Dentro de UR la gama e-Series. La gama e-Series ha sido diseñada pensando en el futuro, en la conocida como industria 5.0 que pone a las personas en el centro de los procesos de producción, y en la que los cobots interactúan con los humanos.

[11]Ventajas de la gama e-Series:

1. Colaborativos y seguros

Los robots colaborativos de la gama e-Series están preparados para realizar tareas repetitivas, tediosas y peligrosas. El tiempo y la distancia de parada son ajustables, y su capacidad de detención por colisión garantiza una óptima seguridad cuando trabajan junto con los operadores.

2. Rápida instalación

No necesita instalaciones eléctricas especiales permite que se puedan conectar a cualquier toma de corriente. A ello hay que sumar que su intuitiva interfaz garantiza una sencilla configuración, programación y una perfecta integración en la línea de producción.

3. Flexibilidad

Gracias a su ligereza y pequeño tamaño los robots colaborativos pueden reubicarse fácilmente para nuevas tareas sin modificar los esquemas de producción. Además, se pueden reutilizar programas, lo que permite una gran flexibilidad de automatizar múltiples tareas manuales.

4. Facilidad de programación

La tableta de programación intuitiva de los cobots de Universal Robots es tan fácil de usar que cualquier operario puede aprender a programarlo moviendo los ejes del robot manualmente o utilizando las funciones de “arrastrar y colocar” de la pantalla táctil.

5. Rápida amortización

La última de las ventajas de la nueva gama es que cuenta con la amortización más rápida de la industria, con un retorno de la inversión incomparable a las costosas soluciones tradicionales.

1.3.3. Protocolos Nivel de Transporte

- **TCP[12]**

Es un servicio con conexión. Los datos son una secuencia o trama de bytes. Cada comunicación secciona la trama mediante segmentos. Las tramas de TCP se les llaman segmentos.

La conexión requiere tres etapas: Establecimiento de conexión, transferencia de datos y liberación de conexión.

El campo FLAGS de 6 bits es utilizado para determinar el propósito y contenido del segmento. Estos bits indican cómo interpretar otros campos en el encabezado.

TCP usa una transmisión dúplex integral (full-duplex), es decir, pueden enviarse dos flujos de datos simultáneamente en direcciones opuestas. En consecuencia, la aplicación de destino puede enviar información de control o datos de vuelta a la aplicación emisora mientras esta continua enviando datos.

TCP permite al emisor tener varios segmentos pendientes antes de que el receptor envíe un reconocimiento. Cuando el nodo emisor recibe el reconocimiento, indica a la aplicación que los últimos datos se enviaron satisfactoriamente, si el nodo emisor no recibe el reconocimiento de un segmento, en un periodo de tiempo determinado, volverá a retransmitir este segmento. Este esquema, llamado retransmisión con acuse de recibo, asegura que la entrega de flujo sea correcta.

Funciones de TCP:

- Establecer y terminar conexiones
 - Gestionar los buffers y ejercer control de flujo de forma eficiente.
 - Multiplexar el nivel de aplicación (port) e intercambiar datos con las aplicaciones
 - Controlar errores, retransmitir segmentos perdidos o erróneos y eliminar duplicados
 - Efectuar control de congestión
-
- **UDP**

Es un protocolo sencillo, en el que no hay conexión, basado en el intercambio de datagramas. Los mensajes se denominan datagramas UDP. UDP multiplexa los datos de las aplicaciones y efectúa opcionalmente una comprobación de errores, pero no realiza:

- Control de flujo
- Control de congestión
- Retransmisión de datos perdidos
- Conexión/desconexión

Se utiliza en los siguientes entornos:

- Si el intercambio de mensajes es muy escaso
- Si una aplicación es de tiempo real y no puede esperar los ACKs
- Cuando los mensajes se producen regularmente y no importa si se pierde alguno
- Cuando el medio de transmisión es altamente fiable y sin congestión (LANs).
- Cuando se envía tráfico broadcast/multicast

- **Sockets**

Un Socket es una terminal de una línea de comunicación bidireccional además de un punto final de un enlace de comunicación de dos vías entre dos programas que se ejecutan a través de la red.

Siguen el patrón de comunicación cliente – servidor. El cliente y el servidor deben ponerse de acuerdo sobre el protocolo que utilizarán.

Es una combinación de dirección IP y el número de puerto. Un socket identifica un proceso de red de manera única en internet. Una conexión TCP queda especificada por los dos sockets que se comunican.

Pueden vincularse (bind) con una dirección. Si se utiliza TCP/IP está formada por una tripleta: (familia-prot, dir-ip, port). Existen dos estilos de comunicación: Socket orientados a la conexión y Socket no orientados a la conexión.

- **Modbus**

[13]Modbus es un protocolo de comunicación abierto, utilizado para transmitir información a través de redes en serie entre dispositivos electrónicos. El dispositivo que solicita la información se llama maestro Modbus y los dispositivos que suministran la información son los esclavos Modbus.

En realidad, esto significa que un dispositivo esclavo no puede ofrecer información; debe esperar a que se le pida. El maestro escribirá datos en los registros de un dispositivo esclavo y leerá los datos de los registros de un dispositivo esclavo.

Esta red de comunicación industrial usa los protocolos RS232/RS485/RS422. Su simplicidad y el hecho de que los fabricantes pueden incorporarlo en sus productos sin cargo alguno han ayudado a que se convierta en el método más popular de conexión de dispositivos electrónicos industriales.

Existen varios tipos de versiones en el protocolo Modbus para el puerto serie y Ethernet, que se utilizan para atender las necesidades específicas de los sistemas de automatización industrial en las empresas.

[14]La consulta de un maestro consistirá en una dirección de esclavo (o la dirección de difusión), un código de función que define la acción solicitada, todos los datos necesarios, y un campo de comprobación de errores. La respuesta de un esclavo se compone de campos que confirman la acción realizada, los datos que se devolverán, y la comprobación de un error de campo.

Las más comunes son:

- Modbus RTU
- Modbus TCP
- Modbus ASCII
- Modbus Plus

- **Modbus TCP**

Es simplemente el protocolo Modbus RTU con una interfaz TCP que se ejecuta en Ethernet. Modbus TCP / IP utiliza TCP / IP y Ethernet para transportar los datos de la estructura del mensaje Modbus entre dispositivos compatibles. Es decir, Modbus TCP / IP combina una red física (Ethernet), con un estándar de red (TCP / IP), y un método estándar de representación de datos (Modbus como el protocolo de aplicación). En esencia, el mensaje Modbus TCP / IP es simplemente una comunicación Modbus encapsulado en una envoltura de Ethernet TCP / IP.

La completa / unidad de datos de aplicaciones de IP Modbus TCP se incrusta en el campo de datos de una trama TCP estándar y se envía a través de TCP al conocido puerto del sistema 502, que está reservado específicamente para aplicaciones Modbus, clientes Modbus TCP / IP y servidores de escuchar y recibir datos a través del puerto Modbus 502.

El Modbus/TCP se utiliza frecuentemente en:

- PLC (controladores industriales)
- Sistemas SCADA (visualizaciones y control básico de procesos industriales)
- Sensores y actuadores

1.3.4. Gestión. Normas ISO

[15]La norma **UNE-EN ISO 10218-1:2011** (“*Robots y dispositivos robóticos. Requisitos de seguridad para robots industriales. Parte 1: Robots.*”), que contempla el robot como una “cuasi máquina” y especifica los requisitos de seguridad para robots industriales.

La norma **UNE-EN ISO 10218-2:2011** (“*Robots y dispositivos robóticos. Requisitos de seguridad para robots industriales. Parte 2: Sistemas robot e integración*”), que contempla los sistemas de robots como máquinas completas y especifica los requisitos para dichos sistemas de robots y las integraciones (combinación de un robot con otros equipamientos o máquinas).

1.3.5. Generador de trayectorias

El generador de trayectorias, calcula la trayectoria para cada movimiento, esta debe ser físicamente realizable y más o menos suaves, según la aplicación. El generador debe coordinar los ejes para un robot con más articulaciones. Por cada periodo de muestreo, debe calcular los valores de referencia de posición y velocidad.

1. Trayectoria Trapezoide

Esta trayectoria es la más utilizada por los robots. Es muy reconocible visualmente ya que respecto a la posición su progresión es ascendente realizando la forma de una rampa, respecto la velocidad se puede observar tres fases reconocibles: la fase de aceleración, la fase constante y la fase de desaceleración. En cuanto a la aceleración esta comienza en un su aceleración máxima, y va descendiendo progresivamente, pasando por una fase de aceleración máxima, una aceleración de 0 y una aceleración máxima en sentido contrario.

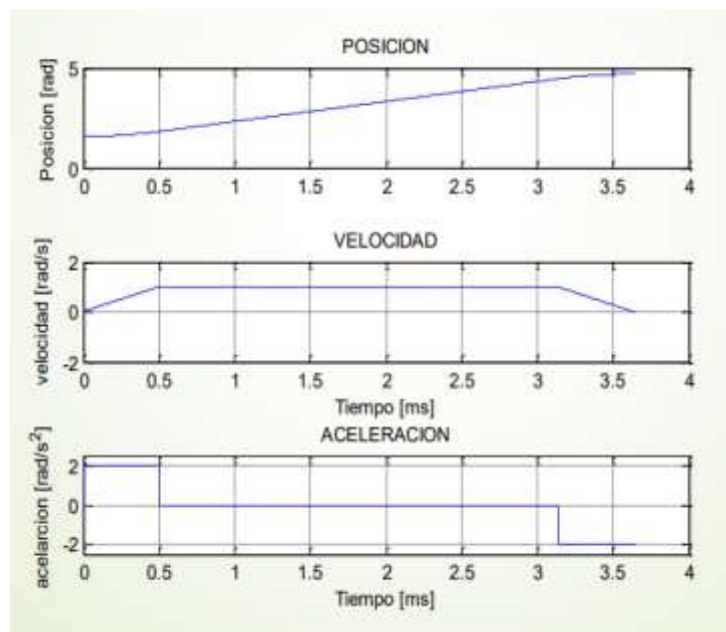


Fig4. Grafica trayectoria trapezoide

2. Perfil en S

Esta trayectoria en cuanto a posición y velocidad es igual que respecto a la trapezoidal, aunque se puede observar que los cambios entre las fases no son tan brusco como en la anterior. Respecto a la velocidad si varía, ya que se tienen 3 fases bien diferenciadas, la primera y última fase tiene una parte de aceleración y una parte de desaceleración, por lo que forman esa pirámide tan característica.

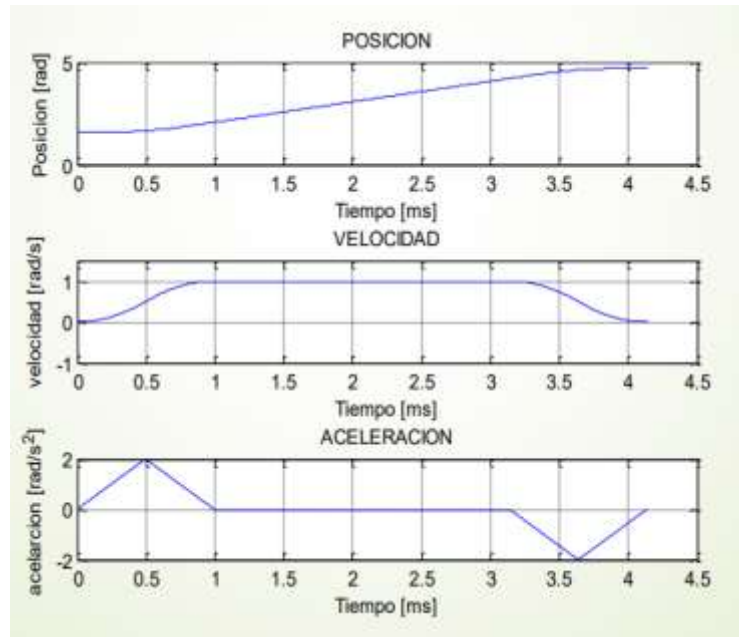


Fig5. Grafica trayectoria perfil en S

3. Perfil en S parcial

Esta trayectoria es similar al Perfil en S, la única variación es en cuanto a la aceleración, donde los cambios no son tan bruscos, ya que en las fases 1 y 3, ambas tienen su fase de aceleración, la fase constante y la fase de desaceleración, lo que hace que el robot no alcance valores máximos de manera tan rápida.

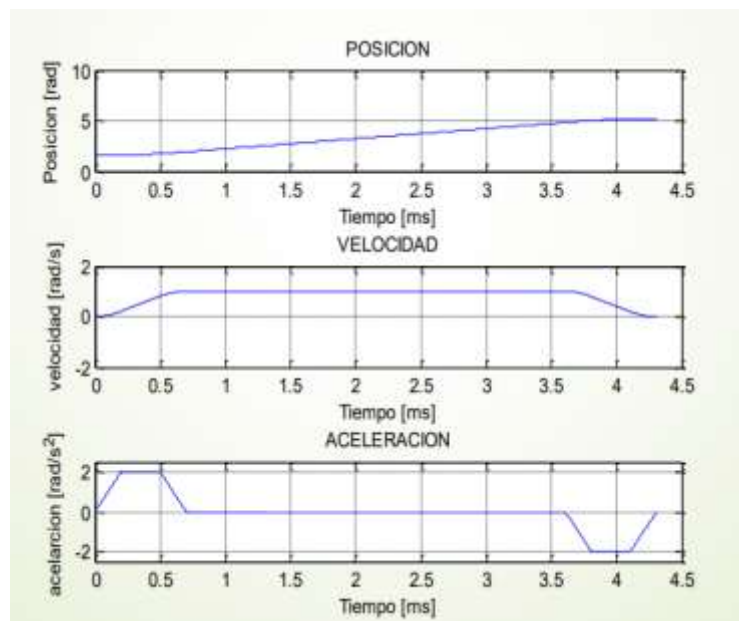


Fig6. Grafica trayectoria Perfil en S parcial

1.3.6. Tipos de trayectorias

[16]A continuación se cita brevemente una clasificación de tipos de trayectorias de robots comerciales clásicos.

- **Trayectorias continuas.** En este tipo de trayectorias se pretende que el camino seguido por el extremo del robot sea conocido. Para ello las trayectorias articulares deben acomodarse conjuntamente. Cada articulación por separado parece tener un movimiento desordenado, sin embargo el resultado es que el extremo se mueve siguiendo el camino previsto.

[17]En este tipo de trayectorias se encuentran los movimientos MoveL y Move P:

Con MoveL, se mueve el punto central de la herramienta linealmente entre puntos de referencia. Esto significa que cada articulación realiza un movimiento más complicado para mantener la herramienta en línea recta. Los parámetros compartidos que se pueden configurar para este tipo de movimientos son la velocidad de la herramienta deseada y la aceleración de la herramienta especificada en mm/s y mm/s² respectivamente.

Con MoveP, se mueve la herramienta linealmente con velocidad constante con mezclas circulares. El tamaño del radio de mezcla es por defecto un valor compartido entre los puntos de paso. Un valor más pequeño hará que la ruta se vuelva más nítida, mientras que un valor más alto hará que la ruta sea más suave.

- **Trayectorias coordinadas o isocronas.** En este tipo de trayectorias se procura que el movimiento de todos los actuadores sea coordinado e isocrona. Esto quiere decir que el actuador que tarda más tiempo en alcanzar la posición requerida ralentiza al resto, de manera que ningún movimiento acaba antes que el de otra articulación. El tiempo total invertido en el movimiento es el menor posible, y los requerimientos de velocidad y aceleración de los motores son menores que en otro tipo de movimiento. El inconveniente de este tipo de planificadores es que la trayectoria que describe el extremo del robot es desconocida a priori.

En este tipo se encuentra el movimiento de MoveJ, en él se realizan movimientos eje a eje, se calculan en el espacio articular del brazo del robot. Las articulaciones se controlan para terminar sus movimientos al mismo tiempo. Este tipo de movimiento da como resultado una trayectoria curva para la herramienta. Los parámetros compartidos que se aplican a este tipo de trayectoria son la velocidad máxima de la articulación y la aceleración de la articulación, especificadas en grados/s y grados/s² respectivamente.

- **Trayectorias punto a punto.** En este tipo de trayectorias cada articulación se mueve independientemente, sin considerar el efecto del resto de las articulaciones. Dentro de esta tipo se engloban las trayectorias con movimiento eje a eje y las de movimiento simultáneo de ejes. En las trayectorias con movimiento eje a eje en primer lugar se actúa

sobre un motor, y cuando este ha finalizado su recorrido, se activa el siguiente motor. Este tipo de movimiento tiene como única ventaja el ahorro energético.

1.3.7. Planificación

A continuación, se muestra de manera global el orden de las tareas realizadas y el tiempo que requieren cada una. Posteriormente se representa un diagrama de Gantt correspondiente a la planificación.

- Planteamiento inicial del proyecto: Que se va a realizar, como, cuando.
- Estado del arte: se realiza una búsqueda de información para analizar que se ha hecho hasta ahora respecto a movimientos coordinados entre dos robots.
- Estudio y planteamiento de alternativas: incluye la comparación y análisis de tres alternativas en cuanto a lenguaje y robot a utilizar.
- Alternativa adoptada.
- Estudio sobre la conectividad con el sensor externo de fuerza y par.
- Experimento 1: movimiento individual de los dos robots.
- Experimento 2: movimiento coordinado.
- Experimento 3: movimiento coordinado con objeto.
- Experimento 4: Prueba con otras funciones.
- Experimento 5: Movimiento utilizando conexión por Modbus.
- Experimento 6: Control por bucle interior-exterior.
- Generador de trayectorias
- Redacción del proyecto.
- Revisión final.

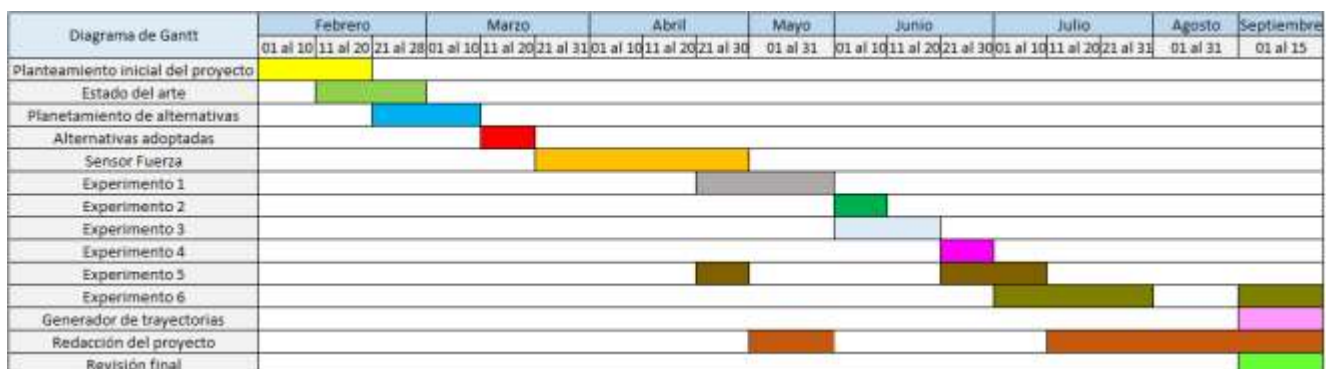


Tabla3. Diagrama de Gantt

1.4. Planteamiento de soluciones alternativas y justificación de la solución adoptada

Para la realización de un control de dos brazos robots de forma simultánea se plantean varias alternativas, la primera en cuanto al lenguaje de programación para la realización de los diferentes scripts, como también de los robots que se pueden llegar a utilizar.

- **Lenguajes de programación**

[18]Es el conjunto de instrucciones a través del cual los humanos interactúan con las computadoras. Un lenguaje de programación permite comunicar a las personas con las computadoras a través de algoritmos e instrucciones escritas en una sintaxis que la computadora entiende e interpreta en lenguaje de máquina.

- **Python**

Es un lenguaje de programación de código abierto, una sintaxis sencilla y fácil de entender, por lo que ahorra tiempo y recursos. Python es un lenguaje versátil que puede tener múltiples aplicaciones.

[19]Encuentra usos en la creación de aplicaciones web, el análisis de datos y el desarrollo de algoritmos. Tiene una sintaxis fácil de usar y se centra en la legibilidad y la simplicidad del código convirtiéndolo en un candidato ideal para los desarrolladores de nivel de entrada, especialmente para aquellos que persiguen una carrera en inteligencia artificial, big data, robótica o ciberseguridad.

- **C++**

[20]C++ es un lenguaje de programación compilado, multiparadigma, principalmente de tipo imperativo y orientado a objetos, incluyendo también programación genérica y funcional.

Es un lenguaje ampliamente utilizado en bases de datos, compiladores, navegadores web y videojuegos.

[21]Las principales ventajas de utilizar este lenguaje es el alto rendimiento, el lenguaje actualizado, es multiplataforma y está bastante extendido. Como desventaja es que se trata de un lenguaje muy amplio, tiene que tener una compilación por plataforma y su depuración se complica debido a los errores

- **JAVA**

[22]Java es un lenguaje multiplataforma, orientado a objetos y centrado en la red que se puede utilizar como una plataforma en sí mismo. Es un lenguaje de programación rápido, seguro y fiable para codificar todo, desde aplicaciones móviles y software empresarial hasta aplicaciones de macrodatos y tecnologías del lado del servidor.

Las principales ventajas que presenta son su simplicidad, está orientado a objetos, es distribuido e independiente de la plataforma y que es seguro y multihilo.

- **Robots UR**

- **UR3/UR3-e**

El UR3e de Universal Robots es un robot industrial colaborativo ultraligero y compacto, ideal para la aplicación sobre mesas de trabajo. Su tamaño reducido lo convierte en el más adecuado para implementarse directamente dentro de maquinaria o en otros espacios de trabajo pequeños. Entre sus principales características destaca que puede rotar en todos sus ejes 360 grados y es muy interesante en procesos de atornillado y montajes de componentes.

Alcance	500 mm
Carga útil	3 Kg
Espacio requerido	128 mm
Peso	11.2 kg
Repetibilidad	+/- 0.03
Velocidad máxima	1000 mm/s

Tabla4. Especificaciones robot UR3/UR3e

- **UR5**

El UR5e de Universal Robots es un robot colaborativo industrial ligero construido para aplicaciones de servicio medio (hasta 5 kg). Los propósitos generales del desarrollo de este robot son la versatilidad y la adaptabilidad. El UR5e está diseñado para integrarse perfectamente en una amplia gama de aplicaciones. El flexible robot UR5e es perfecto para la optimización de procesos colaborativos de poco peso, como pick & place y pruebas de producto.

Alcance	850 mm
Carga útil	5 Kg
Espacio requerido	149 mm
Peso	20.6 kg
Repetibilidad	+/- 0.03
Velocidad máxima	1000 mm/s

Tabla5. Especificaciones robot UR5

- **UR10**

El UR10e es un robot industrial colaborativo extraordinariamente versátil que ofrece una gran carga útil (12,5 kg) de elevación y un largo alcance (1300 mm), por lo que es ideal para una amplia gama de aplicaciones, como el mantenimiento de máquinas, el paletizado y el embalaje.

Alcance	1300 mm
Carga útil	12.5 Kg
Espacio requerido	190 mm
Peso	33.5 kg
Repetibilidad	+/- 0.05
Velocidad máxima	1000 mm/s

Tabla6. Especificaciones robot UR10

▪ UR16

El UR16e de Universal Robots ofrece una impresionante capacidad de carga útil de 16 kg en un espacio reducido. Por ello, es ideal para el uso en máquinas pesadas, manipulación de materiales, packaging, embalaje y aplicaciones de atornillado y tuercas. Este potente robot admite herramientas de final de brazo pesadas y múltiples manejos, y es especialmente útil para lograr tiempos de ciclo más cortos.

Alcance	900 mm
Carga útil	16 Kg
Espacio requerido	190 mm
Peso	33.1 kg
Repetibilidad	+/- 0.05
Velocidad máxima	1000 mm/s

Tabla7. Especificaciones robot UR16

▪ UR20

EL UR20 se ha replanteado, rediseñado y reconstruido desde cero. Cada detalle, desde el software hasta todo el hardware, ha sido diseñado estratégicamente para ofrecer un rendimiento y una calidad de última generación para que pueda aumentar la producción y el tiempo de actividad y sacar más productos al mercado más rápidamente que nunca.

El UR20 está diseñado para mayores cargas útiles, velocidades más elevadas y un control de movimientos superior, y todo dentro de un sistema ligero y de tamaño reducido, para una versatilidad óptima en su espacio de producción existente.

Alcance	1750 mm
Carga útil	20 Kg
Espacio requerido	245 mm
Peso	64 kg
Repetibilidad	+/- 0.05
Velocidad máxima	1000 mm/s

Tabla8. Especificaciones robot UR20

1.5. Descripción detallada de la solución adoptada

- **Lenguajes de programación**

Entre los lenguajes de programación expuestos en el anterior punto, se ha escogido Python como la mejor opción para la realización de los diferentes scripts para realizar la conexión entre PC y robot.

Este lenguaje de programación es fácil de leer, y también ayuda a desarrollar un estilo de programación limpio sin necesidad de ser muy estricto con la sintaxis. Se puede utilizar para Robótica en los campos como Machine Learning, donde los algoritmos aprenden de los datos sin que nadie codifique explícitamente ninguna regla, y Big Data ya que Python es conocido por su capacidad para manejar grandes conjuntos de datos.

A demás se ha elegido este lenguaje ya que se ha afrontado como una oportunidad para aprender un nuevo lenguaje de programación hasta ahora visto, y poder realizar un código propio para el proyecto.

- **Robot UR**

En cuanto al robot UR utilizado para realizar un movimiento coordinado va a depender de la zona de trabajo que se tenga disponible y para el caso de pick and place dependerá del peso de la pieza que se quiera utilizar.

En este caso la zona de trabajo está limitada a una mesa de trabajo de laboratorio y se quiere mover mediante pick and place una caja de cartón, por lo que con el robot más pequeño y con la menor carga útil serviría. Por lo que el robot finalmente escogido es el **robot UR3/UR3e**.

Puede montarse encima de una mesa creando y optimizando estaciones de trabajo independientes. Su acabado compacto y su fácil sistema de programación, característico de los robots Universal Robots, permite que sea muy sencillo de configurar para realizar diferentes tareas en un entorno de fabricación dinámico, donde se necesiten soluciones flexibles y cambiantes, minimizando los costes de puesta en marcha y ofreciendo el retorno de inversión más rápido de la industria.

El brazo robótico está provisto con 6 ejes y es por esto capaz de colocarse en casi cualquier posición.

Además cada UR-3 incorpora una pantalla táctil de 12" que es el panel de control para la configuración y le permite opcionalmente instalar paquetes de software adicionales. El ambiente gráfico polyscope le permite integrar sensores o pinzas adicionales en poco tiempo.



Fig7. Robot UR3e de perfil

1.6. Justificación detallada de los elementos o componentes de la solución adoptada.

1.6.1. Sensor On robot



Fig8. Sensor On robot

[23]El robot UR3 lleva un sensor de fuerza/par **HEX 6-Axis Force/TorqueNs** conectado externamente. Este proporciona mediciones precisas de fuerza a lo largo de los 6 ejes. Esto te proporciona un control preciso cuando se trata de tareas difíciles de montaje, pulido, lijado o desbardado. El software HEX incluye registro de trayectoria, control de fuerza y características especiales para tareas de inserción. El sensor asegura que se mantenga una fuerza y velocidad constantes.



Fig9. Sensor On robot instalado en el robot UR3

Fuerzas/Par nominal	Fxy: 200 N Fz:200N Txy:10 Nm Tz:6.5 Nm
Peso	0.347 kg
Dimensiones	50 x 71 x 93 mm
Voltaje	7 – 24 V

Tabla9. Especificaciones sensor On robot

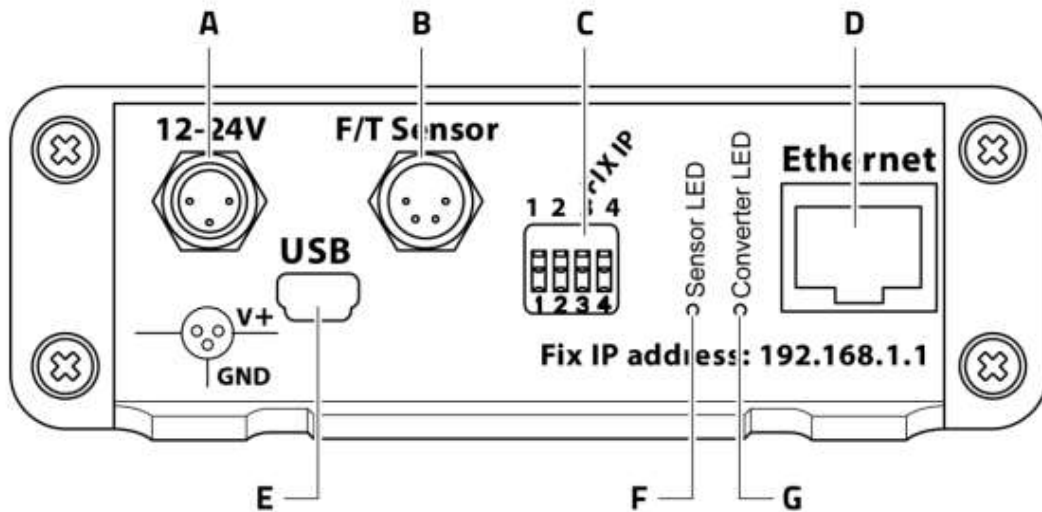
1.6.2. Compute Box

El compute box está diseñado para trabajar con el sensor de OnRobot de 6 ejes que mide las fuerzas y los pares. Es usado para leer y configurar el sensor mediante una interfaz Ethernet. La compute box proporciona los datos recibidos del sensor a cualquier dispositivo a través de la interfaz de Ethernet. Se proporciona un cable para conectar la compute Box a una PC u ordenador portátil.



Fig10. Compute Box

En la siguiente imagen se puede observar el compute box y las diferentes conexiones para conectarlo al sensor de OnRobot.



[24]Fig11. Conexiones Compute Box

- A. Conector de alimentación
- B. Conector del sensor Fuerza / Par
- C. DIP Conmutador
- D. Cable Ethernet
- E. Conector USB
- F. Indicador del estado del sensor
- G. Indicador del estado del convertidor

1.6.3. Polyscope

PolyScope o la interfaz de usuario de robot es la pantalla táctil en su panel consola portátil. Es la interfaz gráfica de usuario (IGU) que maneja el brazo robótico y la caja de control, ejecuta y crea programas del robot. PolyScope se compone de tres zonas:

- A: Encabezado** con pestañas/iconos que ponen a su disposición pantallas interactivas.
- B: Pie de página** con botones que controlan su o sus programas cargados.
- C: Pantalla** con campos que gestionan y supervisan las acciones del robot.

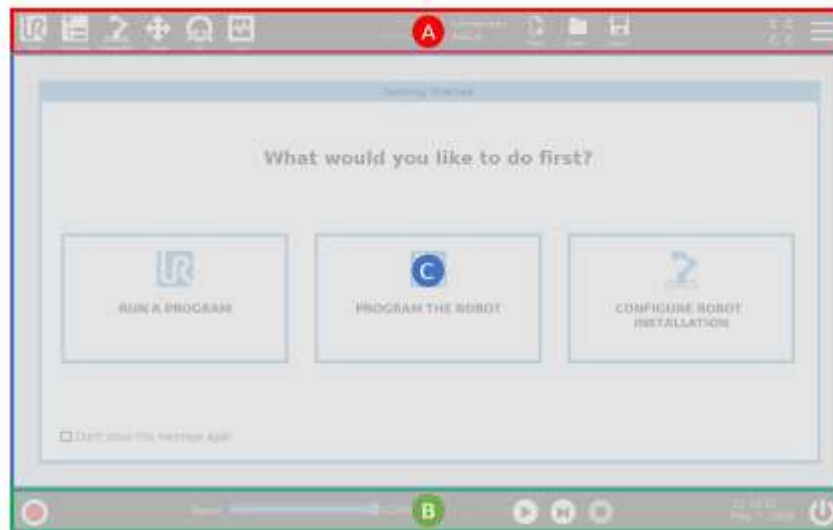


Fig12. Pantalla principal Polyscope

La interfaz de usuario puede variar según la versión instalada en el robot. En el laboratorio se ha tenido un UR3 con la versión 3.14 hasta tener un UR3e con la versión 5.12.

Para encender el robot se debe pulsar el botón de encendido localizado en la parte exterior de la pantalla, junto a la seta de emergencia.

Una vez pulsado el botón aparecerá la pantalla inicial que indicara la versión actual del robot, en este caso la 3.14.

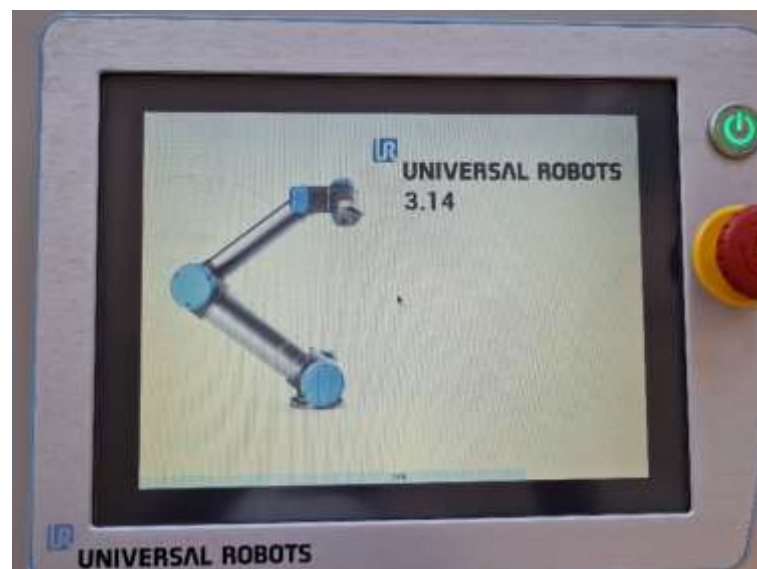


Fig13. Pantalla inicio UR3

Una vez pasada la pantalla de inicio se abrirá una nueva pantalla donde saldrá una ventana emergente indicando si se quiere inicializar el robot. Lo más conveniente es indicar en la ventana el botón de **Ahora no**, para primero realizar la programación del robot y posteriormente inicializarlo, ya que pueden producirse paradas de emergencia por protección del robot al cargar el programa y su correspondiente nueva puesta en marcha.

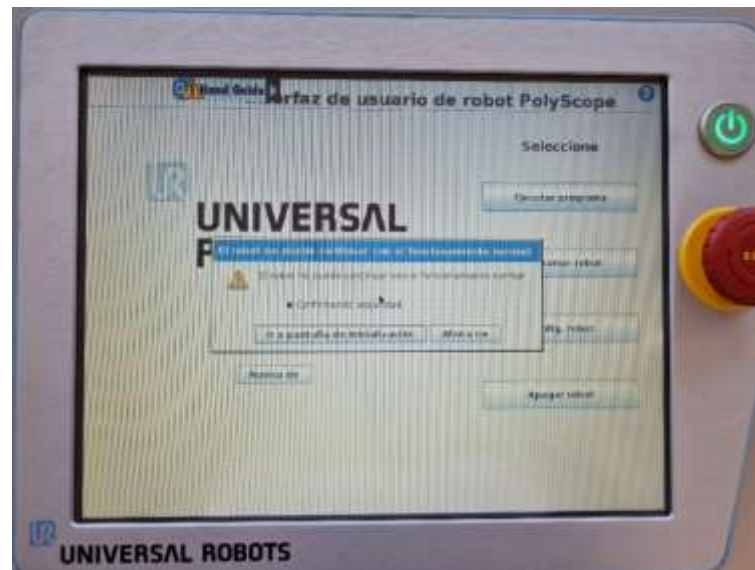


Fig14. Pestaña inicialización del robot

La inicialización del robot si varía más según la versión que se tenga. Por lo que se va a exponer tanto la versión 3.14 como la 5.3.

En la versión 3.14 se pulsa el botón de **Encender**, posteriormente aparecerá un nuevo botón de **Iniciar** sustituyendo el botón de Encender. Una vez pulsado este botón, indicara encima del botón el estado del robot, si está correctamente indicara con un luz verde y al lado aparecerá el estado de Normal, posteriormente para volver a la pantalla de programación se deberá pulsar el botón **OK** situado en la parte posterior derecha.

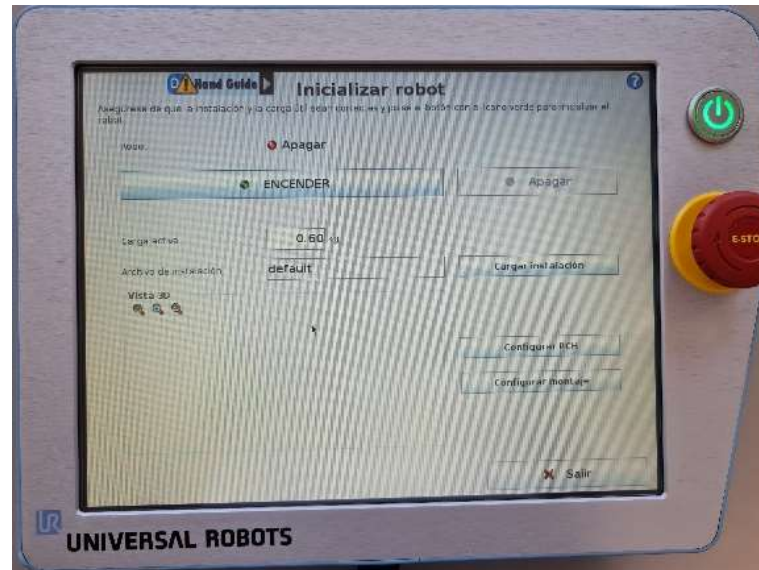


Fig15. Primera pestaña de inicialización

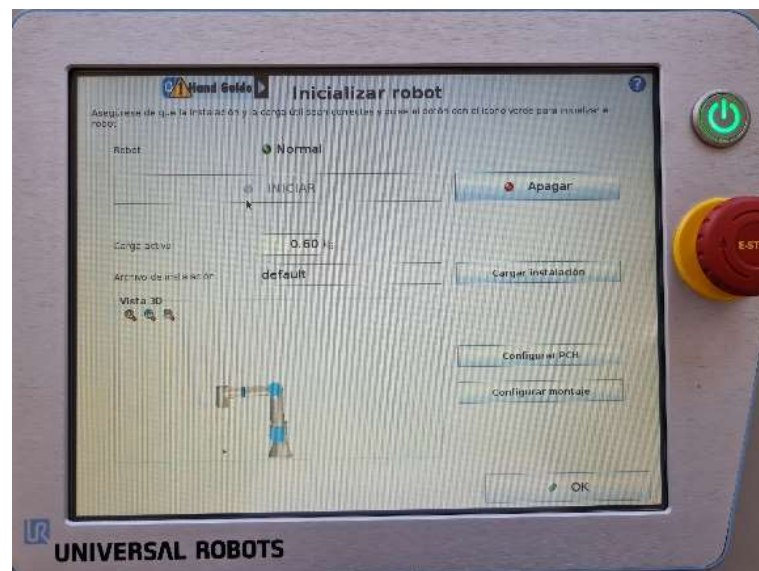


Fig16. Segunda pestaña de inicialización

En cambio en la versión 5.12 del UR3e varía, observando 3 tipos de leds que indican el estado del robot.

Rojo indica que el brazo robótico se encuentra en estado de parada, por diferentes razones posibles.

Amarillo indica que el brazo robótico está encendido, pero no está listo para funcionar con normalidad.

Verde indica que el brazo robótico está encendido y listo para funcionar con normalidad.

Cuando se arranca el PC del controlador, pulse el botón ENCENDIDO una vez para encender el brazo robótico. El estado del robot pasa a amarillo para indicar que el suministro eléctrico está activado y en **Inactivo**.

Cuando el estado del robot es **Inactivo**, pulse el botón INICIAR para iniciar el brazo robótico. En este momento, los datos del sensor se comparan con el montaje configurado del brazo robótico. Si no coinciden (con una tolerancia de 30°), se deshabilita el botón y aparece un mensaje de error bajo él. Si se comprueba el montaje, pulsar el botón libera todos los frenos de junta (la liberación de frenos se acompaña por clics y un ligero movimiento) y el brazo robótico está listo para un funcionamiento normal. Si el brazo robótico supera uno de los límites de seguridad después de ponerse en marcha, funcionará en un modo de Recuperación. En este modo, al tocar el botón se abrirá una ventana de modo de recuperación en la que podrá devolver el brazo robótico dentro de los límites de seguridad.

La pantalla principal de programación estara compuesta:

- **Programa**, crea o modifica los programas de robot.
- **Instalación**, configura los ajustes del brazo robótico y el equipo externo,
- **Mover**, controla o regula el movimiento del robot.
- **E/S**, supervisa y ajusta las señales de Entrada/Salida hacia y desde la caja de control del robot.
- **Registro**, indica la salud del robot así como cualquier mensaje de advertencia error.

1.6.4. Parámetros Denavit-Hatemberg

UR3e							
Cinemática	theta [rad]	soy]	re [m]	alfa [rad]	Dinámica	Masa [kg]	Centro de masa [m]
Articulación 1	0	0	0.15185	$\pi/2$	Enlace 1	1.98	[0, -0.02, 0]
Articulación 2	0	-0.24355	0	0	Enlace 2	3.4445	[0,13, 0, 0,1157]
Articulación 3	0	-0.2132	0	0	Enlace 3	1.437	[0,05, 0, 0,0238]
Articulación 4	0	0	0.13105	$\pi/2$	Enlace 4	0.871	[0, 0, 0,01]
Conjunto 5	0	0	0.08535	$-\pi/2$	Enlace 5	0.805	[0, 0, 0,01]
Articulación 6	0	0	0.0921	0	Enlace 6	0.261	[0, 0, -0,02]

Tabla10. Parametros Denavit-Hatemberg robot UR3

1.6.5. Limitaciones de velocidad y posición

Juntas	Máximo	Modo normal	Modo reducido
Base	máx.: 191 °/s	191	191 -11 °/s
Hombro	máx.: 191 °/s	191	191 -11 °/s
Codo	máx.: 191 °/s	191	191 -11 °/s
Muñeca 1	máx.: 191 °/s	191	191 -11 °/s
Muñeca 2	máx.: 191 °/s	191	191 -11 °/s
Muñeca 3	máx.: 191 °/s	191	191 -11 °/s

Fig17. Límites de velocidad de cada articulación del robot UR3

Position range						
Joints	Range	Normal Mode		Reduced Mode		
		Minimum	Maximum	Minimum	Maximum	
Base	-363 – 363 °	-363	363	-363	363	-2 ° / 2 °
Shoulder	-363 – 363 °	-363	363	-363	363	-2 ° / 2 °
Elbow	-363 – 363 °	-363	363	-363	363	-2 ° / 2 °
Wrist 1	-363 – 363 °	-363	363	-363	363	-2 ° / 2 °
Wrist 2	-363 – 363 °	-363	363	-363	363	-2 ° / 2 °
Wrist 3	Unlimited	-Unlimited	+Unlimited	-Unlimited	+Unlimited	-2 ° / 2 °

Unlimited range for Wrist 3

Fig18. Límites de posición de cada articulación del robot UR3

1.6.6. Limitaciones de movimiento

El robot puede no alcanzar la posición final indicada, esto puede deberse a diferentes motivos:

- **Singularidad**

Si un movimiento objetivo requiere menos de los GDL del robot, se origina redundancia cinemática robot-tarea. Los GDL que exceden a los necesarios para la realización de la tarea, es decir una tarea puede realizarse de diversas maneras, aparece el concepto de singularidad.

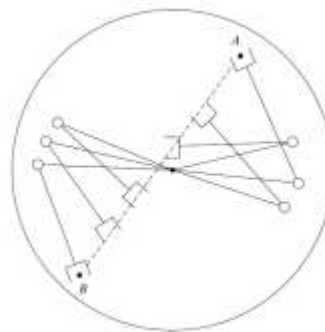


Fig19. Ejemplo de Singularidad

- **Articulación sale de rango**

También si la posición de la tarea a realizar no puede ser alcanzada por el robot, ya que este se encuentra fuera de rango de movimiento, este llegará hasta su ángulo máximo en la articulación y aparecerá un error de posición.

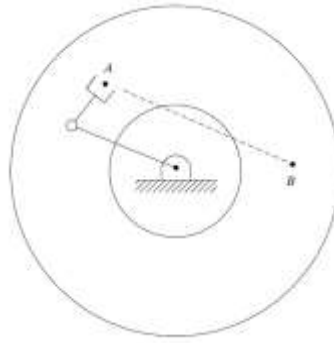


Fig20. Ejemplo de una articulación fuera de rango

- **Punto inicial y final alcanzables con diferentes configuraciones**

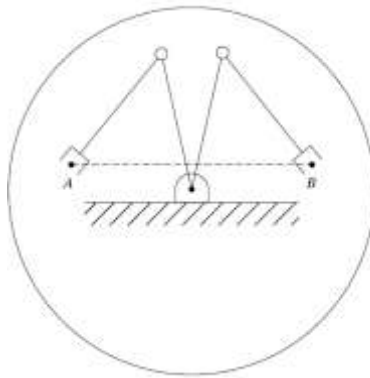


Fig21. Ejemplo de puntos alcanzables con diferente configuración

1.7. Experimentos

- **Entorno del laboratorio**

En la imagen se puede observar el robot UR3 a la parte izquierda con el sensor de Fuerza y Par, este robot está sobre una base fija. A la derecha se puede observar el robot UR3e, este lleva incorporados los sensores de fuerza internamente y su base es portátil.

El UR3 tiene un tiempo de muestreo de 8ms mientras que el UR3e, el robot de la derecha, tiene un tiempo de muestreo de 2 ms.



Fig22. Espació de trabajo con UR3 y UR3e

En los últimos experimentos se han utilizado dos robots UR3e, ambos con un tiempo de respuesta de 2ms.



Fig23. Espació de trabajo con dos UR3e

- **Cambio del sistema de coordenadas**

Durante este trabajo se va a realizar experimentos basados en la sincronización maestro esclavo, donde el robot de la izquierda, será el robot Maestro y el robot de la derecha el Esclavo. El esclavo deberá conocer en qué posición está el maestro para así hacer movimientos sincronizados entre los dos.

En cada robot, su sistema de coordenadas está indicado respecto de la base del mismo, por lo que se debe tener o un punto común que sea el sistema de coordenadas de ambos o bien realizar una transformación de uno de los sistemas de coordenadas de un robot.

- **Nuevo sistema de coordenadas**

Primero, se define un sistema de coordenadas nuevo. En el menú de polyscope, en la pestaña de instalación y en el apartado Funciones se define el sistema de coordenadas o bien mediante un Punto o mediante un Plano.

Mediante un punto

Seleccionando el botón de Punto, y se observa cómo se crea en el apartado Funciones un nuevo punto llamado por defecto Punto_1, se selecciona en la pantalla polyscope. Al pulsar, se cambiara a la pantalla del Punto_1 donde se podrá cambiar el nombre de dicho punto con el botón de Renombrar, eliminarlo mediante el botón de Eliminar o fijar la posición del punto mediante el botón de Enseñar este punto.

Al fijar la posición del punto, se pulsa el botón de Enseñar este punto y cambiara a la pestaña de Mover, donde se podrá fijar la posición de este nuevo punto de coordenadas moviendo el robot hasta la posición deseada del sistema. Para mover el robot hasta el punto de coordenadas deseado se utilizan los botones de posición y orientación de PCH donde se puede editar la X, Y, Z, RX, RY y RZ. Una vez el robot este posicionado donde se desea colocar el nuevo sistema de coordenadas, se debe pulsar al botón de OK.

Mediante un plano

Seleccionando el botón de Plano y se abrirá la pestaña de Plane, donde se indican los pasos a seguir para crear el nuevo Plano. Se pulsa el botón de siguiente donde primero se define el origen del plano pulsando el botón de establecer posición, una vez fijada se pulsa OK. En la siguiente imagen se puede observar los pasos que hay que seguir para realizar correctamente el plano.

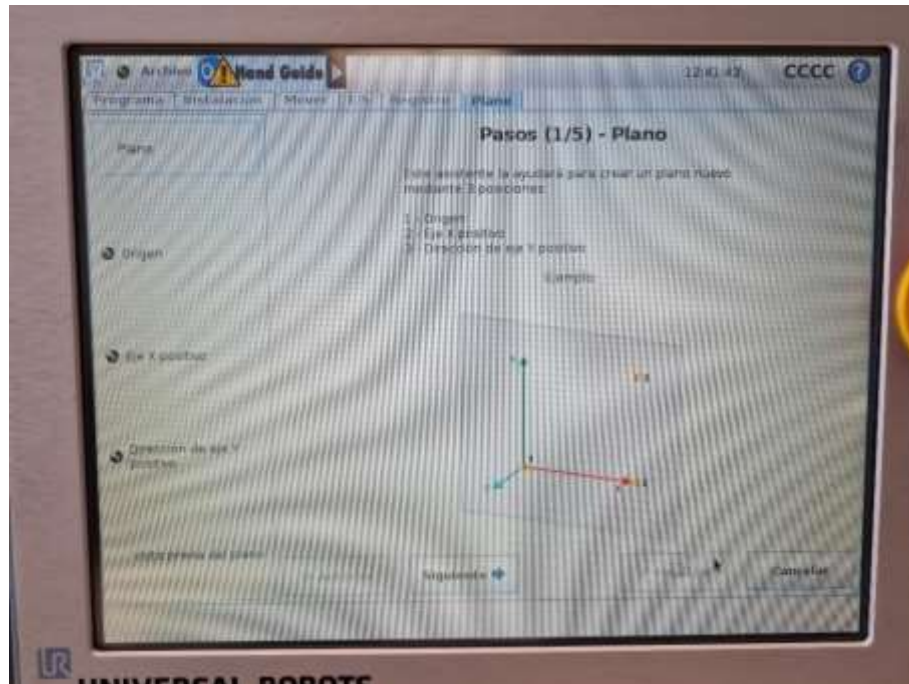


Fig24. Configuración de un plano de referencia

El segundo paso es fijar el Eje X. Se establece el eje positivo, pulsando en establecer la posición y colocar el robot en una nueva posición. Esta nueva posición y la del origen definirán la trayectoria del eje X.

El tercer paso es definir el eje Y positivo, para ello se pulsa de nuevo en establecer posición y mover así el robot hacia una nueva posición. Esta nueva posición, con la posición del origen define el eje Y positivo. Para finalizar la configuración se pulsa sobre el botón siguiente y mostrara un esquema de la posición actual del robot y la posición del plano, a continuación se pulsa el botón de Finalizar y ya se tendría el plano definido como Plano_1. Para poder cambiar el nombre al plano, en el apartado de Funciones, a Plano_1 y pulsando sobre Renombrar se puede cambiar el nombre al plano. Se define el plano como Plano_ref.

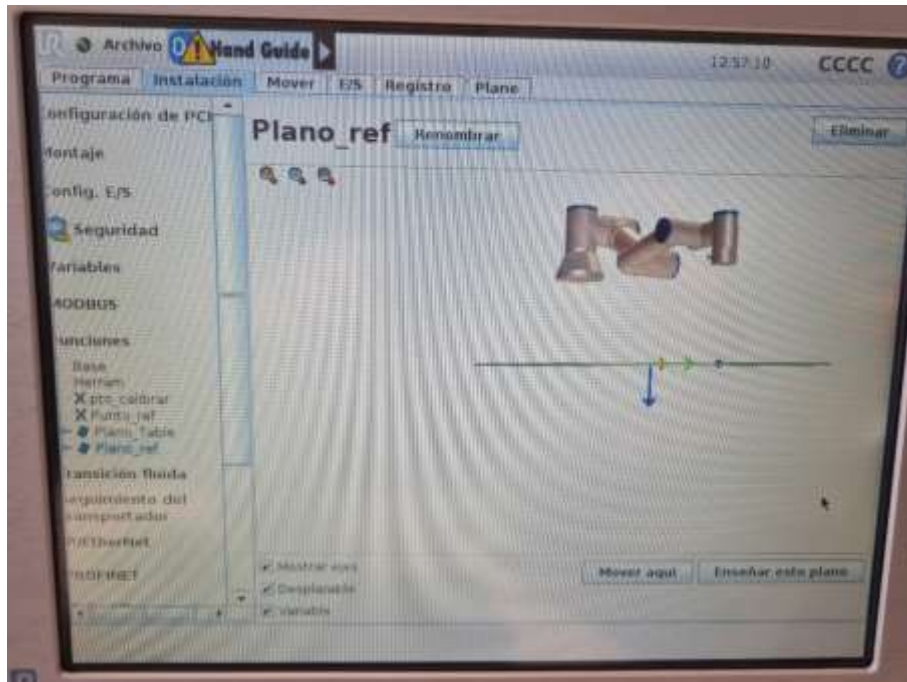


Fig25. Pantalla con un plano definido

Una vez definido el sistema de referencia nuevo mediante un Punto o mediante un Plano, se puede mover el robot hasta un punto según el nuevo punto de referencia.

Para saber las coordenadas del nuevo sistema de referencia respecto la Base, primero se mueve el robot hasta donde está el sistema de referencias, para ello se selecciona la pestaña de Instalación->Funciones y posteriormente se elige el punto o plano de referencia y se selecciona el botón de Mover aquí, así el robot se posicionara en el centro del sistema de referencia. A continuación se abre la pestaña de Mover y se selecciona en el apartado Función la opción de Base, así se puede obtener la posición del nuevo sistema de referencia en función del sistema de referencia de la base del robot.

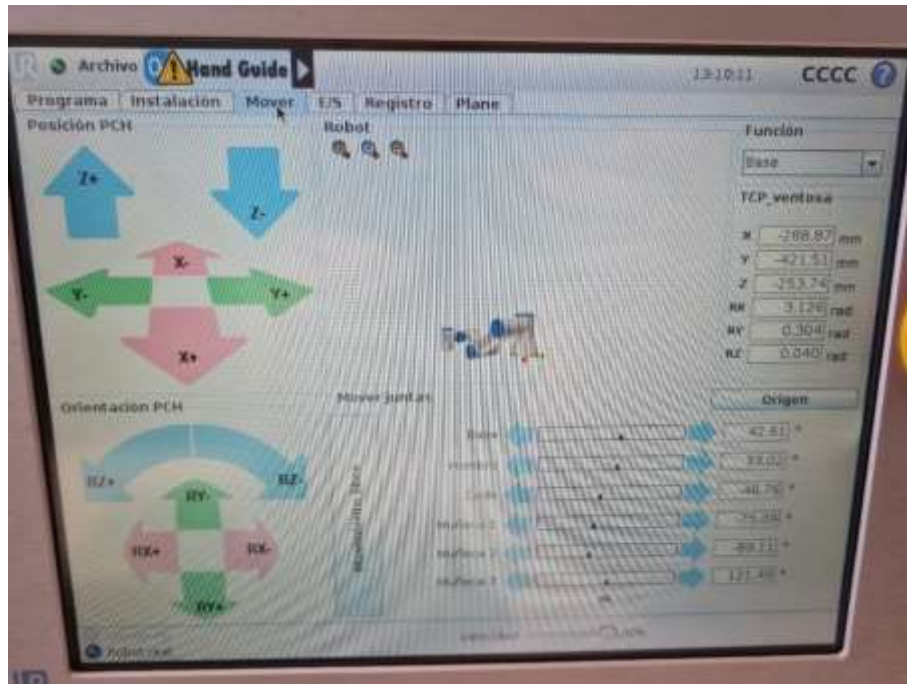


Fig26. Pantalla de Mover

▪ **Transformación sistema de coordenadas**

Para realizar un cambio de sistema de coordenadas se debe conocer las matrices de transformación, rotación, perspectiva y escalado.

En este trabajo no es necesario realizar ningún cambio de perspectiva, por lo que serán ceros y no es necesario un escalado, por lo que será factor 1.

$$\mathbf{T} = \begin{bmatrix} \mathbf{R}_{3 \times 3} & \mathbf{p}_{3 \times 1} \\ \mathbf{f}_{1 \times 3} & \mathbf{w}_{1 \times 1} \end{bmatrix} = \begin{bmatrix} \text{Rotación} & \text{Traslación} \\ \text{Perspectiva} & \text{Escalado} \end{bmatrix}$$

Fig27. Ecuación transformada

La matriz de Rotación pueden ser respecto el eje x, respecto el eje y o respecto el eje z. Estas matrices se representan de la siguiente manera:

$$\begin{aligned}
 R_z(\theta) &= \begin{bmatrix} \cos(\theta) & -\sin(\theta) & 0 \\ \sin(\theta) & \cos(\theta) & 0 \\ 0 & 0 & 1 \end{bmatrix} \\
 R_x(\theta) &= \begin{bmatrix} 1 & 0 & 0 \\ 0 & \cos(\theta) & -\sin(\theta) \\ 0 & \sin(\theta) & \cos(\theta) \end{bmatrix} \\
 R_y(\theta) &= \begin{bmatrix} \cos(\theta) & 0 & \sin(\theta) \\ 0 & 1 & 0 \\ -\sin(\theta) & 0 & \cos(\theta) \end{bmatrix}
 \end{aligned}$$

[25]Fig28. Matriz de Rotación en x,y,z

A demás de conocer los tipos de transformaciones que existen, se debe conocer el tipo de sistema de coordenadas que se tiene, este puede ser o dextrógiro, o bien levógiro.

Para el espacio de trabajo del UR3 y URe se ha realizado el mismo cambio de coordenadas al realizando con los dos UR3e, ya que presentan los mismos sistemas de coordenadas respecto de la base del robot.

Se realiza una transformación mediante la matriz de rotación y transformación. Se debe conocer la distancia entre los dos sistemas de coordenadas, en X, Y y Z y además, como están colocadas las direcciones de los ejes de ambos sistema de coordenadas, para saber que giros de rotación hay que realizar.

Observando las coordenadas de ambos robots, el giro que se tendría que realizar para cambiar del sistema de coordenadas del maestro al esclavo sería realizando un giro de -90 grados, y del esclavo al maestro de 90 grados, siguiendo la regla de la mano derecha, considerando que el eje Z es positivo hacia arriba.

Pero para realizar un cambio de coordenadas basándonos en un punto conocido, varía. En el caso del cambio del maestro al esclavo conociendo el punto común en coordenadas del maestro, para hallar respecto el del esclavo se tendría que realizar:

$$P_1^S = \text{rot}(z, -90)^{-1} \cdot P_1^0 = \text{rot}(z, 90) \cdot P_1^0$$

Para el caso del esclavo al maestro sería similar, pero en sentido contrario, por lo que finalmente su giro tendría que ser el de -90 grados.

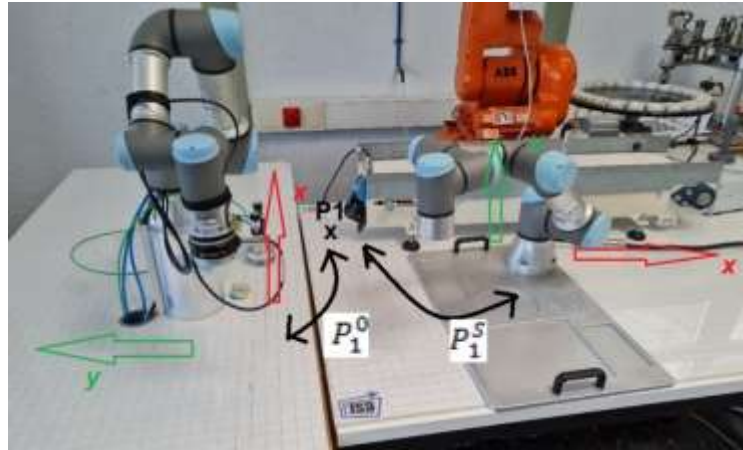


Fig29. Espacio de trabajo con representación de ejes

Con los dos UR3e, es similar al caso anterior, ya que se tiene el mismo sistema de coordenadas:



Fig30. Espacio de trabajo de los dos robots UR3e con indicación de ejes

Las bases de ambos robots están separadas unos 94 mm en X y 800 mm en Y, respecto al sistema de coordenadas de maestro. También hay una diferencia en Z ya que el maestro está colocado sobre una base de 200 mm de altura.

El sistema de coordenadas de ambos robots respecto de la base se puede observar en el apartado Move de la pantalla del robot.



Fig31. Pantalla Move UR3e

1.7.1. Lectura de datos del Sensor

Uno de los experimentos realizados en el laboratorio fue la conexión entre el sensor de fuerza externo del UR3 y el PC para poder leer los datos del sensor sin necesidad de utilizar el Polyscope del robot.

La interfaz de Ethernet admite tres modos de funcionamiento:

1. La web del cliente: fácil lectura de datos del sensor en tiempo real
2. TCP: lectura de datos del sensor de alta velocidad (hasta 500 Hz)
3. UDP: lectura de datos de sensor individual o iterada

Mediante la web se puede leer los datos del sensor, para acceder a ella se debe abrir un explorador de internet e introducir la dirección IP asociada al compute box.



Fig32. Página web del sensor

Los valores de fuerza y par (F_x, F_y, F_z y T_x, T_y, T_z) se muestran en Newton y Nm. El interruptor ZERO se puede usar para poner a cero la lectura de fuerza y par.

- **Configuración para recibir datos del sensor mediante conexión UDP**

La conexión del Protocolo de datagramas de usuario (UDP) se puede utilizar para leer la salida del sensor en una frecuencia máxima de 500 Hz (2ms). En UDP también se puede utilizar para configurar la lectura, la frecuencia de corte y polarizar la salida del sensor. El protocolo UDP tiene cinco comandos. Para que el dispositivo inicie la salida de mensajes UDP, enviar una solicitud a la dirección IP del dispositivo. El dispositivo escucha solicitudes UDP en el puerto 49152. Este puerto también se utiliza para los mensajes de salida.

Se implementan los siguientes cinco comandos:

Command	Name	Data	Response
0x0000	Stop sending the output	Any value	none
0x0002	Start sending the output	Sample count	UDP record(s)
0x0042	Set software bias	0 or 255 decimal	none
0x0081	Set internal filtering	0-6 decimal	none
0x0082	Set read-out speed	Period in ms	none

Tabla11. Lista de comandos para la comunicación con el sensor

El único comando con respuesta es 0x0002, que inicia el envío de la salida. Los otros comandos no se reconocen, por lo tanto no tienen respuesta.

- **Petición**

Los comandos deben enviarse al dispositivo como una solicitud con la siguiente estructura:

```
UINT16  Header;      // Must be 0x1234
UINT16  Command;    // Value according to the command table
UINT32  Data;       // data according to the actual command
```

Fig33. Estructura comandos UDP

El recuento de bytes de la solicitud debe ser de 9 bytes y los valores de varios bytes deben enviarse como el primer byte alto.

- **Respuesta**

El dispositivo envía la salida como un registro UDP que tiene la siguiente estructura:

```
UINT32  HS_sequence; // The sequence number of the current UDP record
UINT32  FT_sequence; // The internal sample counter of the Compute Box
UINT32  Status;      // Status word of the sensor and Compute Box
UINT32  Fx;          // X-axis force in 32 bit Counts*
UINT32  Fy;          // Y-axis force in 32 bit Counts*
UINT32  Fz;          // Z-axis force in 32 bit Counts*

UINT32  Tx;          // X-axis torque in 32 bit Counts* (0 if not available)
UINT32  Ty;          // Y-axis torque in 32 bit Counts* (0 if not available)
UINT32  Tz;          // Z-axis torque in 32 bit Counts* (0 if not available)
```

Fig34. Estructura datos de salida UDP

El recuento de bytes de la salida es siempre de 36 bytes. Si se reciben menos de 36 bytes, se ignoran.

HS_sequence muestra el número actual de la salida. Si la solicitud de inicio fue enviada con datos (recuento de muestras) =1000, entonces HS_sequence comenzara desde 1 y finalizara con 1000. Si los datos eran 0, entonces la salida se produce hasta que se detiene la solicitud que se ha enviado.

Los valores de Fx, Fy, Fz, Tx, Ty, Tz se puede convertir a Newton/Newton-metro dividiendo los valores de fuerza por 10000 y los valores de torque por 100000.

La velocidad de lectura es la velocidad a la que hay nuevas muestras disponibles. Este valor se puede establecer en el rango de 254 ms a 2ms, que son 4Hz a 500Hz respectivamente.

- **Configuración para recibir datos del sensor mediante conexión TCP**

El modo Protocolo de Control de Transmisión (TCP) se utiliza para leer la salida y la información del estado del sensor. Las conexiones TCP son generalmente más lentas en comparación con las conexiones UDP, y varios son los factores de software y hardware que pueden afectar a la velocidad de respuesta como el firewall de software, el enrutador, etc...

Para una velocidad de lectura más rápida, se recomienda el uso de UDP. En el protocolo TCP, el dispositivo es el servidor y los clientes pueden conectarse a él.

La conexión se establece de la siguiente manera:

- El dispositivo escucha la conexión en el puerto TCP 49151.
- Una vez que un cliente ha establecido con éxito la conexión con el dispositivo, el cliente puede solicitar datos al dispositivo.
- Después de recibir la solicitud, el dispositivo responde con la respuesta adecuada.
- Después de que el usuario haya recibido la respuesta, se puede enviar una nueva solicitud sin reestablecer la conexión TCP. Si el dispositivo no recibe una solicitud durante más de 1 segundo, el dispositivo cierra la conexión (tiempo de espera). En este caso, el usuario necesita reestablecer la conexión TCP para poder solicitar más datos.

Solo una conexión TCP puede estar activa en cualquier momento.

Se debe enviar un comando simple al dispositivo mediante una solicitud que tiene la siguiente estructura.

```
UINT8    Command;           // Must be decimal 0 (0x00)
UINT8    Reserved[19];     // All the 19 value should be 0s.
```

Fig35. Estructura de comandos TCP

El recuento de bytes de la solicitud debe de ser de 20 bytes.

El dispositivo envía la salida como un registro TCP que tiene la siguiente estructura:

```
UINT16   Header;           // Fixed 0x1234
UINT16   Status;           // Status word of the sensor and Compute Box
INT16    Fx;               // X-axis force in 16bit Counts*
INT16    Fy;               // Y-axis force in 16bit Counts*
INT16    Fz;               // Z-axis force in 16bit Counts*
INT16    Tx;               // X-axis torque in 16bit Counts* (0 if not available)
INT16    Ty;               // Y-axis torque in 16bit Counts* (0 if not available)
INT16    Tz;               // Z-axis torque in 16bit Counts* (0 if not available)
```

Fig36. Datos de salida TCP

El recuento de bytes de la respuesta es siempre de 16 bytes con valores de varios bytes enviados como el primer byte alto.

Para establecer la conexión mediante UDP o TCP se puede utilizar el software Hercules.

- **Hercules para UDP**

Una de las aplicaciones para poder comprobar el correcto funcionamiento de la conexión con el sensor, mediante la lectura de los datos, es utilizar Hercules.

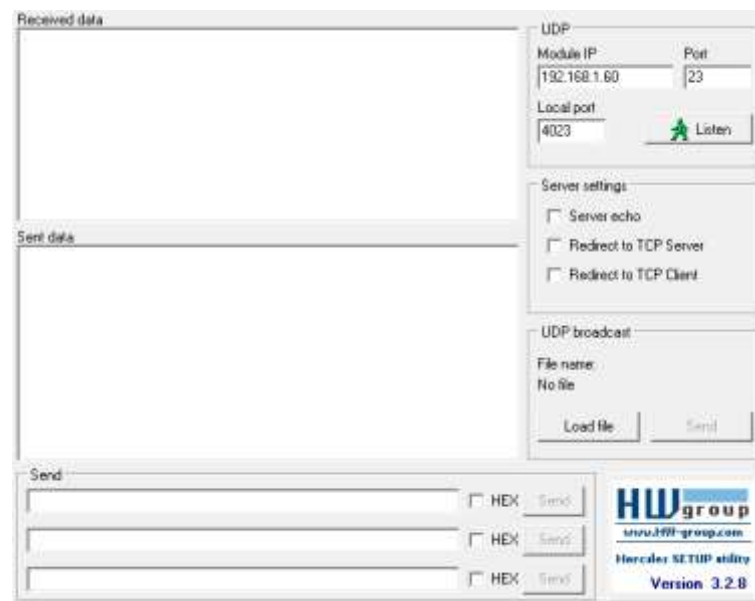


Fig37. Pantalla del Hercules para UDP

La pestaña UDP es un "terminal" simple basado en los datagramas UDP. El propósito principal de esta pestaña es enviar paquetes UDP desde su computadora al destino. Si desea utilizar el modo de comunicación UDP, es bastante complicado encontrar alguna utilidad para la depuración en Windows.

Parámetros:

- Asigne el puerto y la IP para escuchar
- Enviar transmisiones UDP
- Envíe y muestre mensajes o comandos hacia y desde un dispositivo remoto

Otros parámetros (en el menú contextual)

- Mostrar caracteres especiales (en ASCII, HEX o DEC)
- Registrar la comunicación en un archivo
- Enviar un archivo al dispositivo remoto

Módulo IP:

- La dirección IP del dispositivo remoto.

Puerto:

- El puerto del dispositivo remoto donde se envían los paquetes UDP.

Puerto local:

- Escuche en este puerto local los paquetes UDP recibidos.

Configuración del servidor - Eco del servidor:

- Al marcar esta casilla de verificación, el "terminal" UDP inicia la función ECHO = envía todos los datos recibidos al destino UDP definido.

Difusión UDP:

- Al cargar un archivo de difusión especial .brf, puede enviar paquetes de difusión a la red.

Botón Enviar:

- Para enviar datos al dispositivo, se presiona el botón Enviar a la derecha del campo respectivo o use F1, F2, F3 respectivamente para cada campo.

Se usa la casilla HEX para enviar caracteres hexadecimales (usados para enviar comandos NVT). Los caracteres ASCII se envían escribiendo #xxx (donde x es un número del 0 al 9), \$yy (donde y es un número hexadecimal)

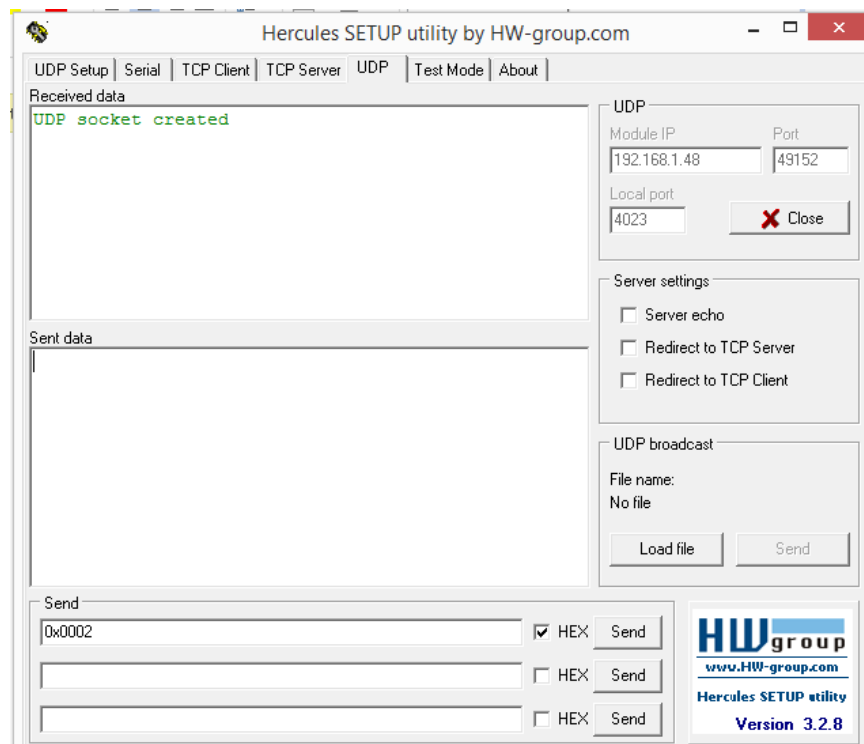


Fig38. Pantalla del Hercules para UDP con los comandos a utilizar

- **Hercules para TCP**

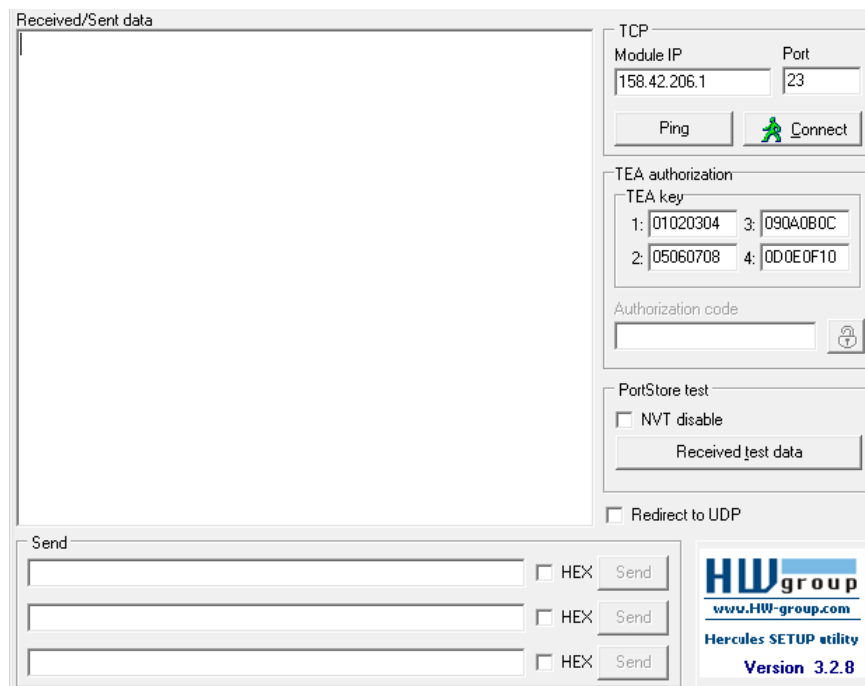


Fig39. Pantalla Hercules para TCP

La pestaña Cliente TCP de la utilidad Hercules se puede utilizar como un terminal de cliente TCP/IP simple similar a Telnet.

Parámetros:

- Asignar los parámetros de la conexión (IP, puerto)
- Establecer la clave TEA y el código de autorización
- Envíe y muestre mensajes o comandos hacia y desde un dispositivo remoto
- Recibir datos de prueba: utilizados con dispositivos HWg

Otros parámetros (en el menú contextual):

- Mostrar caracteres especiales (en ASCII, HEX o DEC)
- Registrar la comunicación en un archivo
- Enviar un archivo al dispositivo remoto

Modulo IP:

- La dirección IP del dispositivo remoto

Puerto:

- El puerto del dispositivo remoto: 23 para Telnet, 99 para la configuración TCP de dispositivos HWg.

Botón de ping:

- Facilidad para hacer ping al dispositivo remoto para comprobar si hay una conexión. Resultados mostrados en la ventana de datos Recibidos/Enviados.

Botón Conectar/Desconectar:

- Abre y cierra la conexión TCP/IP con el dispositivo remoto.

Clave TEA Contraseña:

- Clave segura de 16 bytes. Está configurado en ambos lados, nunca va a pensar en la red.
Está definido en la mayoría de nuestros dispositivos como 4 grupos con 4 bytes definidos en forma HEX.

Código de autorización:

- Para abrir la comunicación con el dispositivo seguro de TEA, debe cortar 12 dígitos en su portapapeles y pegarlos en el formulario "Código de autorización". Luego haga clic en el botón con la imagen del candado y el resultado se enviará a la conexión. Si su TEA Key es igual a la Key del lado opuesto, la conexión TCP está habilitada. De lo contrario, la conexión está con algún tiempo de espera cerrado por el Cliente TCP (dispositivo).

Finalmente se puede resolver la conexión con el sensor de manera directa sin utilización del polyscope mediante el software Hercules o bien mediante Python. No se puede comprobar el correcto funcionamiento debido a la rotura de dicho dispositivo.

1.7.2. Experimento 1: Movimiento del Robot UR3

Se prueba el movimiento individualizado de un robot, probando que se mueve correctamente indicándole un desplazamiento en x, y o z según su sistema de coordenadas.

Se realiza un código independiente para el UR3 y para el URe.

- Primero se realizan los experimentos en el **robot UR3: (Conexión_Ure22)**

Mediante la función bind se ata al ServerSocket a la dirección especificada (dirección IP y puerto). La dirección IP es la 192.168.1.103, que corresponde al ordenador utilizado, y el puerto 3000. El ServerSocket no debe estar atado previamente.

Se realiza el accept, para establecer la conexión con el cliente. Escucha una solicitud de conexión y la acepta cuando se recibe. En ese momento, se crea nuevo Socket que es el que realmente se conecta con el cliente. Tras esto, el ServerSocket sigue disponible para realizar nuevos accept ().



Durante el código se realizan envío de datos y recibimiento de datos a través de las funciones `receive (recv)` y `send`. La función `receive`, recibe un datagrama en el socket. Esta llamada es bloqueante. Cuando este método retorna, los datos se devuelven en el buffer del `DatagramPacket`. El `DatagramPacket` también contiene la dirección IP y el puerto del emisor.

La función `send`, envía un datagrama desde el socket. El `DatagramPacket` contiene los datos, su longitud, la dirección IP del receptor y su número de puerto.

En este programa se recibe la posición inicial del robot, posteriormente se envía el robot a una nueva posición a 260 mm en Y del punto en el que se encuentra. Se recibe la posición que se le ha enviado para ver si es correcta esa llegada de datos y por último se reciben las conversiones realizadas en el Polyscope, recibiendo finalmente la posición final.

Respecto al programa en Polyscope para abrir la conexión mediante socket, se utiliza la función `socket_open()`, en ella se especifica la IP del ordenador y el puerto especificado. La obtención de la posición actual del robot se obtiene mediante la función `get_actual_tcp_pose()`, se envía la posición como una string mediante la función `socket_send_string()`. Para leer unos datos enviados a través del socket se utiliza la función `socket_read_ascii_float()`.

Por último se utiliza la función `pose_trans()`, ya que el movimiento que se envía es relativo a la posición actual del robot se utiliza esta función, esta devolverá la posición en coordenadas absolutas respecto de la base a donde se debe mover el robot. Recibe como entradas una posición inicial (`p_from`) y una posición final respecto la inicial (`p_from_to`).

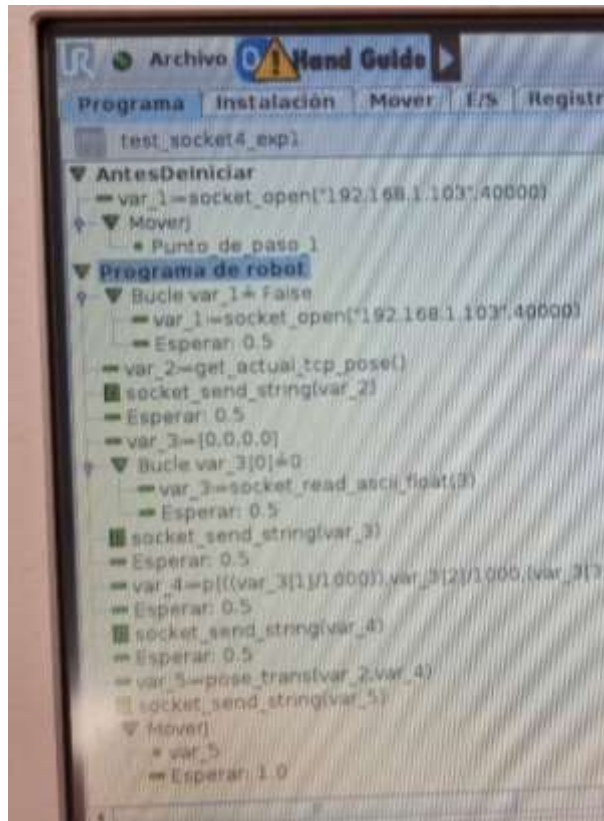


Fig40. Programa movimiento individual UR3

Se realizan pruebas con movimientos tanto en x, como en y, como en z. Y comprobando si realizando el movimiento indicado, se alcanza la posición final deseada y se mueve correctamente por el eje indicado.

- Movimiento en x:

```
Starting Program
Port binded
Client connected
Connection with client
Posición Inicial
b'p[-0.312096,-0.134968,0.0601184,2.23626,2.18544,-0.0390463]'
Data sent
Posición enviada al UR3
b'[3,0,200,0]'
Posición recibida en el UR3, var_4
b'p[0,0.26,0,0,0]'
Posición Final del UR3 (var_5)
b'p[-0.0521716,-0.140969,0.0582822,2.23626,2.18544,-0.0390463]'
Program finish
Process finished with exit code 0
```

Fig41. Respuesta del código Python al movimiento x

A través del siguiente enlace, se puede ver el video de la prueba del movimiento en x:

<https://youtube.com/shorts/z9Vzdezaicc>

- Movimiento en y:

```
Starting Program
Port binded
Client connected
Connection with client
Posición Inicial
b'p[-0.31266,-0.13499,0.060881,2.23614,2.18529,-0.0389155]'
Data sent
Posición enviada al UR3
b'[3,260,0,0]'
Posición recibida en el UR3, var_4
b'p[0.26,0,0,0,0,0]'
Posición Final del UR3 (var_5)
b'p[-0.306108,0.124839,0.0527781,2.23614,2.18529,-0.0389155]'
Program finish
Process finished with exit code 0
```

Fig42. Respuesta del código Python al movimiento y

A través del siguiente enlace, se puede ver el video de la prueba del movimiento en y:

<https://youtube.com/shorts/touuZF43BBc>

- Movimiento en z:

Se realiza un movimiento negativo respecto al eje, por lo que se movera -260mm en Z.

```
Starting Program
Port binded
Client connected
Connection with client
Posición Inicial
b'p[-0.312072,-0.135025,0.0601187,2.23621,2.18539,-0.0390665]'
Data sent
Posición enviada al UR3
b'[3,0,0,260]'
Posición recibida en el UR3, var_4
b'p[0,0,0.26,0,0,0]'
Posición Final del UR3 (var_5)
b'p[-0.314065,-0.142279,-0.199772,2.23621,2.18539,-0.0390665]'
Program finish
Process finished with exit code 0
```

Fig43. Respuesta del código Python al movimiento z

A través del siguiente enlace, se puede ver el video de la prueba del movimiento en z:

<https://youtube.com/shorts/ysY-uphbsFA>

- Se realizan los experimentos en el **robot URe**:

Se utilizan las mismas funciones para el UR3 que para el URe como son las funciones bind, accept, receive y send.

En este código se va a cambiar el sistema de coordenadas de referencia del robot para que ambos tengan un sistema común, para ello primero se recibirá la posición actual del mismo. Como se ha podido comprobar en el experimento anterior las posiciones al enviarse llevan consigo el formato de vector acompañado previamente de las letras **b'p**, esto dificulta la transformación de coordenadas al no poder asignar un valor a una variable de forma directa, por lo que se remplazan estos caracteres y los corchetes para una correcta interpretación de los datos mediante los siguiente comandos:

```
#UR3
pos1 = msg.decode()
pos1 = pos1[2:len(pos1)]
a = pos1.replace("b'p[", "").replace("]", "")
lst1 = [x for x in a.split(',')]
print(lst1)

p01 = (float(lst1[0]))
p02 = (float(lst1[1]))
p03 = (float(lst1[2]))
```

Fig43. Código de Python del recibiendo de datos

Posteriormente estos datos se transforman mediante una matriz de rotación y transformación. El nuevo sistema de coordenadas será el sistema de coordenadas de la base del UR3, el maestro.

El código desarrollado se puede observar en el **Anexo 1**.

Del sistema de la base del esclavo, al sistema de la base del maestro, se realiza un giro en z de -90 grados.

$$T = \begin{bmatrix} 0 & 1.0000 & 0 & -0.0994 \\ -1.0000 & 0 & 0 & -0.8780 \\ 0 & 0 & 1.0000 & -0.2060 \\ 0 & 0 & 0 & 1.0000 \end{bmatrix}$$

Posteriormente a esta posición actual del robot en el nuevo sistema de referencia, se le sumara el desplazamiento que se quiere realizar para obtener la nueva posición final. A esta posición final expresada en el sistema de coordenadas del maestro, se volverá a pasar al sistema de coordenadas de la base del esclavo para poder enviarle esta nueva posición.

Del sistema de la base del maestro, al sistema de la base del esclavo, se realiza un giro en z de 90 grados.

$T_2 =$

$$\begin{matrix}
 & 0 & -1.0000 & 0 & -0.8780 \\
 1.0000 & & 0 & 0 & 0.0994 \\
 0 & 0 & 0 & 1.0000 & 0.2060 \\
 0 & 0 & 0 & 0 & 1.0000
 \end{matrix}$$

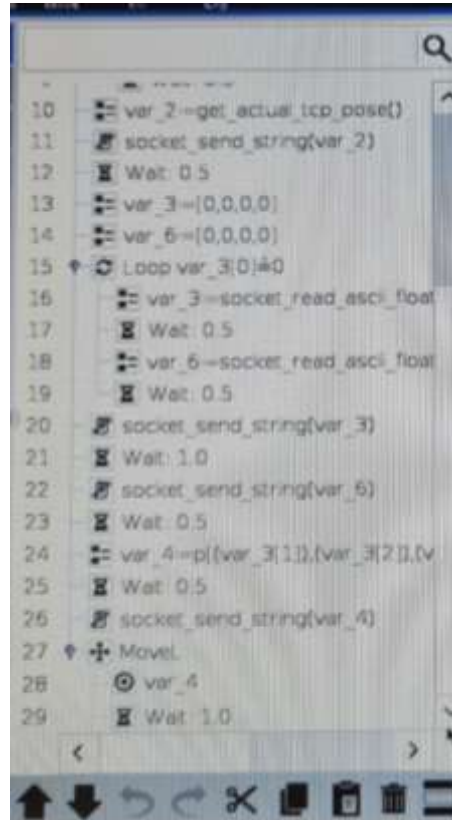
Para cambiar las coordenadas de rotación también aplicamos una matriz de rotación.

$T_3 =$

$$\begin{matrix}
 0 & 1 & 0 & 0 \\
 -1 & 0 & 0 & 0 \\
 0 & 0 & 1 & 0 \\
 0 & 0 & 0 & 1
 \end{matrix}$$

A diferencia del código anterior, al sumar las posiciones, se envía directamente la posición final respecto la base del esclavo y no es necesario la función `pose_trans()`.

Código realizado en el Polyscope:



```

10 var_2=get_actual_tcp_pose()
11 socket_send_string(var_2)
12 Wait: 0.5
13 var_3=[0,0,0,0]
14 var_6=[0,0,0,0]
15 Loop var_3[0]!=0
16 var_3=socket_read_ascii_float
17 Wait: 0.5
18 var_6=socket_read_ascii_float
19 Wait: 0.5
20 socket_send_string(var_3)
21 Wait: 1.0
22 socket_send_string(var_6)
23 Wait: 0.5
24 var_4=p[(var_3[1]),(var_3[2]),(v
25 Wait: 0.5
26 socket_send_string(var_4)
27 MoveL
28 var_4
29 Wait: 1.0
    
```

Fig44. Código de Polyscope movimiento individual UR3e

Se realizan pruebas con movimiento tanto en x, como en y, como en z. Y comprobando si realizando el movimiento indicado, se alcanza la posición final deseada y se mueve correctamente por el eje indicado.

- Movimiento en x

Se envía el robot a la nueva posición de 200 mm respecto el nuevo sistema de coordenadas.

```
pos = np.array([[0.200], [0], [0], [0]])  
# REALIZAR #X,Y,Z,-;
```

Fig45. Instrucción de Python con la nueva posición

Se puede observar cómo se ha desplazado el robot 200 mm en x observado la posición inicial y posición final. La posición inicial era de -0.2794 m y la final ha sido de -0.0794 m.

A través del siguiente enlace, se puede ver el video de otra prueba con un movimiento en x negativo:

<https://youtube.com/shorts/mOUumdrNVko>

```
Starting Program  
Port binded  
Client connected  
Connection with client  
Posición Inicial  
b'p[0.134057,-0.279407,0.144673,-2.355,-2.06974,-0.00895055]'  
['0.134057', '-0.279407', '0.144673', '-2.355', '-2.06974', '-0.00895055']  
Posiciones recibidas  
0.134057  
-0.279407  
0.144673  
Posicion respecto el nuevo sistema de coordenadas  
[[-0.378807]  
 [-1.012057]  
 [-0.061327]  
 [ 1.    ]]  
Nueva posición respecto el nuevo sistema de coordenadas  
[[-0.178807]  
 [-1.012057]  
 [-0.061327]  
 [ 1.    ]]  
Nueva posición respecto el sistema de coordenadas de la base  
[[ 0.134057]  
 [-0.079407]  
 [ 0.144673]  
 [ 1.    ]]
```

```

POSICION A ENVIAR
(0.134056999999999998, -0.079406999999999999, 0.144673)
(-2.355, -2.06974, -0.00895055)
Data sent
Data sent 2
Posicion enviada al UR3
b'[3,0.134057,-0.079407,0.144673]'
```

Fig46. Respuesta del código de Python al movimiento en x

- **Movimiento en y**

Se envía el robot a la nueva posición de 200 mm en Y respecto el nuevo sistema de coordenadas. Se puede observar cómo se ha desplazado el robot 200 mm en Y observado la posición inicial y posición final. La posición inicial era de 0.1340 m y la final ha sido de -0.0659 m.

A través del siguiente enlace, se puede ver el video de otra prueba del movimiento en Y en sentido positivo:

<https://youtube.com/shorts/sOoHXksAPaE>

```

Starting Program
Port binded
Client connected
Connection with client
Posición Inicial
b'p[0.134046,-0.279426,0.144686,-2.35511,-2.06974,-0.00892]'
```

```
POSICION A ENVIAR
(-0.065953999999999996, -0.279426, 0.144686)
(-2.35511, -2.06974, -0.00892)
Data sent
Data sent 2
Posicion enviada al UR3
b'[3,-0.065954,-0.279426,0.144686]'
```

Fig47. Respuesta del código de Python al movimiento en y

- Movimiento en z

Se envía el robot a la nueva posición de -200 mm en Z respecto el nuevo sistema de coordenadas.

```
pos = np.array([[0], [0], [-0.200], [0]])
# REALIZAR #X,Y,Z,-;
```

Fig48. Instrucción de Python con la nueva posición variando z

Se puede observar cómo se ha desplazado el robot 200 mm en Z, observado la posición inicial y posición final. La posición inicial era de 0.144 m y la final ha sido de -0.0553 m.

A través del siguiente enlace, se puede ver el video de la prueba del movimiento en z negativo:

<https://youtube.com/shorts/odpp3dPjU9U>

```

Starting Program
Port binded
Client connected
Connection with client
Posición Inicial
b'p[0.134059,-0.279396,0.144664,-2.35504,-2.06968,-0.00905631]'
['0.134059', '-0.279396', '0.144664', '-2.35504', '-2.06968', '-0.00905631']
Posiciones recibidas
0.134059
-0.279396
0.144664
Posicion respecto el nuevo sistema de coordenadas
[[-0.378796]
 [-1.012059]
 [-0.061336]
 [ 1.      ]]
Nueva posicion respecto el nuevo sistema de coordenadas:
[[-0.378796]
 [-1.012059]
 [-0.261336]
 [ 1.      ]]
Nueva posicion respecto el sistema de coordenadas de la base
[[ 0.134059]
 [-0.279396]
 [-0.055336]
 [ 1.      ]]
POSICION A ENVIAR
(0.13405900000000004, -0.279396, -0.055336000000000024)
(-2.35504, -2.06968, -0.00905631)
Data sent
Data sent 2
Posicion enviada al UR3
b'[3,0.134059,-0.279396,-0.055336]'
Posicion 2 enviada al UR3
b'[3,-2.35504,-2.06968,-0.00905631]'
Posicion Final UR3
b'p[0.134059,-0.279396,-0.055336,-2.35504,-2.06968,-0.00905631]'

Program finish
    
```

Fig49. Respuesta del código de Python al movimiento en z

- **Prueba con Path_offset_set**

Se realiza una prueba con las funciones `path_offset_set (offset, type)` y `path_offset_enable()` para conseguir reducir el offset a 0 entre los dos sistemas de coordenadas. Esto sería una alternativa a lo realizado mediante Python.

`Path_offset_enable`, sirve para habilitar la compensación de ruta. Esta se utiliza para superponer una compensación cartesiana en el movimiento del robot a medida que sigue una trayectoria.

`Path_offset_set`, se especifica el desplazamiento de la ruta cartesiana que se aplicara. La compensación se aplica durante cada ciclo a 500Hz. Es probable que las compensaciones discontinuas o entrecortadas causen paradas de protección.

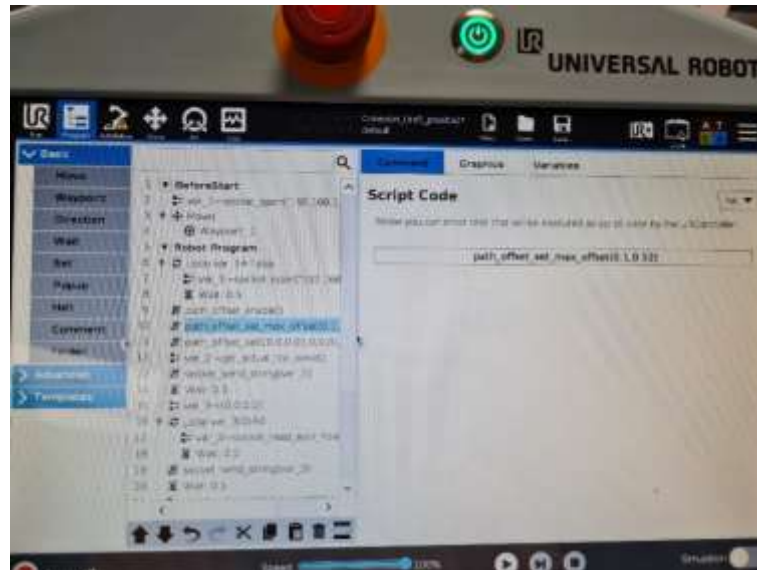
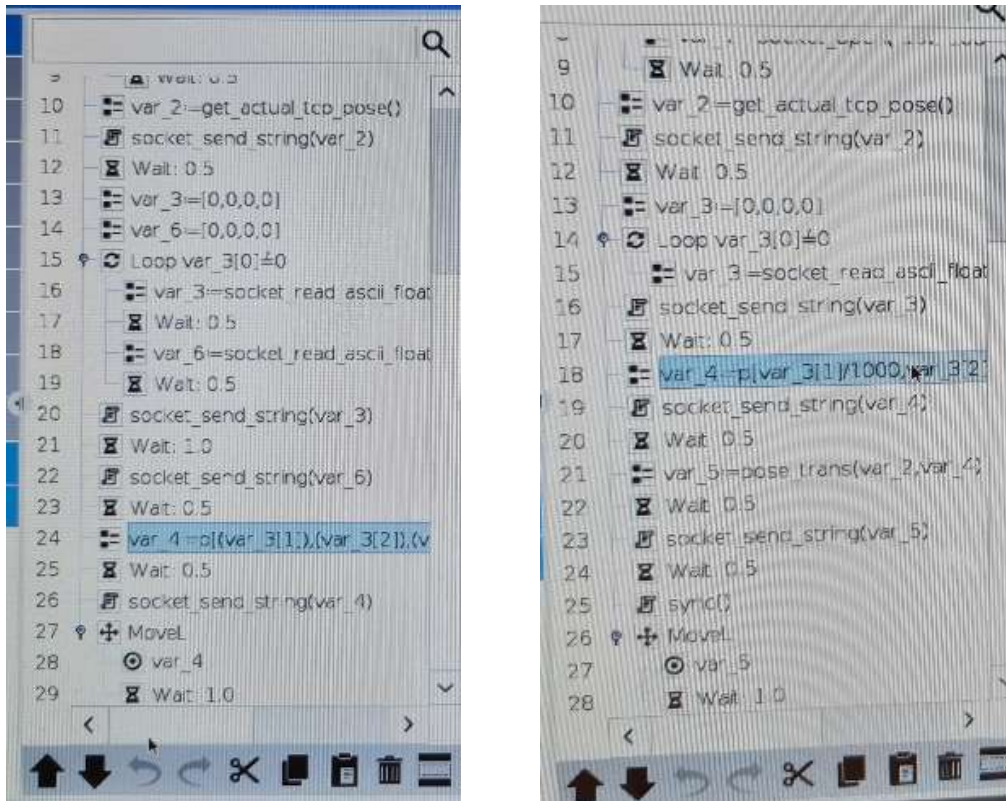


Fig50.Codigo Polyscope con Path_offset_set

Durante la realización de la prueba se observa que no consigue realizar correctamente el offset y que además aparecen errores de posición, donde el robot es incapaz de alcanzar la posición por dinámica inversa

1.7.3. Experimento 2: Movimiento coordinado de dos robots colaborativos.

Para la realización de este experimento se ha realizado dos programas en la pantalla de cada robot, una en el UR3e (izquierda) y otra en el UR3 (derecha):



```

10 var_2=get_actual_tcp_pose()
11 socket_send_string(var_2)
12 Wait: 0.5
13 var_3=[0,0,0,0]
14 var_6=[0,0,0,0]
15 Loop var_3[0]≠0
16   var_3=socket_read_ascii_float
17   Wait: 0.5
18   var_6=socket_read_ascii_float
19   Wait: 0.5
20 socket_send_string(var_3)
21 Wait: 1.0
22 socket_send_string(var_6)
23 Wait: 0.5
24 var_4=[(var_3[1]),(var_3[2]),(v
25 Wait: 0.5
26 socket_send_string(var_4)
27 MoveL
28   var_4
29 Wait: 1.0
  
```

```

9 Wait: 0.5
10 var_2=get_actual_tcp_pose()
11 socket_send_string(var_2)
12 Wait: 0.5
13 var_3=[0,0,0,0]
14 Loop var_3[0]≠0
15   var_3=socket_read_ascii_float
16   socket_send_string(var_3)
17   Wait: 0.5
18   var_4=[(var_3[1])/1000,(var_3[2]
19   socket_send_string(var_4)
20   Wait: 0.5
21   var_5=pose_trans(var_2,var_4)
22   Wait: 0.5
23   socket_send_string(var_5)
24   Wait: 0.5
25   sync()
26 MoveL
27   var_5
28   Wait: 1.0
  
```

Fig51. Código Polyscope UR3e y UR3 para movimiento coordinado

En el UR3e se envía por separado la posición y la orientación final del robot, existe la limitación de no poder enviarse y recibir los 6 datos a la vez por las funciones del propio robot. La función **socket_read_ascii_float** limita en 30 los valores que se pueden leer con el mismo comando.

También se ha realizado un programa en Python que nos permite comunicarnos con ambos robots. En este programa primero mediante la función `c.recv` y `d.recv` se recibe la posición de cada robot enviada por el comando `get_actual_tcp_pose()`.

El código realizado en Python se puede encontrar en el Anexo 1.

En Python se realiza dicha conversión de las coordenadas actuales basadas en el sistema de coordenadas de la base del UR3e al nuevo sistema de coordenadas.

Una vez realizada la conversión y teniendo ambas coordenadas en el mismo sistema de referencia, se realiza un movimiento en X de 260 mm en cada uno de los robots.

Así una vez se tiene la nueva posición que se quiere que se desplace el robot, se envía la posición nueva al UR3 y al UR3e. Antes de enviar al UR3e se realiza nuevamente una conversión del sistema de coordenadas de la base del maestro al sistema de coordenadas de la base del robot.

Cabe destacar que en el UR3 se expresa las coordenadas como XYZ mientras que en el UR3e se expresa como YXZ.

- **Move J**

Con MoveJ se observa que en el desplazamiento del UR3 se mueve también en z, mientras que el URe realiza el movimiento sin tanta desviación. Esto es debido al movimiento con MoveJ, ya que no realiza un movimiento lineal.

Se realizan 4 experimentos para observar cuanto desviamiento hay en z al realizar un movimiento en x.

A través del siguiente enlace, se puede ver el video de la prueba del movimiento con MoveJ:

<https://youtube.com/shorts/69i3E62kfGE?feature=share>

- **Datos 1**

```
Posicion Inicial UR3
b'p[-0.375911,-0.425258,-0.0275252,1.57015,0.0678737,-0.0630615]'
Posicion Inicial URe
b'p[-0.610032,-0.26763,0.158751,0.0677632,-1.57011,-0.0631828]'
Posicion Final URe
b'p[-0.610032,-0.00763,0.158751,0.0677632,-1.57011,-0.0631828]'
Posicion Final del UR3 (var_5)
b'p[-0.116826,-0.424446,-0.049173,1.57013,0.0677649,-0.0630846]'
```

Fig52. Primera toma de datos de las posiciones con MoveJ

- **Datos 2**

```
Posicion Inicial UR3
b'p[-0.375927,-0.425284,-0.0275103,1.57015,0.0679299,-0.0631551]'
Posicion Inicial URe
b'p[-0.610022,-0.26762,0.158694,0.0677651,-1.57024,-0.0632152]'
['-0.610022', '-0.26762', '0.158694', '0.0677651', '-1.57024', '-0.0632152']
Posicion Final URe
b'p[-0.610022,-0.00762,0.158694,0.0677651,-1.57024,-0.0632152]'
Posicion Final del UR3 (var_5)
b'p[-0.116835,-0.424484,-0.049196,1.57014,0.067917,-0.0631018]'
```

Fig53. Segunda toma de datos de las posiciones con MoveJ

▪ **Datos 3**

```

Posicion Inicial UR3
b'p[-0.375918,-0.425276,-0.0275155,1.57014,0.0679966,-0.0631648]'
Posicion Inicial URe
b'p[-0.610019,-0.267631,0.1587,0.0677774,-1.57022,-0.063228]'
Posicion Final URe
b'p[-0.610019,-0.007631,0.1587,0.0677774,-1.57022,-0.063228]'
Posicion Final del UR3 (var_5)
b'p[-0.116846,-0.424464,-0.049202,1.57014,0.0680284,-0.0632324]'
    
```

Fig54. Tercera toma de datos de las posiciones con MoveJ

▪ **Datos 4**

```

Posicion Inicial UR3
b'p[-0.375916,-0.425276,-0.0275102,1.57014,0.0678834,-0.06309]'
Posicion Inicial URe
b'p[-0.610025,-0.267627,0.158716,0.0677661,-1.57018,-0.0632195]'
Posicion Final URe
b'p[-0.610025,-0.007627,0.158716,0.0677661,-1.57018,-0.0632195]'
Posicion Final del UR3 (var_5)
b'p[-0.116824,-0.42447,-0.0491695,1.57014,0.0678593,-0.0630458]'
    
```

Fig55. Cuarta toma de datos de las posiciones con MoveJ

Posición Z UR3	Inicial	Final	Desviación
1	-0.0275252	-0.049173	0.0216478
2	-0.0275103	-0.049196	0.0216857
3	-0.0275155	-0.049202	0.0216865
4	-0.0275102	-0.0491695	0.0216593
Promedio	x	x	0.0216698

Tabla 12. Comparación de posición del UR3 con MoveJ

- **Move L**

Con MoveL se observa que el movimiento de ambos es correcto, aunque se sigue observando un pequeño desplazamiento en z en el UR3.

- **Datos 1**

```
Posicion Inicial UR3
b'p[-0.375847,-0.425308,-0.0275616,1.57014,0.0679305,-0.0629485]'
Posicion Inicial URe
b'p[-0.610021,-0.267639,0.158735,0.0677742,-1.57015,-0.0632104]'
Posicion Final URe
b'p[-0.610021,-0.007639,0.158735,0.0677742,-1.57015,-0.0632104]'
Posicion Final del UR3 (var_5)
b'p[-0.116778,-0.424469,-0.049207,1.57015,0.0679913,-0.0630453]'
```

Fig56. Primera toma de datos de las posiciones con MoveL

A través del siguiente enlace, se puede ver el video de la prueba del movimiento con MoveL:

<https://youtube.com/shorts/mm3R1QdFmv0?feature=share>

- **Datos 2**

```
Posicion Inicial UR3
b'p[-0.37587,-0.425303,-0.0275647,1.57014,0.0678174,-0.0629672]'
Posicion Inicial URe
b'p[-0.610026,-0.267619,0.158705,0.067777,-1.57022,-0.0632473]'
Posicion Final URe
b'p[-0.610026,-0.007619,0.158705,0.067777,-1.57022,-0.0632473]'
Posicion Final del UR3 (var_5)
b'p[-0.116811,-0.424488,-0.0491882,1.57015,0.0678786,-0.0630817]'
```

Fig57. Segunda toma de datos de las posiciones con MoveL

- **Datos 3**

```
Posicion Inicial UR3
b'p[-0.375902,-0.425267,-0.0275252,1.57014,0.0679018,-0.0630521]'
Posicion Inicial URe
b'p[-0.61002,-0.267639,0.158735,0.0677686,-1.57016,-0.0632043]'
Posicion Final URe
b'p[-0.61002,-0.007639,0.158735,0.0677686,-1.57016,-0.0632043]'
```

```
Posicion Final del UR3 (var_5)
b'p[-0.116853, -0.424447, -0.0491871, 1.57016, 0.0680007, -0.063186]'
```

Fig58. Tercera toma de datos de las posiciones con MoveL

▪ **Datos 4**

```
Posicion Inicial UR3
b'p[-0.375893, -0.42529, -0.0275323, 1.57014, 0.0678838, -0.0630522]'
```

```
Posicion Inicial URe
b'p[-0.61002, -0.267622, 0.158689, 0.0677654, -1.57024, -0.063234]'
```

```
Posicion Final URe
b'p[-0.61002, -0.007622, 0.158689, 0.0677654, -1.57024, -0.063234]'
```

```
Posicion Final del UR3 (var_5)
b'p[-0.116805, -0.424478, -0.0491605, 1.57014, 0.0678975, -0.0631199]'
```

Fig59. Cuarta toma de datos de las posiciones con MoveL

Posición Z UR3	Inicial	Final	Desviación
1	-0.0275616	-0.049207	0.0216454
2	-0.0275647	-0.0491882	0.0216235
3	-0.0275252	-0.0491871	0.0216619
4	-0.0275323	-0.0491605	0.0216282
Promedio	x	x	0.0216397

Tabla13. Comparación de las posiciones del UR3 con MoveL

• **Move P**

Con MoveP, se observa que es el movimiento que mejor realiza la trayectoria, no hay prácticamente desplazamiento en z y es un movimiento suave y coordinado. Este se puede conseguir con ambos robots a las mismas velocidades y aceleraciones.

A través del siguiente enlace, se puede ver el video de la prueba del movimiento con MoveP:

<https://youtube.com/shorts/sNR6Kd-5QXE?feature=share>

- **Datos 1**

```

Posicion Inicial UR3
b'p[-0.375872,-0.42529,-0.027505,1.57014,0.0680905,-0.06307]'
Posicion Inicial URe
b'p[-0.610014,-0.267658,0.158721,0.0678229,-1.57018,-0.0631627]'
Posicion Final URe
b'p[-0.610014,-0.007658,0.158721,0.0678229,-1.57018,-0.0631627]'
Posicion Final del UR3 (var_5)
b'p[-0.1417,-0.424538,-0.0471114,1.57014,0.0682091,-0.0631833]'

```

Fig60. Primera toma de datos de las posciones con MoveP

- **Datos 2**

```

Posicion Inicial UR3
b'p[-0.37588,-0.425294,-0.0275523,1.57014,0.0679965,-0.0631079]'
Posicion Inicial URe
b'p[-0.610018,-0.26763,0.158724,0.0677415,-1.57019,-0.0631939]'
Posicion Final URe
b'p[-0.610018,-0.00763,0.158724,0.0677415,-1.57019,-0.0631939]'
Posicion Final del UR3 (var_5)
b'p[-0.141703,-0.424556,-0.0471387,1.57014,0.0682001,-0.0631922]'
Program finish

```

Fig61. Segunda toma de datos de las posciones con MoveP

- **Datos 3**

```

Posicion Inicial UR3
b'p[-0.375896,-0.425263,-0.0275573,1.57014,0.067883,-0.0630896]'
Posicion Inicial URe
b'p[-0.610029,-0.267634,0.158735,0.0677512,-1.57014,-0.06317]'
Posicion Final URe
b'p[-0.610029,-0.007634,0.158735,0.0677512,-1.57014,-0.06317]'
Posicion Final del UR3 (var_5)
b'p[-0.141692,-0.424545,-0.047128,1.57014,0.0680115,-0.0630612]'

```

Fig62. Tercera toma de datos de las posciones con MoveP

▪ **Datos 4**

```

Posicion Inicial UR3
b'p[-0.375946,-0.42524,-0.0275292,1.57015,0.0679307,-0.0631932]'
Posicion Inicial URe
b'p[-0.610026,-0.267628,0.158732,0.0677682,-1.57016,-0.0631848]'
Posicion Final URe
b'p[-0.610026,-0.007628,0.158732,0.0677682,-1.57016,-0.0631848]'
Posicion Final del UR3 (var_5)
b'p[-0.141809,-0.424525,-0.0471266,1.57015,0.0680022,-0.0633334]'
    
```

Fig63. Cuarta toma de datos de las posiciones con MoveP

Posición Z UR3	Inicial	Final	Desviación
1	-0.027505	-0.0471114	0.0196064
2	-0.0275523	-0.0471387	0.0195864
3	-0.0275573	-0.047128	0.0195707
4	-0.0275292	-0.0471266	0.0195974
Promedio	x	x	0.0195902

Tabla14. Comparación de la posición de UR3 con MoveP

El movimiento que menos desviación provoca en la coordenada Z es el MoveP. Esto se puede deber a que MoveP combina movimientos lineales y circulares y tiene una velocidad constante.

1.7.4. Experimento 3. Movimiento coordinado de dos robots cogiendo un objeto

En esta parte del trabajo se realizan dos experimentos de movimiento coordinado de dos robots colaborativos cogiendo un objeto, uno con dos robots colaborativos UR3e y otro con un robot colaborativo UR3 y UR3e. El objeto en cuestión es una caja de cartón de 200x150x100 mm.

Se realiza el experimento para conocer con qué movimiento se consigue una mejor coordinación de ambos robots, entre MoveL, MoveJ y MoveP, sin que se caiga el objeto y no se produzcan movimientos bruscos.

Para esta parte se ha utilizado el código de Python de movimiento coordinado utilizado en el experimento anterior.

Se ha realizado dos nuevos programas en el Polyscope de cada robot. Ambos se encuentran en el Anexo1.

Cabe recordar que en el UR3 se expresa las coordenadas como XYZ mientras que en el UR3e se expresa como YXZ.

- **Move L**

Se realiza un movimiento en X de 200 mm para desplazar los robots hasta una nueva posición. Con MoveL se realiza correctamente el desplazamiento con la caja, ya que esta no se cae durante el recorrido y llega hasta la posición final.

Al ser el mismo robot, con la misma velocidad en MoveL (60 mm/s de tool speed y 60 mm/s² de tool acceleration) el movimiento es coordinado.

En las siguientes imágenes se puede observar las posiciones de ambos robots mediante el código devuelto de Python. El primer robot UR3 se observa una pequeña desviación tanto en Y como en Z, ya que se debería mantener la posición inicial en ambas coordenadas y se observa un pequeño incremento. En Y se desvía un 0.01m y en Z un 0.02m.

```
Starting Program
Port binded
Client connected
Connection with client
Posicion Inicial UR3
b'p[-0.393886,-0.426969,-0.8516368,1.56564,0.0461657,-0.111243]'
Posicion Inicial URe
b'p[-0.553243,-0.294875,0.136496,1.45724,-1.04326,-1.45418]'
['-0.553243', '-0.294875', '0.136496', '1.45724', '-1.04326', '-1.45418']
Posiciones recibidas del URe
-0.553243
-0.294875
0.136496
Posicion del URe respecto el nuevo sistema de coordenadas
[[-0.307757]
 [-0.378925]
 [-0.044504]
 [ 1.      ]]
Nueva posicion del URe respecto el nuevo sistema de coordenadas
[[-0.307757]
 [-0.578925]
 [-0.044504]
 [ 1.      ]]
Nueva posicion del URe respecto el sistema de coordenadas de la base
[[-0.553243]
 [-0.094075]
 [ 0.136496]
 [ 1.      ]]
POSICION A ENVIAR AL URe
(-0.553243, -0.09407499999999999, 0.136496)
(1.45724, -1.04326, -1.45418)
Data sent 1 URe
Data sent 2 URe
Data sent UR3
```



```
Posicion enviada al URe
b'[3,-0.553243,-0.094075,0.136496][3,1.45724,-1.04326,-1.45418]'
Posicion 2 enviada al URe
b'p[-0.553243,-0.094075,0.136496,1.45724,-1.04326,-1.45418]'
Posicion enviada al UR3
b'[3,200,0,0]p[0.2,0,0,0,0,0]'
Posicion Final URe
b'p[-0.537143,-0.294016,0.0893965,1.45684,-1.04316,-1.4543]'
Posicion recibida en el UR3, var_4
b'p[-0.195064,-0.435278,-0.0716362,1.56564,0.0461657,-0.111243]'
Posicion Final del UR3 (var_5)
b'p[-0.393902,-0.422165,-0.100382,1.56561,0.0463028,-0.111335]'
Program finish
```

Fig64. Código devuelto por Python con movimiento MoveL

A través del siguiente enlace, se puede ver el video de la prueba del movimiento con MoveL:

<https://youtube.com/shorts/kvctmvElzZl>

- **Move J**

Se utiliza un joint speed de 30 °/s y un joint acceleration de 30°/s². Se observa una pequeña desviación tanto en Y con un valor 0.008 como en Z con 0.02 en el UR3.

Con Move J se observa que no es el movimiento ideal para transportar el objeto, ya que con este tipo de movimiento da como resultado una trayectoria curva para la herramienta.

```

Starting Program
Port binded
Client connected
Connection with client
Posicion Inicial UR3
b'p[-0.393864,-0.426973,-0.0516203,1.56565,0.0461934,-0.111188]
Posicion Inicial URe
b'p[-0.553251,-0.29407,0.136618,1.45711,-1.04319,-1.45422]
['-0.553251', '-0.29407', '0.136618', '1.45711', '-1.04319', '-1.45422']
Posiciones recibidas del URe
-0.553251
-0.29407
0.136618
Posicion del URe respecto el nuevo sistema de coordenadas
[[-0.307749]
 [-0.37893 ]
 [-0.044382]
 [ 1.      ]]
Nueva posicion del URe respecto el nuevo sistema de coordenadas
[[-0.307749]
 [-0.57893 ]
 [-0.044382]
 [ 1.      ]]
Nueva posicion del URe respecto el sistema de coordenadas de la base
[[-0.553251]
 [-0.09407 ]
 [ 0.136618]
 [ 1.      ]]
POSICION A ENVIAR AL URe
(-0.553251, -0.09406999999999999, 0.136618)
(1.45711, -1.04319, -1.45422)
Data sent 1 URe
Data sent 2 URe
Data sent UR3
Posicion enviada al URe
b'[3,-0.553251,-0.09407,0.136618][3,1.45711,-1.04319,-1.45422]'
Posicion 2 enviada al URe
b'p[-0.553251,-0.09407,0.136618,1.45711,-1.04319,-1.45422]'
Posicion enviada al UR3
b'[3,200,0,0]p[0.2,0,0,0,0,0]'
Posicion Final URe
b'p[-0.537114,-0.29405,0.0893806,1.45687,-1.04312,-1.45432]'
Posicion recibida en el UR3, var_4
b'p[-0.195039,-0.435271,-0.0716163,1.56565,0.0461934,-0.111188]'
Posicion Final del UR3 (var_5)
b'p[-0.393877,-0.422204,-0.100368,1.5656,0.0463814,-0.111319]'
Program finish
    
```

Fig65. Código devuelto por Python con movimiento MoveJ

A través del siguiente enlace, se puede ver el video de la prueba del movimiento con MoveJ:

<https://youtube.com/shorts/dw7RB7nF4U8>

- **Move P**

Se nota que al llegar al punto final de un movimiento, el cambio de velocidad es más brusco en comparación con los otros movimientos, y se puede escuchar el freno de la articulación por haber llegado al punto. Se puede observar en los videos, como con MoveP si se puede realizar el movimiento coordinado con un objeto, ya que no realiza tanta desviación y el objeto llega hasta la posición final.

Se realizan dos experimentos, con el *Blend with radius* de 5 mm y de 2 mm.

```

Starting Program
Port binded
Client connected
Connection with client
Posicion Inicial UR3
b'p[-0.393917,-0.426461,-0.0566917,1.56563,0.0462874,-0.111379]'
Posicion Inicial URe
b'p[-0.553257,-0.29404,0.131559,1.45714,-1.04328,-1.45425]'
['-0.553257', '-0.29404', '0.131559', '1.45714', '-1.04328', '-1.45425']
Posiciones recibidas del URe
-0.553257
-0.29404
0.131559
Posicion del URe respecto el nuevo sistema de coordenadas
[[-0.307743]
 [-0.37896 ]
 [-0.049441]
 [ 1.      ]]
Nueva posicion del URe respecto el nuevo sistema de coordenadas
[[-0.307743]
 [-0.57896 ]
 [-0.049441]
 [ 1.      ]]
Nueva posicion del URe respecto el sistema de coordenadas de la base
[[-0.553257]
 [-0.09404 ]
 [ 0.131559]
 [ 1.      ]]
POSICION A ENVIAR AL URe
(-0.553257, -0.09404000000000001, 0.131559)
(1.45714, -1.04328, -1.45425)
Data sent 1 URe
Data sent 2 URe
Data sent UR3

Posicion enviada al URe
b'[3,-0.553257,-0.09404,0.131559][3,1.45714,-1.04328,-1.45425]'
Posicion 2 enviada al URe
b'p[-0.553257,-0.09404,0.131559,1.45714,-1.04328,-1.45425]'
Posicion enviada al UR3
b'[3,200,0,0]p[0.2,0,0,0,0]'
Posicion Final URe
b'p[-0.535759,-0.289302,0.0905244,1.45696,-1.0432,-1.45436]'
Posicion recibida en el UR3, var_4
b'p[-0.195097,-0.434772,-0.0767238,1.56563,0.0462874,-0.111379]'
Posicion Final del UR3 (var_5)
b'p[-0.388897,-0.422476,-0.0996884,1.56564,0.0461376,-0.111269]'
Program finish
    
```

Fig66. Código devuelto por Python con movimiento MoveP y 5mm de radio

A través del siguiente enlace, se puede ver el video de la prueba del movimiento con MoveP y radio 5mm:

<https://youtube.com/shorts/c6mQWAQJ1Wg>

- Con 2 mm

```

Starting Program
Port binded
Client connected
Connection with client
Posicion Inicial UR3
b'p[-0.39387,-0.426968,-0.0537698,1.56565,0.0462791,-0.111238]'
Posicion Inicial URe
b'p[-0.55327,-0.294047,0.134515,1.45706,-1.04323,-1.4543]'
['-0.55327', '-0.294047', '0.134515', '1.45706', '-1.04323', '-1.4543']
Posiciones recibidas del URe
-0.55327
-0.294047
0.134515
Posicion del URe respecto el nuevo sistema de coordenadas
[[-0.30773 ]
 [-0.378953]
 [-0.046485]
 [ 1.      ]]
Nueva posicion del URe respecto el nuevo sistema de coordenadas
[[-0.30773 ]
 [-0.578953]
 [-0.046485]
 [ 1.      ]]
Nueva posicion del URe respecto el sistema de coordenadas de la base
[[-0.55327 ]
 [-0.094047]
 [ 0.134515]
 [ 1.      ]]
POSICION A ENVIAR AL URe
(-0.55327, -0.09404699999999999, 0.134515)
(1.45706, -1.04323, -1.4543)
Data sent 1 URe
Data sent 2 URe
Data sent UR3
Posicion enviada al URe
b'[3,-0.55327,-0.094047,0.134515][3,1.45706,-1.04323,-1.4543]'
Posicion 2 enviada al URe
b'p[-0.55327,-0.094047,0.134515,1.45706,-1.04323,-1.4543]'
Posicion enviada al UR3
b'[3,200,0,0]p[0.2,0,0,0,0,0]'
Posicion Final URe
b'p[-0.536537,-0.292177,0.0898204,1.45691,-1.04314,-1.45428]'
Posicion recibida en el UR3, var_4
b'p[-0.195047,-0.435262,-0.073783,1.56565,0.0462791,-0.111238]'
Posicion Final del UR3 (var_5)
b'p[-0.391765,-0.4223,-0.100221,1.56568,0.0459438,-0.110941]'
Program finish
    
```

Fig67. Código devuelto por Python con movimiento MoveP y 2mm de radio

A través del siguiente enlace, se puede ver el video de la prueba del movimiento con MoveP y radio de 2 mm:

<https://youtube.com/shorts/3fWKTHWSyNI>

Con 5mm de blend se observa una desviación en el UR3 en Y de 0.008 m y en Z de 0.02 m.

Con 2mm de blend se observa una desviación en el UR3 en Y de 0.009 m y en Z de 0.02 m.

1.7.5. Experimento 4. Funcion `get_target_tcp_pose`

En este experimento se va a utilizar la función `get_target_tcp_pose()` para obtener la posición del robot y comparar así con la función utilizada en el resto de programas que es `get_actual_tcp_pose()`. En esta comparación de ambas funciones se quiere comprobar la exactitud al enviar la posición con cada función.

Esta función devuelve las 6 dimensiones que representan la posición y la orientación de la herramienta, especificadas en el marco de la base. El cálculo de esta *pose* se basa en las posiciones articulares objetivo actuales. Mientras que con la función de `get_actual_tcp_pose` el cálculo de la pose se basa en las lecturas reales del codificador del robot.

Para ello se va a realizar 3 pruebas, una por cada movimiento de MoveL, MoveJ y MoveP.

- Move L

```

Starting Program
Port binded
Client connected
Connection with client
Posicion Inicial UR3
b'p[-0.393879,-0.426972,-0.0516088,1.56564,0.0461828,-0.111231]'
Posicion Inicial URe
b'p[-0.553249,-0.294078,0.136623,1.45709,-1.04321,-1.45422]'
['-0.553249', '-0.294078', '0.136623', '1.45709', '-1.04321', '-1.45422']
Posiciones recibidas del URe
-0.553249
-0.294078
0.136623
Posicion del URe respecto el nuevo sistema de coordenadas
[[-0.307751]
 [-0.378922]
 [-0.044377]
 [ 1.      ]]
Nueva posicion del URe respecto el nuevo sistema de coordenadas
[[-0.307751]
 [-0.578922]
 [-0.044377]
 [ 1.      ]]
Nueva posicion del URe respecto el sistema de coordenadas de la base
[[-0.553249]
 [-0.094078]
 [ 0.136623]
 [ 1.      ]]
POSICION A ENVIAR AL URe
(-0.553249, -0.094078, 0.136623)
(1.45709, -1.04321, -1.45422)
Data sent 1 URe
Data sent 2 URe
Data sent UR3

Posicion enviada al URe
b'[3,-0.553249,-0.094078,0.136623][3,1.45709,-1.04321,-1.45422]'
Posicion 2 enviada al URe
b'p[-0.553249,-0.094078,0.136623,1.45709,-1.04321,-1.45422]'
Posicion enviada al UR3
b'[3,200,0,0]p[0.2,0,0,0,0]'
Posicion Final URe
b'p[-0.537086,-0.294067,0.0893065,1.45708,-1.04319,-1.45426]'
Posicion recibida en el UR3, var_4
b'p[-0.195055,-0.435277,-0.0716089,1.56564,0.0461828,-0.111231]'
Posicion Final del UR3 (var_5)
b'p[-0.393863,-0.422151,-0.100453,1.56566,0.0460854,-0.111118]'
Program finish
    
```

Fig68. Código devuelto por Python con movimiento MoveL

A través del siguiente enlace, se puede ver el video de la prueba del movimiento con MoveL:

<https://youtube.com/shorts/7iyB9WSmAKs>

- Move J

```

Starting Program
Port binded
Client connected
Connection with client
Posicion Inicial UR3
b'p[-0.393879,-0.426972,-0.0516088,1.56564,0.0461828,-0.111231]'
Posicion Inicial URe
b'p[-0.553249,-0.294078,0.136623,1.45709,-1.04321,-1.45422]'
['-0.553249', '-0.294078', '0.136623', '1.45709', '-1.04321', '-1.45422']
Posiciones recibidas del URe
-0.553249
-0.294078
0.136623
Posicion del URe respecto el nuevo sistema de coordenadas
[[-0.307751]
 [-0.378922]
 [-0.044377]
 [ 1.      ]]
Nueva posicion del URe respecto el nuevo sistema de coordenadas
[[-0.307751]
 [-0.378922]
 [-0.044377]
 [ 1.      ]]
Nueva posicion del URe respecto el sistema de coordenadas de la base
[[-0.553249]
 [-0.094078]
 [ 0.136623]
 [ 1.      ]]
POSICION A ENVIAR AL URe
(-0.553249, -0.094078, 0.136623)
(1.45709, -1.04321, -1.45422)
Data sent 1 URe
Data sent 2 URe
Data sent UR3

Posicion enviada al URe
b'[3,-0.553249,-0.094078,0.136623][3,1.45709,-1.04321,-1.45422]'
Posicion 2 enviada al URe
b'p[-0.553249,-0.094078,0.136623,1.45709,-1.04321,-1.45422]'
Posicion enviada al UR3
b'[3,200,0,0]p[0.2,0,0,0,0,0]'
Posicion Final URe
b'p[-0.537086,-0.294067,0.0893066,1.45708,-1.04319,-1.45426]'
Posicion recibida en el UR3, var_4
b'p[-0.195055,-0.435277,-0.0716089,1.56564,0.0461828,-0.111231]'
Posicion Final del UR3 (var_5)
b'p[-0.393863,-0.422151,-0.100453,1.56566,0.0460854,-0.111118]'
Program finish
    
```

Fig69. Código devuelto por Python con movimiento MoveJ

A través del siguiente enlace, se puede ver el video de la prueba del movimiento con MoveJ:

<https://youtube.com/shorts/4leg2tpXhUg>

- **Move P 5mm**

```

Starting Program
Port binded
Client connected
Connection with client
Posicion Inicial UR3
b'p[-0.393877,-0.426471,-0.0566865,1.56565,0.0461755,-0.111223]'
Posicion Inicial URe
b'p[-0.55325,-0.294078,0.131622,1.45709,-1.04321,-1.45422]'
['-0.55325', '-0.294078', '0.131622', '1.45709', '-1.04321', '-1.45422']
Posiciones recibidas del URe
-0.55325
-0.294078
0.131622
Posicion del URe respecto el nuevo sistema de coordenadas
[[-0.30775 ]
 [-0.378922]
 [-0.049378]
 [ 1.      ]]
Nueva posicion del URe respecto el nuevo sistema de coordenadas
[[-0.30775 ]
 [-0.578922]
 [-0.049378]
 [ 1.      ]]
Nueva posicion del URe respecto el sistema de coordenadas de la base
[[-0.55325 ]
 [-0.094078]
 [ 0.131622]
 [ 1.      ]]
POSICION A ENVIAR AL URe
(-0.55325, -0.094078, 0.131622)
(1.45709, -1.04321, -1.45422)
Data sent 1 URe
Data sent 2 URe
Data sent UR3

Posicion enviada al URe
b'[3,-0.55325,-0.094078,0.131622][3,1.45709,-1.04321,-1.45422]'
Posicion 2 enviada al URe
b'p[-0.55325,-0.094078,0.131622,1.45709,-1.04321,-1.45422]'
Posicion enviada al UR3
b'[3,200,0,0]p[0.2,0,0,0,0,0]'
Posicion Final URe
b'p[-0.535752,-0.289373,0.0904153,1.45709,-1.04319,-1.45426]'
Posicion recibida en el UR3, var_4
b'p[-0.195053,-0.434776,-0.0766846,1.56565,0.0461755,-0.111223]'
Posicion Final del UR3 (var_5)
b'p[-0.388855,-0.422472,-0.0998266,1.56566,0.0460877,-0.111121]'
Program finish
    
```

Fig70. Codigo devuelto por Python con movimiento MoveP

A traves del siguiente enlace, se puede ver el video de la prueba del movimiento con MoveP y radio de 5 mm:

<https://youtube.com/shorts/f8AF7f6Pih4>

- **Move P 2 mm**

```

Starting Program
Port binded
Client connected
Connection with client
Posicion Inicial UR3
b'p[-0.393878,-0.426972,-0.0537248,1.56565,0.0461803,-0.111228]'
Posicion Inicial URe
b'p[-0.55325,-0.294078,0.134533,1.45709,-1.04321,-1.45422]'
['-0.55325', '-0.294078', '0.134533', '1.45709', '-1.04321', '-1.45422']
Posiciones recibidas del URe
-0.55325
-0.294078
0.134533
Posicion del URe respecto el nuevo sistema de coordenadas
[[-0.30775 ]
 [-0.378922]
 [-0.046467]
 [ 1.      ]]
Nueva posicion del URe respecto el nuevo sistema de coordenadas
[[-0.30775 ]
 [-0.578922]
 [-0.046467]
 [ 1.      ]]
Nueva posicion del URe respecto el sistema de coordenadas de la base
[[-0.55325 ]
 [-0.094078]
 [ 0.134533]
 [ 1.      ]]
POSICION A ENVIAR AL URe
(-0.55325, -0.094078, 0.134533)
(1.45709, -1.04321, -1.45422)
Data sent 1 URe
Data sent 2 URe
Data sent UR3

Posicion enviada al URe
b'[3,-0.55325,-0.094078,0.134533][3,1.45709,-1.04321,-1.45422]'
Posicion 2 enviada al URe
b'p[-0.55325,-0.094078,0.134533,1.45709,-1.04321,-1.45422]'
Posicion enviada al UR3
b'[3,200,0,0]p[0.2,0,0,0,0,0]'
Posicion Final URe
b'p[-0.536529,-0.292105,0.0897699,1.45709,-1.04319,-1.45426]'
Posicion recibida en el UR3, var_4
b'p[-0.195054,-0.435277,-0.0737241,1.56565,0.0461803,-0.111228]'
Posicion Final del UR3 (var_5)
b'p[-0.391852,-0.422284,-0.100178,1.56566,0.0460863,-0.111119]'
Program finish
    
```

Fig71. Código devuelto por Python con movimiento MoveP

A través del siguiente enlace, se puede ver el video de la prueba del movimiento con MoveP y radio de 2mm:

<https://youtube.com/shorts/HQC7-ldxxCI>

Desviaciones	Get_actual_tcp_pose		Get_target_tcp_pose	
	Y	Z	Y	Z
MoveL	0.01	0.02	0.0083	0.02
MoveJ	0.008	0.02	0.0083	0.02
MoveP (5mm)	0.008	0.02	0.0083	0.02
MoveP (2mm)	0.008	0.02	0.0083	0.02

Tabla 15. Comparación desviaciones de las dos funciones anteriores

Se observa en la tabla comparativa como ambas funciones son similares ya que realizan el mismo movimiento provocando la misma desviación.

1.7.6. Experimento 5: Comunicación por Modbus

En este experimento se ha probado la comunicación por Modbus propia de los UR. Primero se ha probado un movimiento coordinado con un robot UR3 y un robot UR3e. Y posteriormente un movimiento coordinado con dos robots UR3e

Para realizar la comunicación por Modbus primero se tiene que configurar el Modbus en cada robot. En el UR3 se configura el MODBUS_5 con la IP del UR3e que es la 192.168.1.50 y la dirección 128.

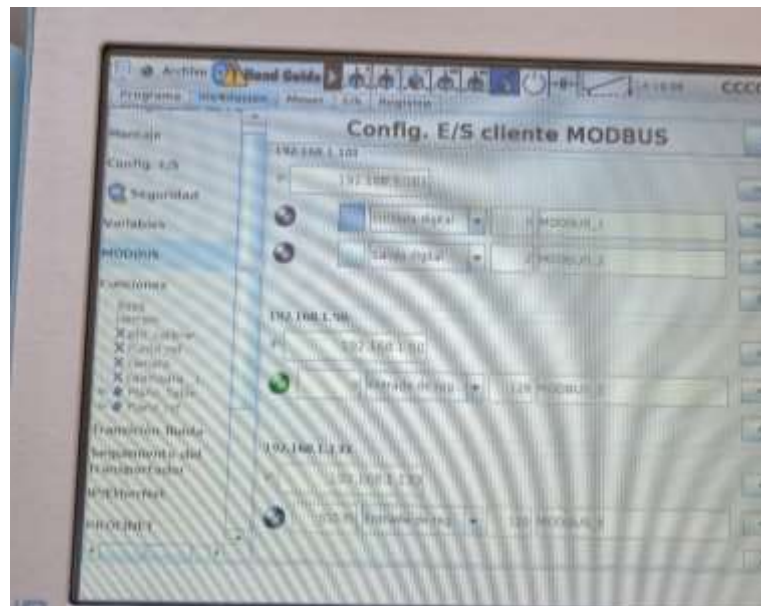


Fig72. Pantalla configuración Modbus UR3

En el UR3e se configura el MODBUS_4 con la IP del UR3 que es la 192.168.1.152 y la dirección 128.

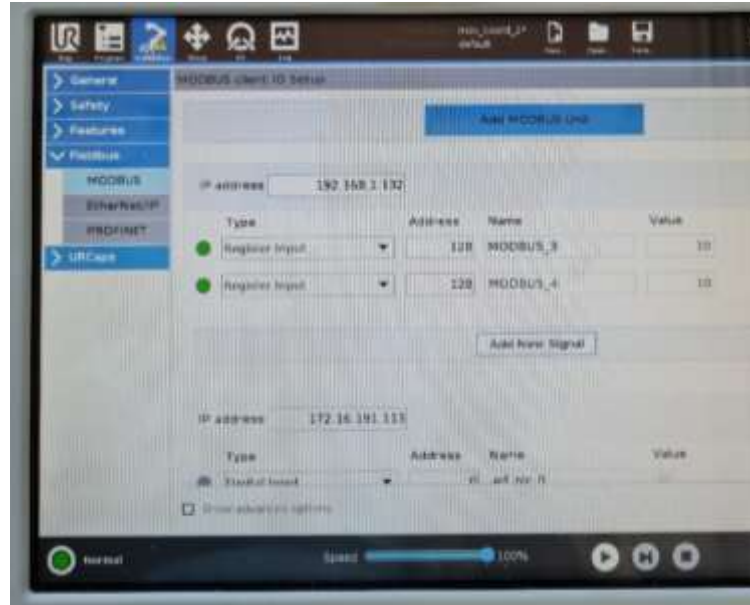


Fig73. Pantalla configuración Modbus UR3e

Posteriormente se realiza el código en el Polyscope de cada robot, las funciones que se van a utilizar son `write_port_register ()` y la función `wait`.

`Write_port_register` escribe en uno de los puertos, a lo que también pueden acceder los clientes Modbus, tiene dos argumentos, la dirección del puerto y el valor a configurar en el puerto (del 0 al 65536 o del -32768 al 32768).

En el código del robot UR3e se programa el robot para que antes de iniciar se escriba en el puerto 128 el valor de 0, así saber el valor de ambos puertos. Una vez iniciado el programa se escribe en el puerto el valor 50, se realiza un movimiento pero antes se espera a que el Modbus4 sea de valor 10. Posteriormente se produce una espera de 1 segundo, se escribe en el puerto el valor 0 y se espera hasta que el Modbus4, es decir el otro robot también escriba un 0, el cual indicara que ha realizado el movimiento. Por último se realiza un segundo movimiento y su correspondiente espera.

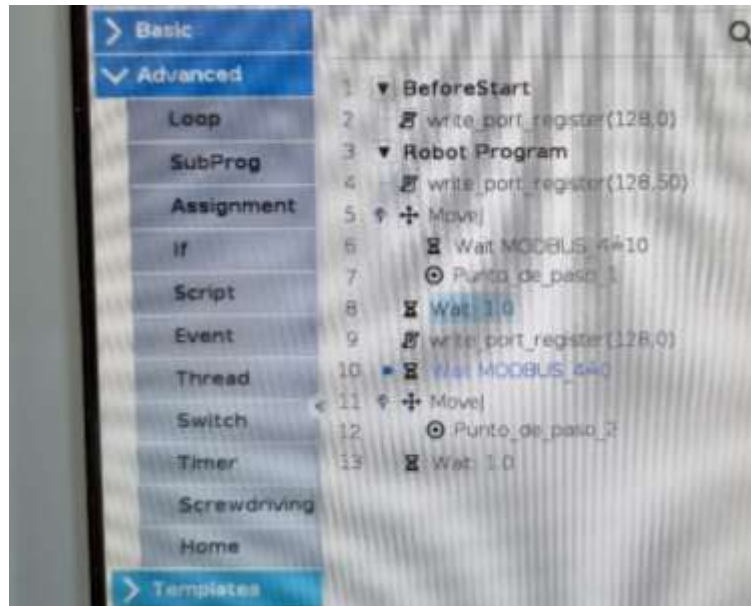


Fig74. Código Polyscope programa basico en UR3e

En el UR3 se realiza la misma estructura y funciones anteriores. Primero se escribe en el puerto un 0 antes de iniciar el programa. En el programa se escribe en el puerto un 10 y se realiza un movimiento antes se espera a que el Modbus5, es decir el otro robot, haya escrito un 50 en el puerto. Despues se realiza una espera y se vuelve a escribir 0 en el puerto y se espera hasta que el Modbus5 tambien valga 0, asi por ultimo se realiza un segundo movimiento.

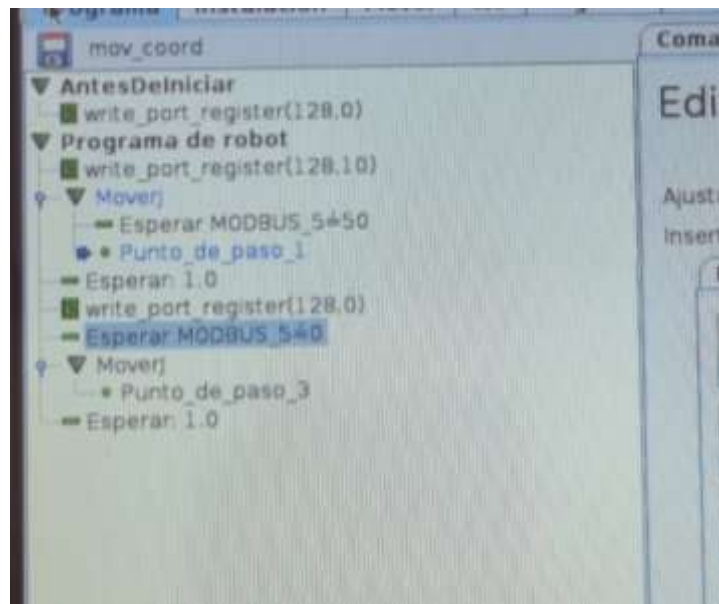


Fig75. Código Polyscope programa basico en UR3

En la segunda parte del experimento se a probado con dos robots UR3e, en este caso ya se realiza un codigo mas completo que implica mas movimientos.

Se configura el Modbus en el primer robot UR3e con la dirección IP del otro robot, que es la 192.168.1.49 y dirección 128.



Fig76. Pantalla configuración Modbus UR3e maestro

Se procede de la misma manera para el segundo robot UR3e donde la dirección IP del otro robot es la 192.168.1.50, y la dirección la 128.

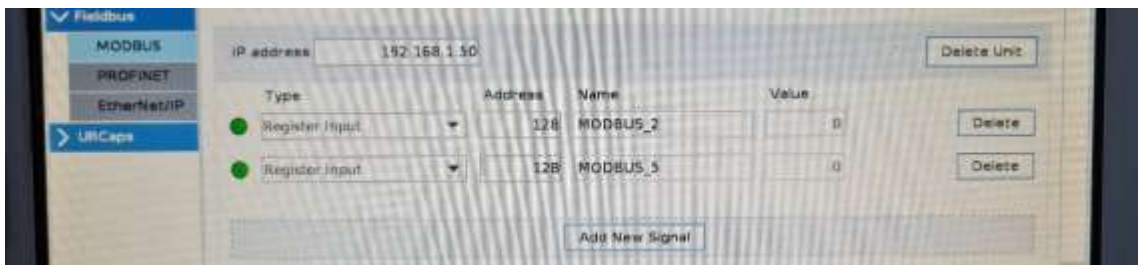


Fig77. Pantalla configuración Modbus UR3e esclavo

Se realiza un código en ambos robots, este será un poco más complejo ya que se realizara un movimiento coordinado con un objeto. Por lo que el primer movimiento será un acercamiento a la caja colocándose en medio de esta, el segundo movimiento será el de realizar una pequeño movimiento para sujetar la caja, el tercer movimiento será el de elevación de la misma y el cuarto será el transporte de esta. El UR3e de la derecha tendrá un movimiento adicional que será el de separarse y así dejar caer la caja en la posición final. Finalmente ambos robots volverán a su posición inicial.

En la siguiente imagen se puede observar el código de polyscope desarrollado en cada robot, en el robot maestro se ha realizado el código situado a la izquierda y el esclavo el situado a la derecha.

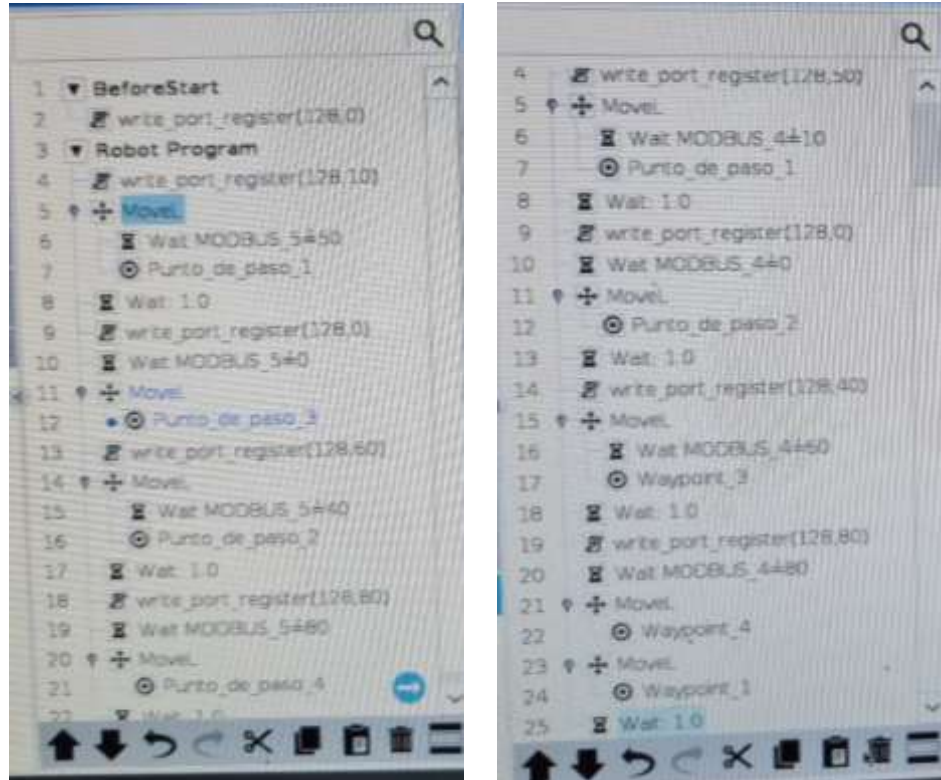


Fig78. Código Polyscope para movimiento coordinado con Modbus

A través del siguiente enlace, se puede ver el video de la prueba del movimiento utilizando la comunicación por Modbus:

<https://youtube.com/shorts/PRHIVh1XYZc?feature=share>

Se puede observar como realiza correctamente la trayectoria en ambos, esperando cada robot que el otro llegue a la posición indicada, para así llevar esa coordinación.

1.7.7. Experimento 6: Control bucle interior, bucle exterior

El control por bucle interior- exterior permite diseñar el sistema de control en dos etapas diferenciadas y con objetivos distintos, primero se utiliza el lazo interior que esta implementado por el fabricante del robot , es un control cerrado y limitado y hay muchas cosas que no se pueden realizar se utiliza para mover el robot siguiendo una posición o velocidad de referencia y corrigiendo los efectos de las fricciones y posteriormente se diseña el lazo exterior de control por velocidad con un regulador proporcional.

Una cosa buena es que utiliza todo lo que ha hecho el fabricante, como la dinámica y la cinemática.

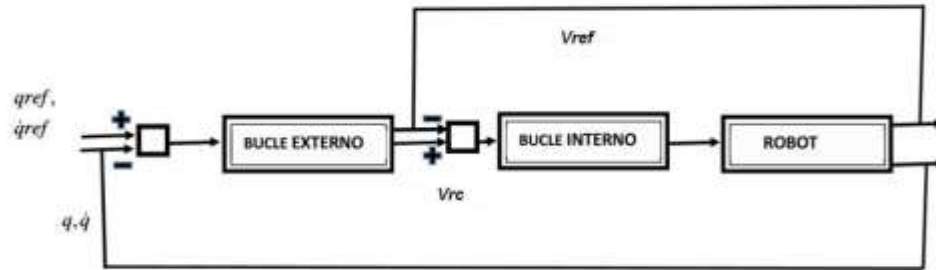


Fig79. Esquema control por bucle interior-exterio

El bucle interior, el implementado en el propio robot, no se sabe cómo puede ser, para ello se realizara posteriormente una toma de datos de un movimiento, se guardan tanto las posiciones como las velocidades de las articulaciones y así observar que generador de trayectoria utiliza.

- **Speed L**

Se realiza el siguiente experimento probando la función de speedL.

La función **speedL(xd, a, t, aRot='a')**, sirve para definir la velocidad de la herramienta. Acelera linealmente en el espacio cartesiano y continuo con una velocidad de herramienta constante. El tiempo t es opcional, si se proporciona, la función volverá después del tiempo t independientemente de que se haya alcanzado la velocidad objetivo. Si no se proporciona t, la función volverá cuando se alcance la velocidad objetivo.

xd -> velocidad de la herramienta [m/s] (vector espacial)

a -> aceleración de la posición de la herramienta [m/s²]

t -> tiempo [s] antes de que regrese a la función (opcional)

aRot -> aceleración de la herramienta, si no se define, se utiliza la aceleración de la posición.

- **Posición**

Se realiza un primer experimento donde se tiene el código anterior realizado en Python. En él, se recibe las posiciones actuales del maestro y del esclavo después para tener el mismo sistema de coordenadas de referencia se pasa la posición del esclavo al sistema de referencia del maestro. Así se calcula el error de posición en el mismo sistema de referencia. Una vez calculado el error este es multiplicado por una matriz de ganancias obteniendo así las velocidades de referencia.

Estas velocidades, se convierten al sistema de coordenadas del esclavo para que pueda realizar el seguimiento a través de un speedL. Se comprueba que al realizar el experimento el esclavo no puede alcanzar la posición final debido a las limitaciones que puede presentar el comando speedL y que puede aparecer mayor error al realizar una doble transformación del sistema de coordenadas.

Se efectúa un segundo experimento donde se hace una sola conversión del sistema de coordenadas. Una vez recibidas las posiciones de los robots, se transforman la posición del maestro a las coordenadas de la base del esclavo.

```
A = np.array([[0, -1, 0, -0.769], [1, 0, 0, 0.094], [0, 0, 1, 0.186], [0, 0, 0, 1]])
B = np.array([[p01], [p02], [p03], [1]])

T = np.dot(A, B)
print("Posicion del UR3 respecto el nuevo sistema de coordenadas")
print(T)
p11 = (float(T[0]))
p22 = (float(T[1]))
p33 = (float(T[2]))
```

Fig80. Código Python matriz de transformación

Se recibe las posiciones esclavo y se calcula el error:

```
print("Posiciones recibidas del URe")
print(p1)
print(p2)
print(p3)

print("Errores")
e_x = p11 - p1
e_y = p22 - p2
e_z = p33 - p3
C = np.array([[e_x], [e_y], [e_z]])
print(C)
```

Fig81. Código Python cálculo de errores

Se calcula la velocidad de referencia multiplicando el error previamente calculado por una matriz de ganancias:

```
kpx = 1
kpy = 1
kpz = 1
Kp = np.array([[kpx, 0, 0], [0, kpy, 0], [0, 0, kpz]])
Vref = np.dot(Kp, C)
print("Vref")
print(Vref)

v1 = (float(Vref[0]))
v2 = (float(Vref[1]))
v3 = (float(Vref[2]))
```

Fig82. Código Python cálculo velocidad de referencia

Por ultimo estas velocidades son pasadas a una string y luego se envían mediante la función send:

```
VEL = (v1, v2, v3)
VEL1 = str(VEL)
print("POSICION A ENVIAR AL URe")
print(VEL1)

d.send(VEL1.encode())
print("Data sent URe")
```

Fig83. Código Python dato a enviar

Se comprueba que al fijar el Maestro en una posición, el esclavo se coloca en la misma posición al cabo de unos segundos.

También se realiza un seguimiento, donde se lleva a cabo un movimiento del maestro y se verifica que el esclavo lo sigue. Al realizar el experimento se observa que el movimiento es correcto pero hay mucho tiempo entre el movimiento del maestro y el movimiento del esclavo.

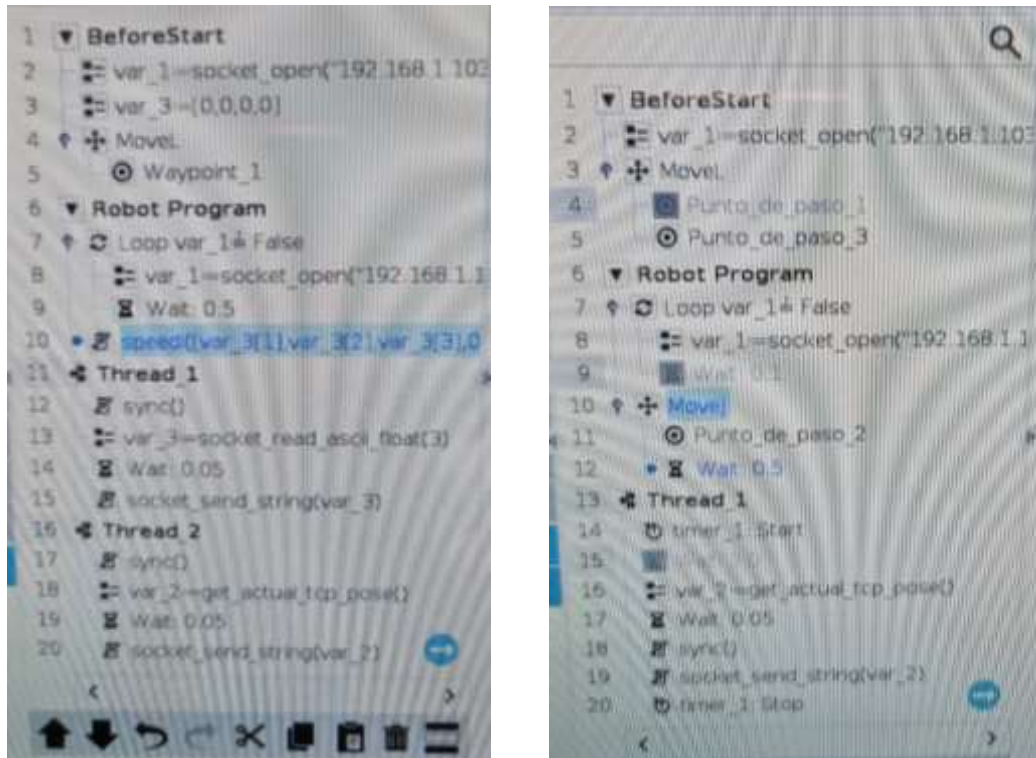
Para ello se realiza un nuevo código en Polyscope donde se utiliza los Threads para realizar un envío de datos y un recibimiento de datos continuo.

Los threads o hilos son partes del código que se ejecutan cada periodo de muestreo, estos hilos también se puede programar como subprogramas del código principal.

Cada vez que se programa un subproceso, puede usar una parte de su intervalo de tiempo ejecutando instrucciones que controlan el robot o puede ejecutar instrucciones que no controlan el robot y por lo tanto no utiliza ningún tiempo físico.

En el Polyscope del maestro se realiza un Thread el cual envía la posición cada periodo de muestreo. En el polyscope del esclavo se realizan dos Threads, uno para enviar la posición del robot y otro para recibir la velocidad de referencia que se le debe pasar al comando SpeedL.

El código del UR3e maestro seria el código de la derecha, mientras que el código del esclavo es el de la izquierda.



```

1  ▼ BeforeStart
2  var_1=socket_open("192.168.1.103")
3  var_3=(0,0,0,0)
4  MoveL
5  Waypoint_1
6  ▼ Robot Program
7  Loop var_1= False
8  var_1=socket_open("192.168.1.103")
9  Wait: 0.5
10 speed(var_3[1],var_3[2],var_3[3],0)
11 Thread_1
12 sync()
13 var_3=socket_read_esol_float(3)
14 Wait: 0.05
15 socket_send_string(var_3)
16 Thread_2
17 sync()
18 var_2=get_actual_tcp_pose()
19 Wait: 0.05
20 socket_send_string(var_2)

1  ▼ BeforeStart
2  var_1=socket_open("192.168.1.103")
3  MoveL
4  Punto_de_paso_1
5  Punto_de_paso_3
6  ▼ Robot Program
7  Loop var_1= False
8  var_1=socket_open("192.168.1.103")
9  Wait: 0.1
10 MoveL
11 Punto_de_paso_2
12 Wait: 0.5
13 Thread_1
14 timer_1.Start
15 sync()
16 var_2=get_actual_tcp_pose()
17 Wait: 0.05
18 sync()
19 socket_send_string(var_2)
20 timer_1.Stop
    
```

Fig84. Código Polyscope para el control por bucle interior-externo

A través del siguiente enlace, se puede ver el video de la prueba del movimiento con MoveJ y SpeedL

<https://youtube.com/shorts/ciuz5cfi8yE?feature=share>

Se puede observar como realiza correctamente el seguimiento el esclavo sobre el maestro, realizando la misma trayectoria, pero también se observa un pequeño retraso en él. Esto es debido a que el tiempo de muestreo es alto.

Por otra parte se comprueba que el tiempo de muestreo de 50ms elegido es el correcto, ya que con un tiempo menor da problemas de comunicación

Se certifica que se puede enviar cada 50ms ya que en el Polyscope de los robots hace falta un pequeño Wait y/o el comando sync(). Al probar con un tiempo menor se observa que hay pérdidas y solapamiento de datos al recibirlos por Python.

Se ejecuta una pequeña prueba, primero se realiza un código con solo el comando sync() **sin ningún wait (espera)**, posteriormente con 0.05s de espera y por último con 0.02s de espera.

```

Client connected
Connection with client
Posicion Inicial UR3
b'p[-0.231993,-0.323029,-0.0387971,1.21585,1.27995,-1.26631]'
Posicion Inicial URe
b'p[-0.330225,-0.148141,0.148809,0.0868735,-1.55849,-0.123668]p[-0.33023,-0.148138,0.148806,0.0868754,-1.55851,-0.123725]
['-0.231993', '-0.323029', '-0.0387971', '1.21585', '1.27995', '-1.26631']
Posiciones recibidas del UR3
-0.231993
-0.323029
-0.0387971
POSICION A ENVIAR AL URe
(-0.231993, -0.323029, -0.0387971)
Data sent URe
['-0.330225', '-0.148141', '0.148809', '0.0868735', '-1.55849', '-0.123668]p[-0.33023', '-0.148138', '0.148806', '0.0868754', '-1.55851', '-0.123725]
Posiciones recibidas del URe
-0.330225
-0.148141
0.148809
Posicion enviada al URe
b'8126,0.148795,0.086824,-1.55855,-0.123726]p[-0.33023,-0.148129,0.148812,0.0868048,-1.55847,-0.123732]p[-0.330232,-0.148129,0.148812,0.0868048,-1.55847,-0.123732]
Tiempo de ejecución
0.003999233245849609

Posicion Inicial UR3
b'p[-0.231999,-0.323027,-0.0387917,1.21582,1.27995,-1.26642]'
Posicion Inicial URe
b'0868367,-1.55857,-0.12368]p[-0.330217,-0.148131,0.14879,0.0868445,-1.55856,-0.123745]p[-0.330229,-0.148129,0.148812,0.0868048,-1.55847,-0.123732]
['-0.231999', '-0.323027', '-0.0387917', '1.21582', '1.27995', '-1.26642']
Posiciones recibidas del UR3
-0.231999
-0.323027
-0.0387917
POSICION A ENVIAR AL URe
(-0.231999, -0.323027, -0.0387917)
Data sent URe
['0868367', '-1.55857', '-0.12368]p[-0.330217', '-0.148131', '0.14879', '0.0868445', '-1.55856', '-0.123745]p[-0.330229', '-0.148129,0.148812,0.0868048,-1.55847,-0.123732]

```

Fig85. Respuesta a la prueba con ninguna espera

Con ningún wait se puede observar como hay solapamiento y una pérdida de datos al recibir las posiciones de los robots.

Con **0.05s de espera**, se puede observar como no hay solapamiento de datos ni ninguna perdida.

```
C:\RoboDK\Python37\python.exe C:/Users/RAUALSA/Desktop/Ultimo_Experimento/Prueba_tiempo.py
Starting Program
Port binded
Client connected
Connection with client
Posicion Inicial UR3
b'p[-0.231991,-0.323019,-0.0387958,1.21582,1.27995,-1.26634]p[-0.231988,-0.323019,-0.0387975
Posicion Inicial URe
b'p[-0.330225,-0.148151,0.148798,0.0868904,-1.55848,-0.123666]'
['-0.231991', '-0.323019', '-0.0387958', '1.21582', '1.27995', '-1.26634p[-0.231988', '-0.323
Posiciones recibidas del UR3
-0.231991
-0.323019
-0.0387958
POSICION A ENVIAR AL URe
(-0.231991, -0.323019, -0.0387958)
Data sent URe
['-0.330225', '-0.148151', '0.148798', '0.0868904', '-1.55848', '-0.123666']
Posiciones recibidas del URe
-0.330225
-0.148151
0.148798
Posicion enviada al URe
b'[3,-0.231991,-0.323019,-0.0387958]'
Tiempo de ejecución
0.05501055717468262
```

Fig86. Respuesta a la prueba con 0.05s de espera

Con 0.02 segundos de espera tampoco se observa ninguna pérdida de datos, como se puede ver en la siguiente imagen, pero este ha sido un código más reducido por lo que al tener el resto más tiempo de ejecución se ha optado por usar un tiempo de 0.05 segundos.

```

C:\RoboDK\Python37\python.exe C:/Users/RAUALSA/Desktop/Ultimo_Experimento/Prueba_tiempo.py
Starting Program
Port binded
Client connected
Connection with client
Posicion Inicial UR3
b'p[-0.231981,-0.323028,-0.038795,1.21575,1.28,-1.26632]'
Posicion Inicial URe
b'p[-0.330227,-0.148131,0.148803,0.0868437,-1.55848,-0.123714]p[-0.330221,-0.148138,0.148783
['-0.231981', '-0.323028', '-0.038795', '1.21575', '1.28', '-1.26632']
Posiciones recibidas del UR3
-0.231981
-0.323028
-0.038795
POSICION A ENVIAR AL URe
(-0.231981, -0.323028, -0.038795)
Data sent URe
['-0.330227', '-0.148131', '0.148803', '0.0868437', '-1.55848', '-0.123714]p[-0.330221', '-0.
Posiciones recibidas del URe
-0.330227
-0.148131
0.148803
Posicion enviada al URe
b'[3,-0.231981,-0.323028,-0.038795]'
Tiempo de ejecución
0.01699042320251465
  
```

Fig87. Respuesta a la prueba con 0.02s de espera

- **Fuerza**

Se realiza una lectura de fuerzas, mediante la función `get_tcp_force`.

Devuelve la torsión (vector Fuerza/Par) en el TCP. La función devuelve **p [Fx(N), Fy(N), Fz(N), TRx(Nm), TRy(Nm), TRz(Nm)]** donde Fx, Fy y Fz son las fuerzas en los ejes del sistema de coordenadas de la base del robot medidas en Newton y TRx, TRy y Trz son los pares alrededor de los ejes medidos en Newton-metro. La torsión medida se compensa por las fuerzas y pares causados por la carga útil.

Esta fuerza se envía al ordenador (Python) mediante la comunicación por socket y se muestra por pantalla.

Se realiza además un control de Fuerza en el esclavo para poder sujetar el objeto, para ello se mide la fuerza en x y se establece una fuerza de referencia entre 0.5 y 1N, se calcula el error de la Fuerza en x y se multiplica por la matriz proporcional para hallar la velocidad de referencia.

Se utiliza el mismo código que en el apartado de posición, menos por una base de cambios. Dicho código, se encuentra en el Anexo1.

A través del siguiente enlace, se puede ver el video del control de fuerza en x:

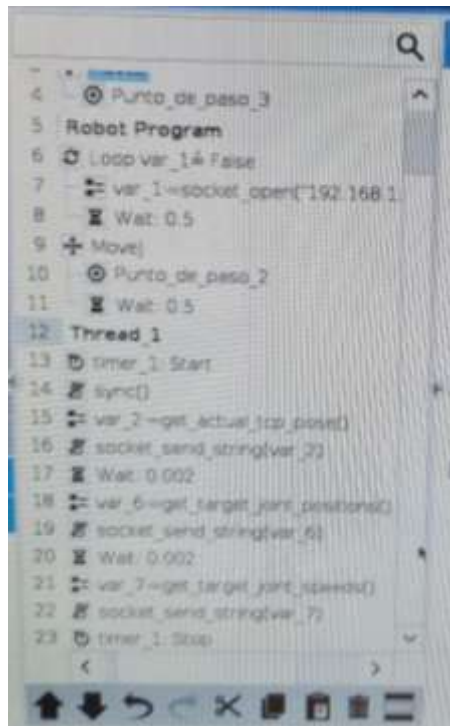
<https://youtube.com/shorts/1dUjpsfcoD4?feature=share>

- **Con base de datos**

La ejecución del programa no se puede realizar más rápido que unos 40-50 ms, esto puede provocar una mayor diferencia entre el maestro y el esclavo al realizar un movimiento coordinado.

Para ello se ha realizado un nuevo experimento, donde primero se guardaran las posiciones de un determinado movimiento en un archivo csv.

A continuación se encuentra el código realizado para guardar las posiciones del maestro en Polyscope:



```
4  Punto de paso_3
5  Robot Program
6  Loop var_14 Fase
7  var_1=socket_open("192.168.1.
8  Wait: 0.5
9  Move)
10 Punto de paso_2
11 Wait: 0.5
12 Thread_1
13 timer_1 Start
14 Sync()
15 var_2=get_actual_tcp_pose()
16 socket_send_string(var_2)
17 Wait: 0.002
18 var_6=get_target_joint_positions()
19 socket_send_string(var_6)
20 Wait: 0.002
21 var_7=get_target_joint_speeds()
22 socket_send_string(var_7)
23 timer_1 Stop
```

Fig88. Código Polyscope para guardar las posiciones

En el código anterior se envían las posiciones del robot con el **get_actual_tcp_pose**, así como también se envía las 6 posiciones y las 6 velocidades de las articulaciones con **get_Target_joint_positions()** y **get_target_joint_speeds()**.

El código de Python se puede ver en el Anexo 1. Se utiliza el comando **with** y **open** para abrir un fichero nuevo y con **as** se le asigna un nombre al fichero para poder escribir luego durante el programa, con el comando **archivo.write()**.

Previamente a escribir los datos en el archivo con dicha función, se les da un formato a estos mediante la función **format**. Esta función es un método que formatea los valores especificados y los inserta dentro del marcador de posición de una cadena, el marcador de posición se define mediante corchetes: **{ }**.

Una vez guardado los datos del movimiento se realiza un código de Python que tenga en cuenta tanto el valor en tiempo real del maestro como el valor guardado en la base de datos

en el instante siguiente. Con esas dos posiciones se calculara un error de ambas, dependiendo de la posición actual del esclavo y se realizara una ponderación con una K proporcional, que se podrá ir variando para cambiar el peso que se le quiere dar a cada error. Posteriormente con la suma de los dos errores multiplicada por la ganancia se podrá hallar la velocidad de referencia y pasársela al esclavo y realizar un movimiento mediante SpeedL.

El código de Polyscope realizado en cada uno de los robots es el mismo que el realizado en el apartado anterior de **Posición**.

El maestro es el que realiza un movimiento (MoveJ) y envía la posición al ordenador mediante la función ya vista, `get_actual_tcp_pose`. Mientras que el esclavo envía también su posición y recibe una string de datos con la velocidad de referencia que debe seguir, por lo que este dato es pasado a la función `SpeedL`.

A traves del siguiente enlace, se puede ver el video de la prueba del movimiento con MoveJ utilizando SpeedL y la base de datos:

<https://youtube.com/shorts/ISmuM30m3E0?feature=share>

1.7.8. Inversa del generador de trayectoria

Se prende realizar un experimento basándonos en la inversa del generador de trayectorias, donde primero se hallaran la \mathbf{q} de las articulaciones en cada instante, teniendo en cuenta la posición en el instante actual, la aceleración y el tiempo, así como el tipo de generador de trayectoria. Posteriormente mediante las matrices de Denavit-Hartenberg hallar la posición cartesiana del efector final.

Primero se identifica el tipo de generador de trayectoria que se utiliza, para ello se realiza una prueba y se representan las posiciones, velocidades y las aceleraciones de las articulaciones.

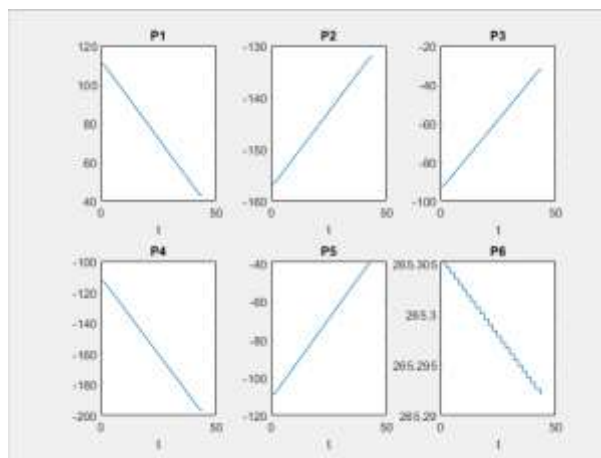


Fig89. Posición de las articulaciones

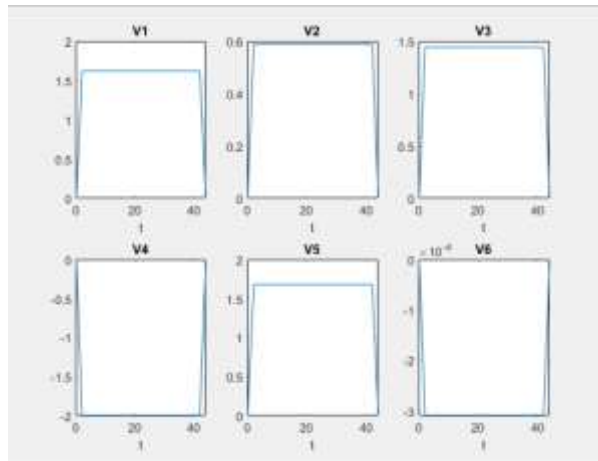


Fig90. Velocidad de las articulaciones

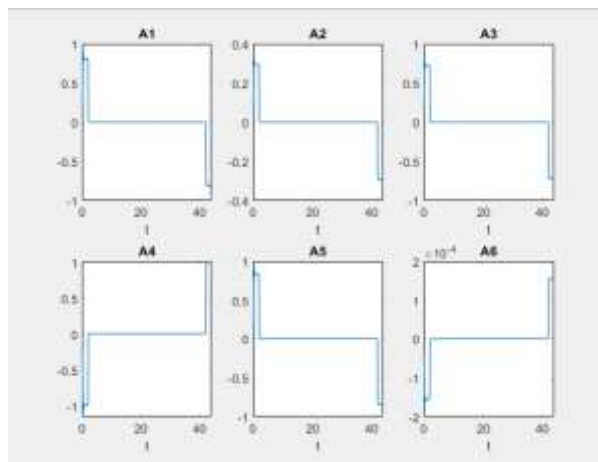


Fig91. Aceleración de las articulaciones

Como se puede comprobar, se tiene una trayectoria trapezoidal, su velocidad tiene 3 etapas diferenciadas con la fase de aceleración, la constante y la desaceleración.

La aceleración se observa como empieza en su aceleración máxima, después de vuelve 0 y por ultimo una aceleración máxima negativa.

Se realiza un experimento para poder hallar los tiempos en los que la trayectoria cambia de fase de aceleración a constante (t_1) y de constante a la fase de desaceleración (t_2), así como observar que articulación alcanza la velocidad máxima establecida.

- Velocidad de $2^\circ/s$ y Aceleración de $2^\circ/s^2$

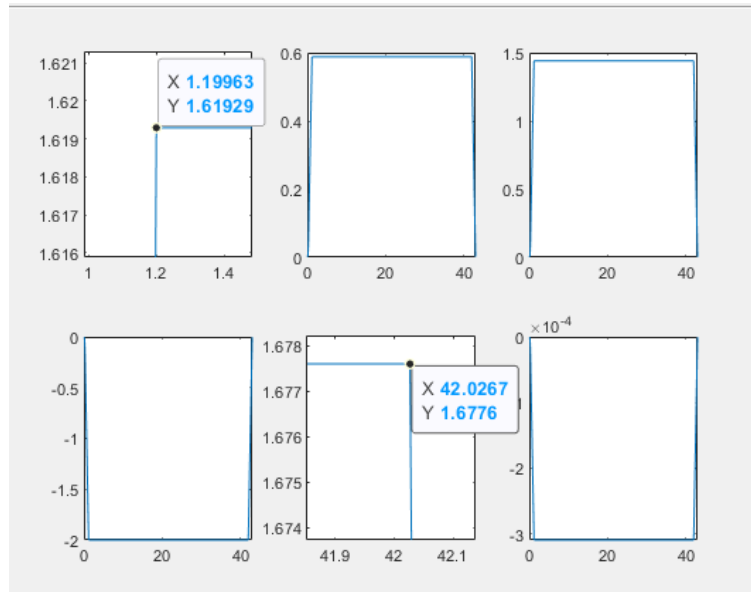


Fig92. Velocidad de las articulaciones

En este experimento como se puede observar ninguna articulación alcanza la velocidad de $2^\circ/s$, las que más se aproximan son la primera y la quinta con una velocidad de $1.6^\circ/s$ En la imagen se puede observar como el valor de t_1 es de 1.99 segundos y el valor de t_2 de 42.02 segundos.

- Velocidad de $5^\circ/s$ y Aceleración de $5^\circ/s^2$

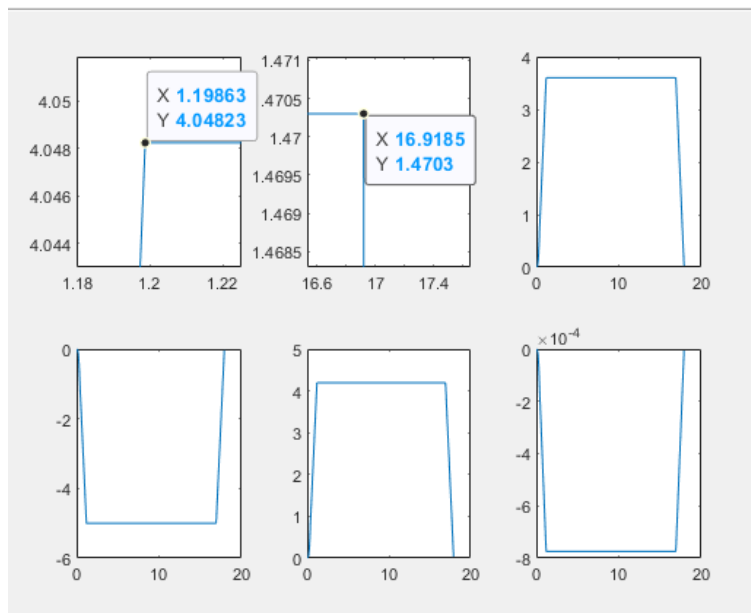


Fig93. Velocidad de las articulaciones

En este experimento como se puede observar ninguna articulación alcanza la velocidad de 5°/s, las que más se aproximan son la primera y la quinta con una velocidad de 4.04°/s En la imagen se puede observar como el valor de t1 es de 1.98 segundos y el valor de t2 de 16.91 segundos.

En estos dos experimentos se ha podido ver que la aceleración no se corresponde ya que el tiempo es diferente. El tiempo de la fase de aceleración a la fase de reposo debería de dar lo mismo que dividir entre la velocidad y la aceleración, en estos dos casos el valor debería haber dado 1.

Por ello se calcula la aceleración real, para el primer caso $a = \frac{v}{t} = \frac{2}{1.199} = 1.66 \text{ } ^\circ/s^2$

Para el segundo caso $a = \frac{v}{t} = \frac{5}{1.198} = 4.173 \text{ } ^\circ/s^2$

A continuación se ejecuta otra prueba para comprobar el tiempo 2 con la estimación, así como también el tiempo 1 haciendo cada vez más grande su valor y observando si existe una correlación.

- Velocidad de 2°/s y Aceleración de 1°/s²

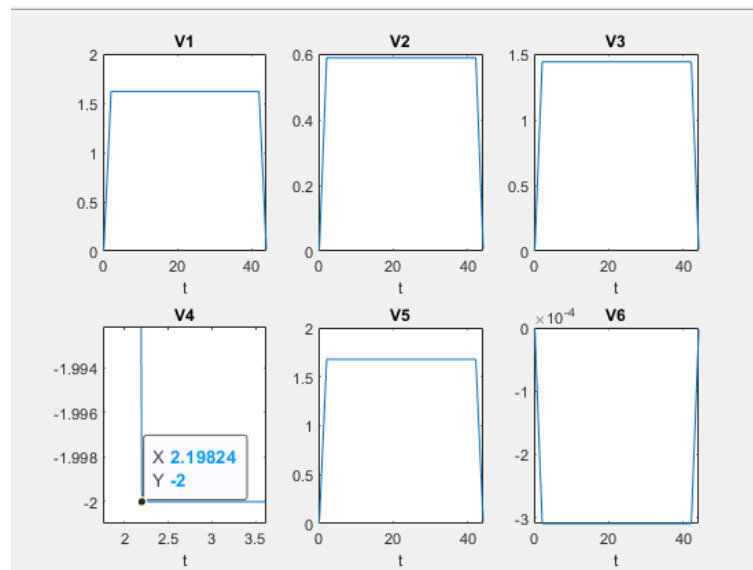


Fig94. Velocidad de las articulaciones

En este caso el valor de velocidad máxima es alcanzado por la articulación 4, por lo que se observa en ella el valor de los tiempos. El tiempo t1 alcanza un valor de 2.198 segundos.

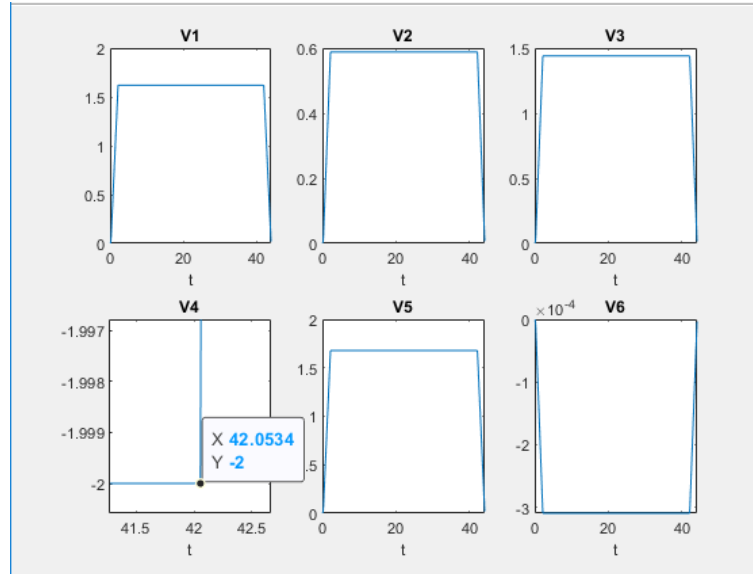


Fig95. Velocidad de las articulaciones

El tiempo t_2 que se alcanza es un valor de 42.0534 segundos.

A continuación se representan las posiciones para poder calcular el tiempo 2 de forma analítica. El tiempo t_2 se calcula realizando la división entre la resta de la posición final e inicial y la velocidad.

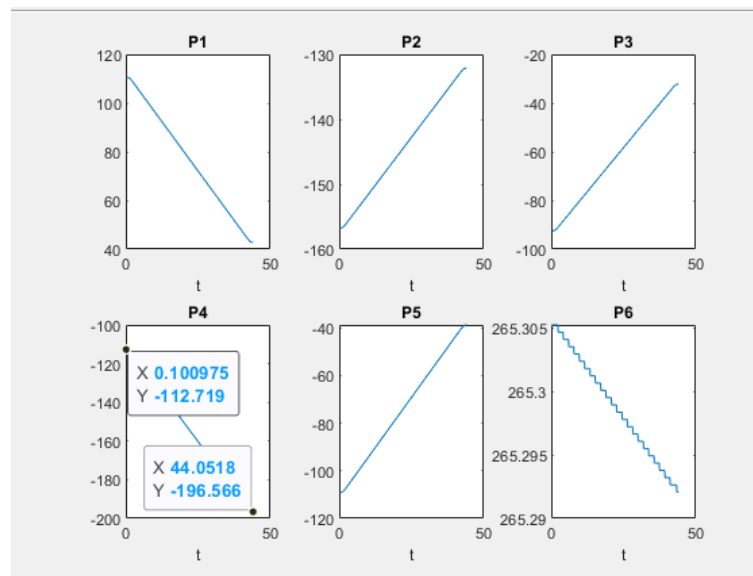


Fig96. Posición de las articulaciones

$$|t_2| = \left| \frac{P_2 - P_1}{V} \right| = \frac{-196.566 - (-112.719)}{2} = 41.923 \text{ s}$$

$$a = \frac{V}{t} = \frac{2}{2.1982} = 0.909 \text{ } ^\circ/\text{s}^2$$

- Velocidad de $6^\circ/s$ y Aceleración de $2^\circ/s^2$

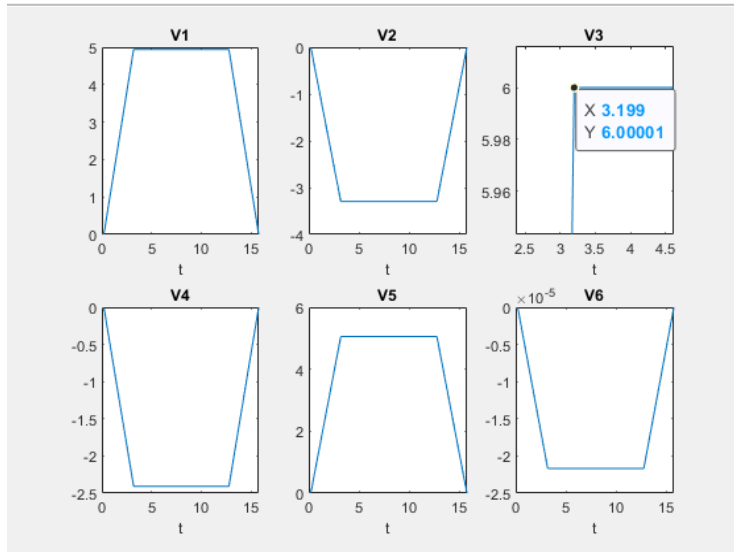


Fig97. Velocidad de las articulaciones

En este caso el valor de velocidad máxima es alcanzado por la articulación 3, por lo que se observa en ella el valor de los tiempos. El tiempo t_1 alcanza un valor de 3.199 segundos.

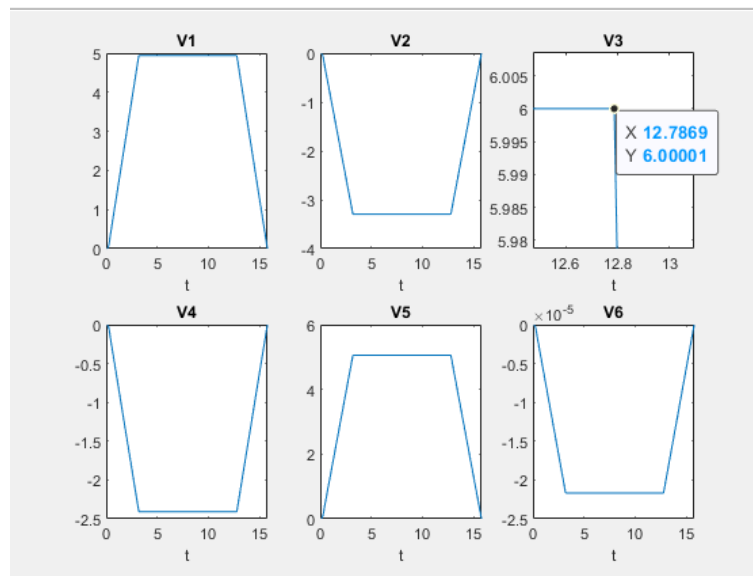


Fig98. Velocidad de las articulaciones

El tiempo t_2 que se alcanza es un valor de 12.786 segundos.

A continuación se representan las posiciones para poder calcular el tiempo 2 de forma analítica:

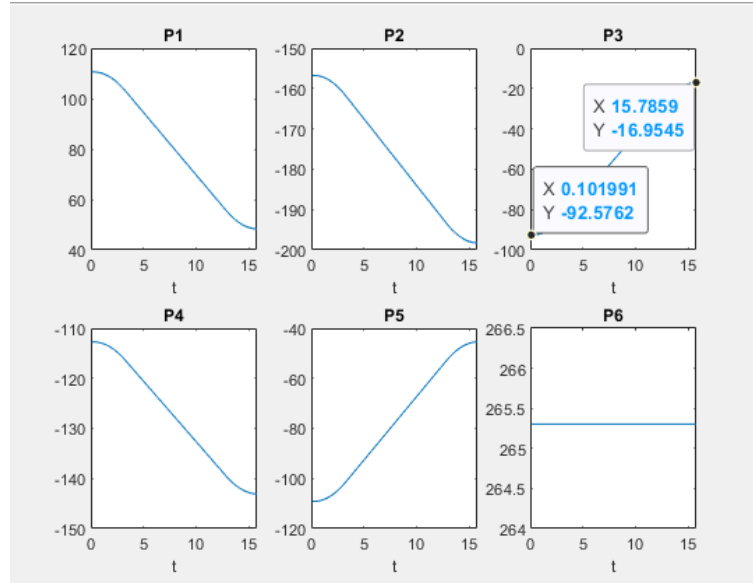


Fig99. Posición de las articulaciones

$$|t_2| = \left| \frac{P_2 - P_1}{V} \right| = \frac{-16.9545 - (-92.5762)}{6} = 12.603 \text{ s}$$

$$a = \frac{V}{t} = \frac{6}{3.199} = 1.875 \text{ }^\circ/\text{s}^2$$

- Velocidad de 8°/s y Aceleración de 2°/s²

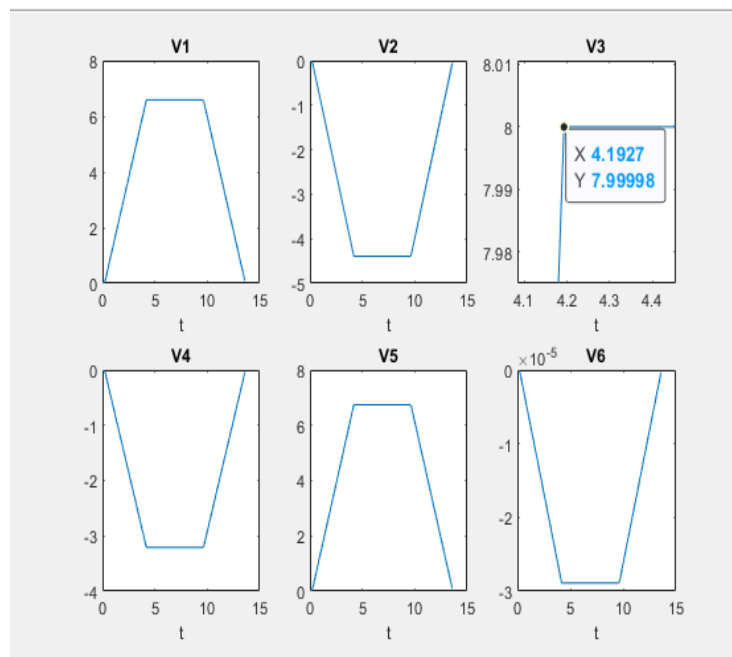


Fig100. Velocidad de las articulaciones

En este caso el valor de velocidad máxima es alcanzado por la articulación 3, por lo que se observa en ella el valor de los tiempos. El tiempo t_1 alcanza un valor de 4.1927 segundos.

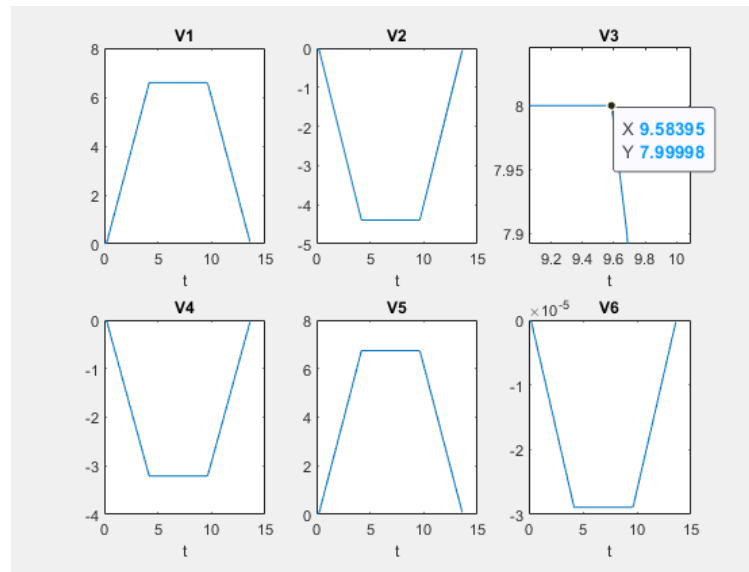


Fig101. Velocidad de las articulaciones

El tiempo t_2 que se alcanza es un valor de 9.5839 segundos.

A continuación se representan las posiciones para poder calcular el tiempo 2 de forma analítica:

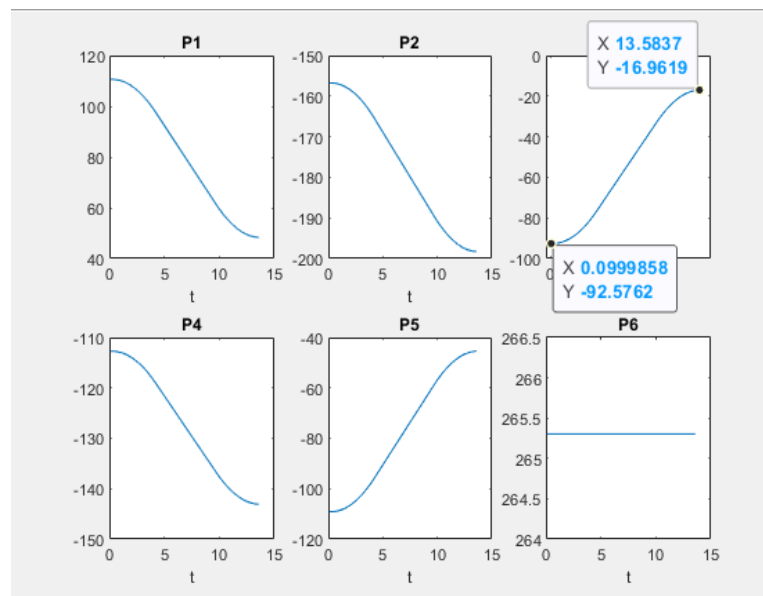


Fig102. Posición de las articulaciones

$$|t_2| = \left| \frac{P_2 - P_1}{V} \right| = \frac{-16.9619 - (-92.5762)}{8} = 9.451 \text{ s}$$

$$a = \frac{V}{t} = \frac{8}{4.1927} = 1.908 \text{ }^\circ/\text{s}^2$$

- Velocidad de $10^\circ/\text{s}$ y Aceleración de $2^\circ/\text{s}^2$

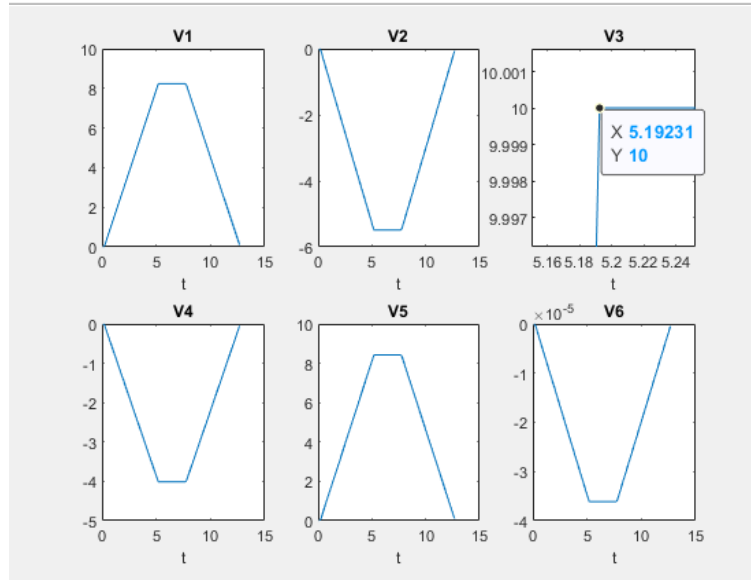


Fig103. Velocidad de las articulaciones

En este caso el valor de velocidad máxima es alcanzado por la articulación 3, por lo que se observa en ella el valor de los tiempos. El tiempo t_1 alcanza un valor de 5.1923 segundos.

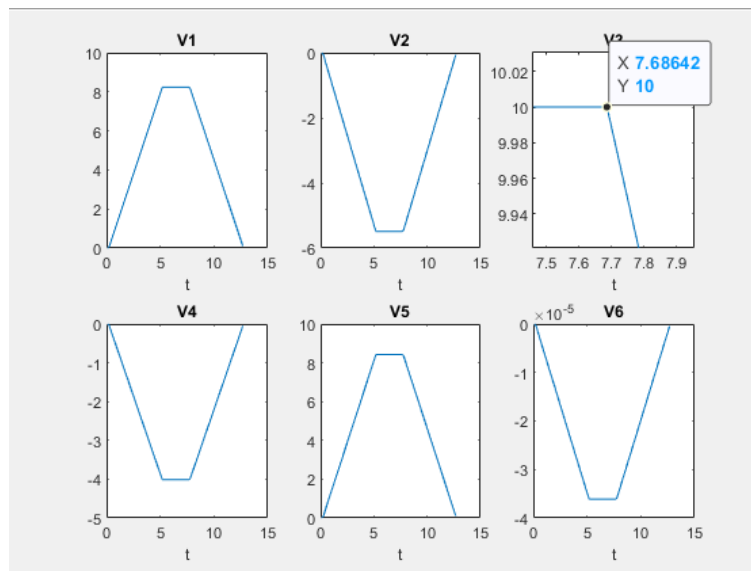


Fig104. Velocidad de las articulaciones

El tiempo t_2 que se alcanza es un valor de 7.686 segundos.

A continuación se representan las posiciones para poder calcular el tiempo 2 de forma analítica:

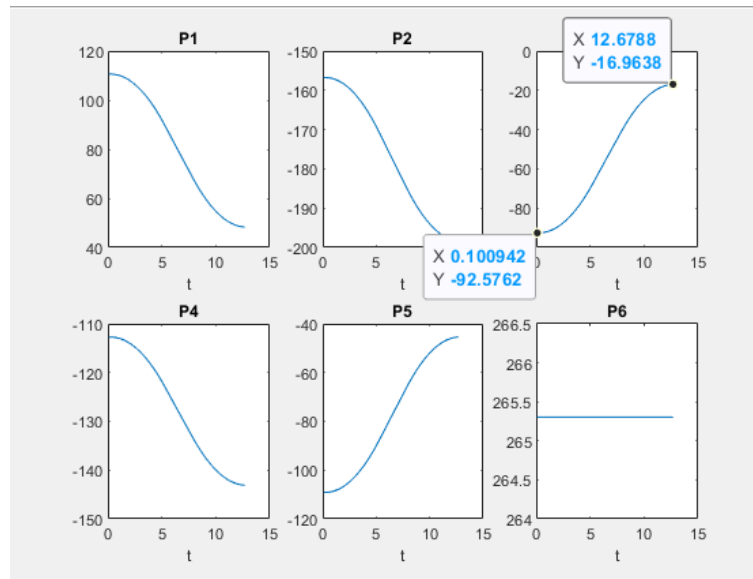


Fig105. Posición de las articulaciones

$$|t2| = \left| \frac{P2 - P1}{V} \right| = \frac{-16.9638 - (-92.5762)}{10} = 7.561 \text{ s}$$

$$a = \frac{V}{t} = \frac{10}{5.1923} = 1.925 \text{ } ^\circ/\text{s}^2$$

	T1 calculado (s)	T1 prueba (s)	Desv (s)	T2 calculado (s)	T2 prueba (s)	Desv (s)	Ac teórica (°/s ²)	Ac calculada (°/s ²)	Desv (°/s ²)
Vel 2°/s Ac 1°/s ²	2	2.198	0.198	41.923	42.053	0.13	1	0.909	0.091
Vel 6°/s Ac 2°/s ²	3	3.199	0.199	12.603	12.786	0.183	2	1.875	0.125
Vel 8°/s Ac 2°/s ²	4	4.193	0.193	9.451	9.583	0.132	2	1.908	0.092
Vel 10°/s Ac 2°/s ²	5	5.192	0.192	7.561	7.686	0.125	2	1.925	0.075
Promedio			0.1955			0.1425			0.0957

Tabla 16. Comparación del tiempo 1, del tiempo 2 y de la aceleración con sus desviaciones

Se ha visto que variando las velocidades y aceleraciones, la aceleración es menor que se da en la asignación, por lo que se ha calculado la aceleración real ejercida.

Además t_1 siempre tardar entre 0.19 y 0.20 segundos más de lo que debería y que el tiempo t_2 también tarda una media de 0.1425 segundos más.

Se ha deducido que hacer la inversa del generador de trayectorias no es viable ya que la aceleración no es la misma que la fijada y es diferente para diferentes movimientos.

1.8. Conclusiones

En este trabajo se ha aprendido a utilizar la interfaz de los robots UR, configurando los robots y programándolos. Así como un nuevo lenguaje de programación hasta ahora visto como es Python, para realiza la comunicación por el PC, realizando un código desde cero. Así como a solucionar o adaptarse a los problemas que han ido surgiendo durante el desarrollo del trabajo como el fallo por rotura del sensor externo de fuerza y par, lo que supuso que ya no se pudiera realizar más experimentos con él, los problemas con el tiempo de muestreo a la hora de enviar y recibir datos, el cambio del robot UR3 por el robot UR3e en el laboratorio.

En conclusión, se ha podido comprobar primero el correcto funcionamiento de la comunicación por Sockets realizando envío y recibimiento de datos entre los robots y el PC. Después se ha realizado diferentes movimientos con MoveL, MoveJ y MoveP comprobado que con MoveL y MoveP se puede realizar correctamente movimientos coordinados con ambos robots, aunque hay desviación en z. Con MoveJ se ha observado que este movimiento realiza trayectorias curvas diferentes en cada uno de los robots, por lo que por sí solo no es correcto utilizarlo para la coordinación de dos robots.

Para poder realizar una coordinación de ambos robots con MoveJ se ha realizado el control por bucle interior-exterior, donde utilizando el comando SpeedL se realiza el seguimiento del esclavo sobre el maestro. Así al realizar el experimento se comprueba que el tiempo de muestreo a la hora de recibir y enviar datos es demasiado grande, 50 ms, por lo que hay una mayor diferencia entre los dos robots.

Para solucionar eso se realiza un experimento con una base de datos, donde el esclavo recibe la posición actual del maestro y la del instante siguiente, por lo que se observa realizando el experimento como esta diferencia entre los dos ya no existe, y se realiza correctamente el seguimiento.

Además de realizar un experimento de comunicación por Modbus de ambos robots, sin necesidad de utilizar el PC, donde se ha comprobado el buen seguimiento de trayectoria de los robots.

Así se puede concluir que con todos los movimientos se ha podido realizar un control de ambos robots que funcionen de manera coordinada, realizando pruebas con objetos, y con diferentes tipos de comunicación.

1.9. Bibliografía

- [1] «IRB 14000 YUMI - ROBOT COLABORATIVO», *Robotics*. <https://new.abb.com/products/robotics/es/robots-colaborativos/yumi> (accedido 8 de agosto de 2022).
- [2] «El innovador robot YuMi® de ABB ha establecido nuevos estándares para la robótica colaborativa durante cinco años», *News*. <https://new.abb.com/news/es/detail/63931/el-innovador-robot-yumir-de-abb-ha-establecido-nuevos-estandares-para-la-robotica-colaborativa-durante-cinco-anos> (accedido 8 de agosto de 2022).
- [3] «YuMi® - IRB 14000 - Robot articulado by ABB Robotics | DirectIndustry». <https://www.directindustry.es/prod/abb-robotics/product-30265-1635187.html> (accedido 8 de agosto de 2022).
- [4] «PhantomX Pincher», *ROS Components*. <http://www.roscomponents.com/es/brazos-roboticos/99-phantomx-pincher.html> (accedido 8 de agosto de 2022).
- [5] «TAZ-TFG-2019-3511.pdf». Accedido: 8 de agosto de 2022. [En línea]. Disponible en: <https://zaguan.unizar.es/record/84981/files/TAZ-TFG-2019-3511.pdf>
- [6] J. A. Castro-Vargas, B. S. Zapata-Impata, P. Gil, y J. Pomares, «AGARRE BIMANUAL DE OBJETOS ASISTIDO POR VISION», p. 8.
- [7] L. F. González-Böhme, R. García-Alvarado, F. J. Quitral-Zapata, y E. A. Valenzuela-Astudillo, «SISCOM: Cooperative Multi-Robot Systems in Construction», en *Blucher Design Proceedings*, Medellín, Colombia, dic. 2020, pp. 349-356. doi: 10.5151/sigradi2020-48.
- [8] «“Cobots”. los nuevos robots colaborativos - Iberdrola». <https://www.iberdrola.com/innovacion/cobots-robots-colaborativos> (accedido 16 de agosto de 2022).
- [9] «>Todo sobre los Robots Colaborativos | Marcas y Precios». https://www.neobotik.com/robots-colaborativos/#Que_son_los_robots_colaborativos (accedido 16 de agosto de 2022).
- [10] «UN COBOT ES SEGURO POR SÍ MISMO, PERO ¿Y LA APLICACIÓN DONDE SE INTEGRA? | CADE Cobots», 12 de noviembre de 2019. <https://cadecobots.com/un-cobot-es-seguro-por-si-mismo-pero-y-la-aplicacion-donde-se-integra/> (accedido 16 de agosto de 2022).
- [11] «Conozca las cinco ventajas clave de la gama e-Series». <https://blog.universal-robots.com/es/ventajas-e-series> (accedido 16 de agosto de 2022).
- [12] E. Universitat Politècnica de València, «Universitat Politècnica de València», *Ing. Agua*, vol. 18, n.º 1, p. ix, sep. 2014, doi: 10.4995/ia.2014.3293.
- [13] «Modbus: Qué es y cómo funciona | Comunicaciones Industriales», *aula21 | Formación para la Industria*, 5 de mayo de 2020. <https://www.cursosaula21.com/modbus-que-es-y-como-funciona/> (accedido 16 de agosto de 2022).
- [14] «Modbus TCP/IP - Automation Networks». <http://automation-networks.es/glossary/modbus-tcpip> (accedido 16 de agosto de 2022).
- [15] «UN COBOT ES SEGURO POR SÍ MISMO, PERO ¿Y LA APLICACIÓN DONDE SE INTEGRA? | CADE Cobots», 12 de noviembre de 2019. <https://cadecobots.com/un-cobot-es-seguro-por-si-mismo-pero-y-la-aplicacion-donde-se-integra/> (accedido 14 de septiembre de 2022).

- [16] «practica5.pdf». Accedido: 14 de septiembre de 2022. [En línea]. Disponible en: <https://nbio.umh.es/files/2012/04/practica5.pdf>
- [17] «Move». http://help.universal-robots.com/SW_5_11/UR5e/Content/from-tex/software_manual/programming/commandtab_move_en.htm (accedido 14 de septiembre de 2022).
- [18] «Qué es un lenguaje de programación», *OpenWebinars.net*, 16 de julio de 2020. <https://openwebinars.net/blog/que-es-un-lenguaje-de-programacion/> (accedido 18 de agosto de 2022).
- [19] «Los lenguajes de programación más usados en la actualidad». <https://www.universia.net/es/actualidad/empleo/lenguajes-programacion-mas-usados-actualidad-1136443.html> (accedido 18 de agosto de 2022).
- [20] «El lenguaje C++ — Fundamentos de Programación en C++». https://www2.eii.uva.es/fund_inf/cpp/temas/1_introduccion/introduccion.html (accedido 18 de agosto de 2022).
- [21] «Qué es C++: Características y aplicaciones», *OpenWebinars.net*, 22 de julio de 2019. <https://openwebinars.net/blog/que-es-cpp/> (accedido 18 de agosto de 2022).
- [22] «¿Que es Java? - Guía de Java empresarial para principiantes - AWS», *Amazon Web Services, Inc.* <https://aws.amazon.com/es/what-is/java/> (accedido 18 de agosto de 2022).
- [23] «Nuestro sensor de fuerza/par HEX para brazos robóticos hace que la automatización sea sencilla | OnRobot». <https://onrobot.com/es/productos/sensor-de-fuerza-par-hex-de-6-ejes> (accedido 14 de septiembre de 2022).
- [24] «onrobot-compute-box-description_e10_en.pdf». Accedido: 14 de septiembre de 2022. [En línea]. Disponible en: https://onrobot.com/sites/default/files/documents/onrobot-compute-box-description_e10_en.pdf
- [25] A. M. Téllez, «La matriz generadora de rotación», *La Mecánica Cuántica*, 11 de agosto de 2009. <http://la-mecanica-cuantica.blogspot.com/2009/08/la-matriz-generadora-de-rotacion.html> (accedido 14 de septiembre de 2022).



UNIVERSIDAD POLITECNICA DE VALENCIA
Dpto. de Ingeniería de Sistemas y Automática

Control distribuido del robot colaborativo UR3
Anexo 1

TRABAJO DE FIN DE MASTER
Master Universitario en Automática e Informática Industrial

AUTOR/A: Alfonso Safont, Raúl

Tutor/a: Zotovic Stanisic, Ranko

Curso Académico: 2021-2022

- Código movimiento individual UR3, experimento 1.

```
13 HOST = "192.168.1.103"# The remote host
14 PORT = 30000 # The same port as used by the server
15 print("Starting Program")
16 i = 0
17
18 while i<1:
19     s = socket.socket(socket.AF_INET, socket.SOCK_STREAM)
20     s.setsockopt(socket.SOL_SOCKET, socket.SO_REUSEADDR, 1)
21     s.bind((HOST, PORT)) # Bind to the port
22     print("Port binded")
23     s.listen(5) # Now wait for client connection.
24     print("Client connected")
25     c, addr = s.accept() # Establish connection with client.
26     print("Connection with client")
27     try:
28         msg = c.recv(1024)
29         print("Posición Inicial")
30         print(msg)
31         time.sleep(2)
32         i = i + 1
33
34
35         pos = "(260,0,0)" #(Y,X,Z,0,0,0)
36         c.send(pos.encode())
37         print("Data sent")
38
39         msg2 = c.recv(1024)
40         print("Posicion enviada al UR3")
41         print(msg2)
42         time.sleep(1)
43
44         msg3 = c.recv(1024)
45         print("Posicion recibida en el UR3, var_4")
46         print(msg3)
47         time.sleep(1)
48
49         msg4 = c.recv(1024)
50         print("Posicion Final del UR3 (var_5)")
51         print(msg4)
52         time.sleep(1)
53
54
55     except socket.error as socketerror:
56         print("Error")
57
58     c.close()
59     s.close()
60     print("Program finish")
```

- Código movimiento individual UR3e, experimento 1.

```
7 HOST = "192.168.1.103"# The remote host
8 PORT = 30000 # The same port as used by the server
9 print("Starting Program")
10 i = 0
11
12 while i<1:
13     s = socket.socket(socket.AF_INET, socket.SOCK_STREAM)
14     s.setsockopt(socket.SOL_SOCKET, socket.SO_REUSEADDR, 1)
15     s.bind((HOST, PORT)) # Bind to the port
16     print("Port binded")
17     s.listen(5) # Now wait for client connection.
18     print("Client connected")
19     c, addr = s.accept() # Establish connection with client.
20     print("Connection with client")
21     try:
22         msg = c.recv(1024)
23         print("Posición Inicial")
24         print(msg)
25
26         pos2 = msg.decode()
27         pos2 = pos2[2:len(pos2)]
28         b = pos2.replace("b'p[", "").replace("]", "")
29         lst = [x for x in b.split(',')]
30         print(lst)
31
32         p1 = (float(lst[0]))
33         p2 = (float(lst[1]))
34         p3 = (float(lst[2]))
35         r1 = (float(lst[3]))
36         r2 = (float(lst[4]))
37         r3 = (float(lst[5]))
38         print("Posiciones recibidas")
39         print(p1)
40         print(p2)
41         print(p3)
42
43     A = np.array([[0, 1, 0, -0.0994], [-1, 0, 0, -0.878], [0, 0, 1, -0.206], [0, 0, 0, 1]])
44     B = np.array([[p1], [p2], [p3], [1]])
45     T = np.dot(A,B)
46     print("Posicion respecto el nuevo sistema de coordenadas")
47     print(T)
48
49     time.sleep(2)
50     i = i + 1
51     pos = np.array([[0.200], [0], [0], [0]]) #SE INDICA EL DESPLAZAMIENTO QUE SE QUIERE
52     # REALIZAR #X,Y,Z,-;
53     P1=T+pos
54     print("Nueva posicion respecto el nuevo sistema de coordenadas")
55     print(P1)
56
57     C = np.array([[0, -1, 0, -0.878], [1, 0, 0, 0.0994], [0, 0, 1, 0.206], [0, 0, 0, 1]])
58     T2 = np.dot(C,P1)
59     print("Nueva posicion respecto el sistema de coordenadas de la base")
60     print(T2)
```

```
63     p1 = ((float(T2[0])))
64     p2 = ((float(T2[1])))
65     p3 = ((float(T2[2])))
66
67     POS=(p1,p2,p3)
68     POS1=str(POS)
69     print("POSICION A ENVIAR")
70     print(POS1)
71
72     POS2=(r1, r2, r3)
73     POS3 = str(POS2)
74     print(POS3)
75
76
77     c.send(POS1.encode())
78     print("Data sent")
79
80     c.send(POS3.encode())
81     print("Data sent 2")
82
83     msg2 = c.recv(1024)
84     print("Posicion enviada al UR3")
85     print(msg2)
86     #time.sleep(1)
87
88
89     msg3 = c.recv(1024)
90     print("Posicion 2 enviada al UR3")
91     print(msg3)
92     #time.sleep(1)
93
94     msg4 = c.recv(1024)
95     print("Posicion Final UR3")
96     print(msg4)
97     #time.sleep(1)
98
99     print("")
100     #time.sleep(0.5)
101
102     except socket.error as socketerror:
103         print("Error")
104
105     c.close()
106     s.close()
107     print("Program finish")
```


- Código Movimiento Coordinado, experimento 2

```
HOST = "192.168.1.103" # The remote host
PORT = 30000 # The same port as used by the server #Robot UR3
PORT2 = 40000 # The same port as used by the server #Robot URe
print("Starting Program")
i = 0

while i<1:
    s = socket.socket(socket.AF_INET, socket.SOCK_STREAM) #Robot UR3
    s.setsockopt(socket.SOL_SOCKET, socket.SO_REUSEADDR, 1)
    s.bind((HOST, PORT)) # Bind to the port

    r = socket.socket(socket.AF_INET, socket.SOCK_STREAM) #Robot URe
    r.setsockopt(socket.SOL_SOCKET, socket.SO_REUSEADDR, 1)
    r.bind((HOST, PORT2)) # Bind to the port

    print("Port binded")
    s.listen(5) # Now wait for client connection.
    r.listen(5) # Now wait for client connection.
    print("Client connected")
    c, addr = s.accept() # Establish connection with client. #Robot UR3
    d, addr = r.accept() #Robot URe
    print("Connection with client")

    try:
        msg = c.recv(1024)
        msg2 = d.recv(1024)
        print("Posicion Inicial UR3")
        print(msg)
        print("Posicion Inicial URe")
        print(msg2)
        time.sleep(0.5)

        #URe
        pos2 = msg2.decode()
        pos2 = pos2[2:len(pos2)]
        b = pos2.replace("b'p[", "").replace("]", "")
        lst = [x for x in b.split(',') ]
        print(lst)

        p1 = (float(lst[0]))
        p2 = (float(lst[1]))
        p3 = (float(lst[2]))
        r1 = (float(lst[3]))
        r2 = (float(lst[4]))
        r3 = (float(lst[5]))
```



```

print("Posiciones recibidas del URe")
print(p1)
print(p2)
print(p3)

A = np.array([[0, 1, 0, -0.0994], [-1, 0, 0, -0.878], [0, 0, 1, -0.206], [0, 0, 0, 1]])
B = np.array([[p1], [p2], [p3], [1]])
T = np.dot(A, B)
print("Posicion del URe respecto el nuevo sistema de coordenadas")
print(T)

time.sleep(0.5)
i = i + 1
pos = np.array([[0.260], [0], [0], [0]]) # SE INDICA EL DESPLAZAMIENTO QUE SE QUIERE R
# X,X,Z,-;
P1 = T + pos
print("Nueva posicion del URe respecto el nuevo sistema de coordenadas")
print(P1)

C = np.array([[0, -1, 0, -0.878], [1, 0, 0, 0.0994], [0, 0, 1, 0.206], [0, 0, 0, 1]])
T2 = np.dot(C, P1)
print("Nueva posicion del URe respecto el sistema de coordenadas de la base")
print(T2)
    
```

```

p1 = ((float(T2[0])))
p2 = ((float(T2[1])))
p3 = ((float(T2[2])))

POS = (p1, p2, p3)
POS1 = str(POS)
print("POSICION A ENVIAR AL URe")
print(POS1)

POS2 = (r1, r2, r3)
POS3 = str(POS2)
print(POS3)
time.sleep(0.5)

d.send(POS1.encode())
print("Data sent 1 URe")
time.sleep(0.5)

d.send(POS3.encode())
print("Data sent 2 URe")
time.sleep(0.5)

#UR3
pos = "{260,0,0}" # (X,Y,Z,0,0,0)
c.send(pos.encode())
    
```

```
print("Data sent UR3")
time.sleep(0.5)

#URe
msg3 = d.recv(1024)
print("Posicion enviada al URe")
print(msg3)
time.sleep(0.5)

msg4 = d.recv(1024)
print("Posicion 2 enviada al URe")
print(msg4)
time.sleep(0.5)

#UR3
msg5 = c.recv(1024)
print("Posicion enviada al UR3")
print(msg5)
time.sleep(0.5)

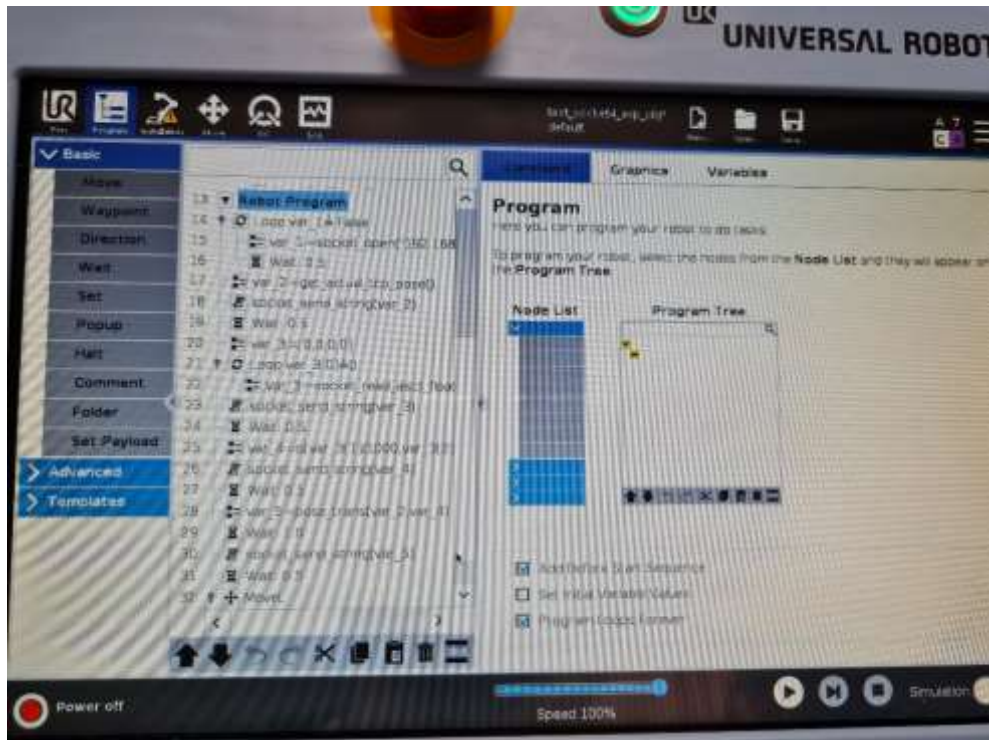
# URe
msg6 = d.recv(1024)
print("Posicion Final URe")
print(msg6)

# UR3
msg7 = c.recv(1024)
print("Posicion recibida en el UR3, var_4")
print(msg7)
msg8 = c.recv(1024)
print("Posicion Final del UR3 (var_5)")
print(msg8)

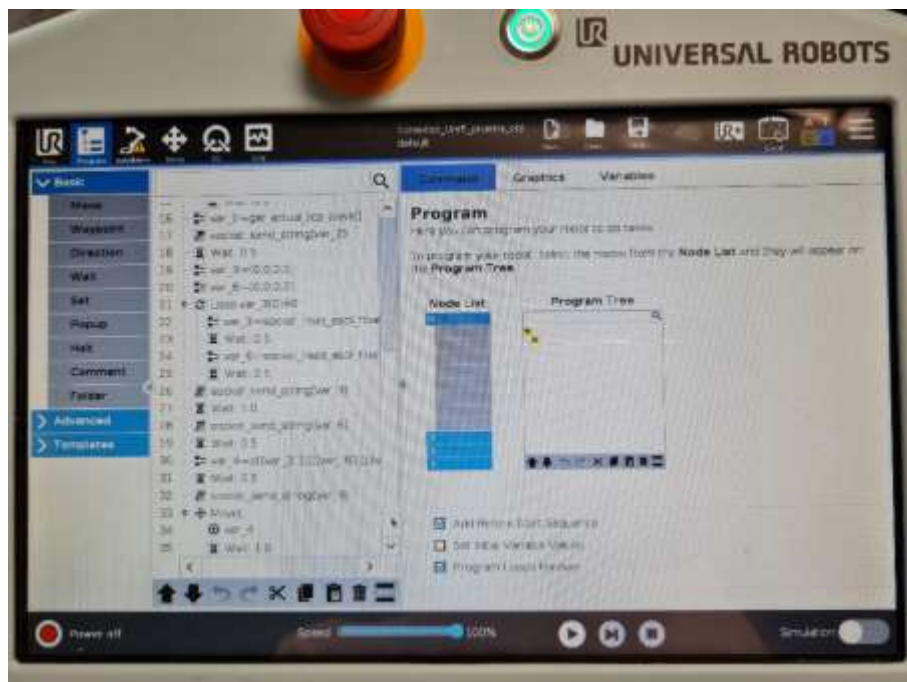
except socket.error as socketerror:
    print("Error")

c.close()
d.close()
s.close()
p.close()
print("Program finish")
```

- Experimento 3. Código de Polyscope
 - Robot maestro:



- Robot esclavo:



- Experimento 6. Control de fuerza

```
print("Fuerzas")
msg6 = d.recv(1024)
print(msg6)
msg7 = msg6.decode()
msg7 = msg7[2:len(msg7)]
b = msg7.replace("b'p[", "").replace("]", "")
lst = [x for x in b.split(',')]
print("Fx: {0} , Fy: {1} , Fz: {2} ".format(lst[0], lst[1], lst[2]))

Fx = float(lst[0])
print(Fx)

Fxfref=-0.5

print("Errores")
e_x = Fxfref - Fx
e_y = p22 - p2
e_z = p33 - p3
C = np.array([[e_x], [e_y], [e_z]])
print(C)
```

- Experimento 6. Guardar datos en fichero

```
1 # -*- coding: utf-8 -*-
2 """
3 Created on Mon Feb 7 19:55:09 2022
4
5 @author: Raul
6 """
7
8 # Echo client program
9 import ...
10
11
12
13
14 HOST = "192.168.1.103" # The remote host
15 PORT = 30000 # The same port as used by the server #Robot UR3
16
17 print("Starting Program")
18 Tiempo = 0
19
20 #while i<1:
21 s = socket.socket(socket.AF_INET, socket.SOCK_STREAM) #Robot UR3
22 s.setsockopt(socket.SOL_SOCKET, socket.SO_REUSEADDR, 1)
23 s.bind((HOST, PORT)) # Bind to the port
24
25 print("Port binded")
26 s.listen(5) # Now wait for client connection.
27 print("Client connected")
28 c, addr = s.accept() # Establish connection with client. #Robot UR3
29 print("Connection with client")
30 i = 0
31 datos2 = []
32
33 with open("Trayectoria3.csv", "w") as archivo_csv:
34     cabecera = ("Pos(p1,p2,p3),JointP,JointV,Tiempo\n")
35     archivo_csv.write(cabecera)
36
37 while 1:
38     try:
39         start = time.time()
40         msg = c.recv(1024)
41         print("Posicion Inicial UR3")
42         print(msg)
43         #time.sleep(0.5)
44
45         msg2 = c.recv(1024)
46         print("Joint Position UR3")
47         print(msg2)
48
49         msg3 = c.recv(1024)
50         print("Joint Speed UR3")
51         print(msg3)
52
```

```

74 #UR3
75 pos1 = msg.decode()
76 pos1 = pos1[2:len(pos1)]
77 a = pos1.replace("b'['", "").replace("]", "")
78 lst1 = [x for x in a.split(',')]
79 print(lst1)
80
81 p01 = (float(lst1[0]))
82 p02 = (float(lst1[1]))
83 p03 = (float(lst1[2]))
84
85 print("Posiciones recibidas del UR3")
86 print(p01)
87 print(p02)
88 print(p03)
89
90
91
92
93
94
95
96
97
98
99
100
101
102
103
104
105
106
107
108
109
110
111
112
113
114
115
116
117
118
119
120
121
122
123
124
125
126
127
128
129
130
131
132
133
134
135
136
137
138
139
140
141
142
143
144
145
146
147
148
149
150
151
152
153
154
155
156
157
158
159
160
161
162
163
164
165
166
167
168
169
170
171
172
173
174
175
176
177
178
179
180
181
182
183
184
185
186
187
188
189
190
191
192
193
194
195
196
197
198
199
200
201
202
203
204
205
206
207
208
209
210
211
212
213
214
215
216
217
218
219
220
221
222
223
224
225
226
227
228
229
230
231
232
233
234
235
236
237
238
239
240
241
242
243
244
245
246
247
248
249
250
251
252
253
254
255
256
257
258
259
260
261
262
263
264
265
266
267
268
269
270
271
272
273
274
275
276
277
278
279
280
281
282
283
284
285
286
287
288
289
290
291
292
293
294
295
296
297
298
299
300
301
302
303
304
305
306
307
308
309
310
311
312
313
314
315
316
317
318
319
320
321
322
323
324
325
326
327
328
329
330
331
332
333
334
335
336
337
338
339
340
341
342
343
344
345
346
347
348
349
350
351
352
353
354
355
356
357
358
359
360
361
362
363
364
365
366
367
368
369
370
371
372
373
374
375
376
377
378
379
380
381
382
383
384
385
386
387
388
389
390
391
392
393
394
395
396
397
398
399
400
401
402
403
404
405
406
407
408
409
410
411
412
413
414
415
416
417
418
419
420
421
422
423
424
425
426
427
428
429
430
431
432
433
434
435
436
437
438
439
440
441
442
443
444
445
446
447
448
449
450
451
452
453
454
455
456
457
458
459
460
461
462
463
464
465
466
467
468
469
470
471
472
473
474
475
476
477
478
479
480
481
482
483
484
485
486
487
488
489
490
491
492
493
494
495
496
497
498
499
500
501
502
503
504
505
506
507
508
509
510
511
512
513
514
515
516
517
518
519
520
521
522
523
524
525
526
527
528
529
530
531
532
533
534
535
536
537
538
539
540
541
542
543
544
545
546
547
548
549
550
551
552
553
554
555
556
557
558
559
560
561
562
563
564
565
566
567
568
569
570
571
572
573
574
575
576
577
578
579
580
581
582
583
584
585
586
587
588
589
590
591
592
593
594
595
596
597
598
599
600
601
602
603
604
605
606
607
608
609
610
611
612
613
614
615
616
617
618
619
620
621
622
623
624
625
626
627
628
629
630
631
632
633
634
635
636
637
638
639
640
641
642
643
644
645
646
647
648
649
650
651
652
653
654
655
656
657
658
659
660
661
662
663
664
665
666
667
668
669
670
671
672
673
674
675
676
677
678
679
680
681
682
683
684
685
686
687
688
689
690
691
692
693
694
695
696
697
698
699
700
701
702
703
704
705
706
707
708
709
710
711
712
713
714
715
716
717
718
719
720
721
722
723
724
725
726
727
728
729
730
731
732
733
734
735
736
737
738
739
740
741
742
743
744
745
746
747
748
749
750
751
752
753
754
755
756
757
758
759
760
761
762
763
764
765
766
767
768
769
770
771
772
773
774
775
776
777
778
779
780
781
782
783
784
785
786
787
788
789
790
791
792
793
794
795
796
797
798
799
800
801
802
803
804
805
806
807
808
809
810
811
812
813
814
815
816
817
818
819
820
821
822
823
824
825
826
827
828
829
830
831
832
833
834
835
836
837
838
839
840
841
842
843
844
845
846
847
848
849
850
851
852
853
854
855
856
857
858
859
860
861
862
863
864
865
866
867
868
869
870
871
872
873
874
875
876
877
878
879
880
881
882
883
884
885
886
887
888
889
890
891
892
893
894
895
896
897
898
899
900
901
902
903
904
905
906
907
908
909
910
911
912
913
914
915
916
917
918
919
920
921
922
923
924
925
926
927
928
929
930
931
932
933
934
935
936
937
938
939
940
941
942
943
944
945
946
947
948
949
950
951
952
953
954
955
956
957
958
959
960
961
962
963
964
965
966
967
968
969
970
971
972
973
974
975
976
977
978
979
980
981
982
983
984
985
986
987
988
989
990
991
992
993
994
995
996
997
998
999
1000
1001
1002
1003
1004
1005
1006
1007
1008
1009
1010
1011
1012
1013
1014
1015
1016
1017
1018
1019
1020
1021
1022
1023
1024
1025
1026
1027
1028
1029
1030
1031
1032
1033
1034
1035
1036
1037
1038
1039
1040
1041
1042
1043
1044
1045
1046
1047
1048
1049
1050
1051
1052
1053
1054
1055
1056
1057
1058
1059
1060
1061
1062
1063
1064
1065
1066
1067
1068
1069
1070
1071
1072
1073
1074
1075
1076
1077
1078
1079
1080
1081
1082
1083
1084
1085
1086
1087
1088
1089
1090
1091
1092
1093
1094
1095
1096
1097
1098
1099
1100
1101
1102
1103
1104
1105
1106
1107
1108
1109
1110
1111
1112
1113
1114
1115
1116
1117
1118
1119
1120
1121
1122
1123
1124
1125
1126
1127
1128
1129
1130
1131
1132
1133
1134
1135
1136
1137
1138
1139
1140
1141
1142
1143
1144
1145
1146
1147
1148
1149
1150
1151
1152
1153
1154
1155
1156
1157
1158
1159
1160
1161
1162
1163
1164
1165
1166
1167
1168
1169
1170
1171
1172
1173
1174
1175
1176
1177
1178
1179
1180
1181
1182
1183
1184
1185
1186
1187
1188
1189
1190
1191
1192
1193
1194
1195
1196
1197
1198
1199
1200
1201
1202
1203
1204
1205
1206
1207
1208
1209
1210
1211
1212
1213
1214
1215
1216
1217
1218
1219
1220
1221
1222
1223
1224
1225
1226
1227
1228
1229
1230
1231
1232
1233
1234
1235
1236
1237
1238
1239
1240
1241
1242
1243
1244
1245
1246
1247
1248
1249
1250
1251
1252
1253
1254
1255
1256
1257
1258
1259
1260
1261
1262
1263
1264
1265
1266
1267
1268
1269
1270
1271
1272
1273
1274
1275
1276
1277
1278
1279
1280
1281
1282
1283
1284
1285
1286
1287
1288
1289
1290
1291
1292
1293
1294
1295
1296
1297
1298
1299
1300
1301
1302
1303
1304
1305
1306
1307
1308
1309
1310
1311
1312
1313
1314
1315
1316
1317
1318
1319
1320
1321
1322
1323
1324
1325
1326
1327
1328
1329
1330
1331
1332
1333
1334
1335
1336
1337
1338
1339
1340
1341
1342
1343
1344
1345
1346
1347
1348
1349
1350
1351
1352
1353
1354
1355
1356
1357
1358
1359
1360
1361
1362
1363
1364
1365
1366
1367
1368
1369
1370
1371
1372
1373
1374
1375
1376
1377
1378
1379
1380
1381
1382
1383
1384
1385
1386
1387
1388
1389
1390
1391
1392
1393
1394
1395
1396
1397
1398
1399
1400
1401
1402
1403
1404
1405
1406
1407
1408
1409
1410
1411
1412
1413
1414
1415
1416
1417
1418
1419
1420
1421
1422
1423
1424
1425
1426
1427
1428
1429
1430
1431
1432
1433
1434
1435
1436
1437
1438
1439
1440
1441
1442
1443
1444
1445
1446
1447
1448
1449
1450
1451
1452
1453
1454
1455
1456
1457
1458
1459
1460
1461
1462
1463
1464
1465
1466
1467
1468
1469
1470
1471
1472
1473
1474
1475
1476
1477
1478
1479
1480
1481
1482
1483
1484
1485
1486
1487
1488
1489
1490
1491
1492
1493
1494
1495
1496
1497
1498
1499
1500
1501
1502
1503
1504
1505
1506
1507
1508
1509
1510
1511
1512
1513
1514
1515
1516
1517
1518
1519
1520
1521
1522
1523
1524
1525
1526
1527
1528
1529
1530
1531
1532
1533
1534
1535
1536
1537
1538
1539
1540
1541
1542
1543
1544
1545
1546
1547
1548
1549
1550
1551
1552
1553
1554
1555
1556
1557
1558
1559
1560
1561
1562
1563
1564
1565
1566
1567
1568
1569
1570
1571
1572
1573
1574
1575
1576
1577
1578
1579
1580
1581
1582
1583
1584
1585
1586
1587
1588
1589
1590
1591
1592
1593
1594
1595
1596
1597
1598
1599
1600
1601
1602
1603
1604
1605
1606
1607
1608
1609
1610
1611
1612
1613
1614
1615
1616
1617
1618
1619
1620
1621
1622
1623
1624
1625
1626
1627
1628
1629
1630
1631
1632
1633
1634
1635
1636
1637
1638
1639
1640
1641
1642
1643
1644
1645
1646
1647
1648
1649
1650
1651
1652
1653
1654
1655
1656
1657
1658
1659
1660
1661
1662
1663
1664
1665
1666
1667
1668
1669
1670
1671
1672
1673
1674
1675
1676
1677
1678
1679
1680
1681
1682
1683
1684
1685
1686
1687
1688
1689
1690
1691
1692
1693
1694
1695
1696
1697
1698
1699
1700
1701
1702
1703
1704
1705
1706
1707
1708
1709
1710
1711
1712
1713
1714
1715
1716
1717
1718
1719
1720
1721
1722
1723
1724
1725
1726
1727
1728
1729
1730
1731
1732
1733
1734
1735
1736
1737
1738
1739
1740
1741
1742
1743
1744
1745
1746
1747
1748
1749
1750
1751
1752
1753
1754
1755
1756
1757
1758
1759
1760
1761
1762
1763
1764
1765
1766
1767
1768
1769
1770
1771
1772
1773
1774
1775
1776
1777
1778
1779
1780
1781
1782
1783
1784
1785
1786
1787
1788
1789
1790
1791
1792
1793
1794
1795
1796
1797
1798
1799
1800
1801
1802
1803
1804
1805
1806
1807
1808
1809
1810
1811
1812
1813
1814
1815
1816
1817
1818
1819
1820
1821
1822
1823
1824
1825
1826
1827
1828
1829
1830
1831
1832
1833
1834
1835
1836
1837
1838
1839
1840
1841
1842
1843
1844
1845
1846
1847
1848
1849
1850
1851
1852
1853
1854
1855
1856
1857
1858
1859
1860
1861
1862
1863
1864
1865
1866
1867
1868
1869
1870
1871
1872
1873
1874
1875
1876
1877
1878
1879
1880
1881
1882
1883
1884
1885
1886
1887
1888
1889
1890
1891
1892
1893
1894
1895
1896
1897
1898
1899
1900
1901
1902
1903
1904
1905
1906
1907
1908
1909
1910
1911
1912
1913
1914
1915
1916
1917
1918
1919
1920
1921
1922
1923
1924
1925
1926
1927
1928
1929
1930
1931
1932
1933
1934
1935
1936
1937
1938
1939
1940
1941
1942
1943
1944
1945
1946
1947
1948
1949
1950
1951
1952
1953
1954
1955
1956
1957
1958
1959
1960
1961
1962
1963
1964
1965
1966
1967
1968
1969
1970
1971
1972
1973
1974
1975
1976
1977
1978
1979
1980
1981
1982
1983
1984
1985
1986
1987
1988
1989
1990
1991
1992
1993
1994
1995
1996
1997
1998
1999
2000
2001
2002
2003
2004
2005
2006
2007
2008
2009
2010
2011
2012
2013
2014
2015
2016
2017
2018
2019
2020
2021
2022
2023
2024
2025
2026
2027
2028
2029
2030
2031
2032
2033
2034
2035
2036
2037
2038
2039
2040
2041
2042
2043
2044
2045
2046
2047
2048
2049
2050
2051
2052
2053
2054
2055
2056
2057
2058
2059
2060
2061
2062
2063
2064
2065
2066
2067
2068
2069
2070
2071
2072
2073
2074
2075
2076
2077
2078
2079
2080
2081
2082
2083
2084
2085
2086
2087
2088
2089
2090
2091
2092
2093
2094
2095
2096
2097
2098
2099
2100
2101
2102
2103
2104
2105
2106
2107
2108
2109
2110
2111
2112
2113
2114
2115
2116
2117
2118
2119
2120
2121
2122
2123
2124
2125
2126
2127
2128
2129
2130
2131
2132
2133
2134
2135
2136
2137
2138
2139
2140
2141
2142
2143
2144
2145
2146
2147
2148
2149
2150
2151
2152
2153
2154
2155
2156
2157
2158
2159
2160
2161
2162
2163
2164
2165
2166
2167
2168
2169
2170
2171
2172
2173
2174
2175
2176
2177
2178
2179
2180
2181
2182
2183
2184
2185
2186
2187
2188
2189
2190
2191
2192
2193
2194
2195
2196
2197
2198
2199
2200
2201
2202
2203
2204
2205
2206
2207
2208
2209
2210
2211
2212
2213
2214
2215
2216
2217
2218
2219
2220
2221
2222
2223
2224
2225
2226
2227
2228
2229
2230
2231
2232
2233
2234
2235
2236
2237
2238
2239
2240
2241
2242
2243
2244
2245
2246
2247
2248
2249
2250
2251
2252
2253
2254
2255
2256
2257
2258
2259
2260
2261
2262
2263
2264
2265
2266
2267
2268
2269
2270
2271
2272
2273
2274
2275
2276
2277
2278
2279
2280
2281
2282
2283
2284
2285
2286
2287
2288
2289
2290
2291
2292
2293
2294
2295
2296
2297
2298
2299
2300
2301
2302
2303
2304
2305
2306
2307
2308
2309
2310
2311
2312
2313
2314
2315
2316
2317
2318
2319
2320
2321
2322
2323
2324
2325
2326
2327
2328
2329
2330
2331
2332
2333
2334
2335
2336
2337
2338
2339
2340
2341
2342
2343
2344
2345
2346
2347
2348
2349
2350
2351
2352
2353
2354
2355
2356
2357
2358
2359
2360
2361
2362
2363
2364
2365
2366
2367
2368
2369
2370
2371
2372
2373
2374
2375
2376
2377
2378
2379
2380
2381
2382
2383
2384
2385
2386
2387
2388
2389
2390
2391
2392
2393
2394
2395
2396
2397
2398
2399
2400
2401
2402
2403
2404
2405
2406
2407
2408
2409
2410
2411
2412
2413
2414
2415
2416
2417
2418
2419
2420
2421
2422
2423
2424
2425
2426
2427
2428
2429
2430
2431
2432
2433
2434
2435
2436
2437
2438
2439
2440
2441
2442
2443
2444
2445
2446
2447
2448
2449
2450
2451
2452
2453
2454
2455
2456
2457
2458
2459
2460
2461
2462
2463
2464
2465
2466
2467
2468
2469
2470
2471
2472
2473
2474
2475
2476
2477
2478
2479
2480
2481
2482
2483
2484
2485
2486
2487
2488
2489
2490
2491
2492
2493
2494
2495
2496
2497
2498
2499
2500
2501
2502
2503
2504
2505
2506
2507
2508
2509
2510
2511
2512
2513
2514
2515
2516
2517
2518
2519
2520
2521
2522
2523
2524
2525
2526
2527
2528
2529
2530
2531
2532
2533
2534
2535
2536
2537
2538
2539
2540
2541
2542
2543
2544
2545
2546
2547
2548
2549
2550
2551
2552
2553
2554
2555
2556
2557
2558
2559
2560
2561
2562
2563
2564
2565
2566
2567
2568
2569
2570
2571
2572
2573
2574
2575
2576
2577
2578
2579
2580
2581
2582
2583
2584
2585
2586
2587
2588
2589
2590
2591
2592
2593
2594
2595
2596
2597
2598
2599
2600
2601
2602
2603
2604
2605
2606
2607
2608
2609
2610
2611
2612
2613
2614
2615
2616
2617
2618
2619
2620
2621
2622
2623
2624
2625
2626
2627
2628
2629
2630
2631
2632
2633
2634
2635
2636
2637
2638
2639
2640
2641
2642
2643
2644
2645
2646
2647
2648
2649
2650
2651
2652
2653
2654
2655
2656
2657
2658
2659
2660
2661
2662
2663
2664
2665
2666
2667
2668
2669
2670
2671
2672
2673
2674
2675
2676
2677
2678
2679
2680
2681
2682
2683
2684
2685
2686
2687
```



```

66         for linea in archivo:
67
68             lst1 = [x for x in linea.split(',')]
69             p1.append(float(lst1[0]))
70             p2.append(float(lst1[1]))
71             p3.append(float(lst1[2]))
72             t.append(float(lst1[15]))
73
74             print(p1[i])
75             print(p2[i])
76             print(p3[i])
77             print(t[i])
78
79             #UR3
80             pos1 = msg.decode()
81             pos1 = pos1[2:len(pos1)]
82             a = pos1.replace("b'p[", "").replace("]", "")
83             lst1 = [x for x in a.split(',')]
84             print(lst1)
85
86             p01 = (float(lst1[0]))
87             p02 = (float(lst1[1]))
88             p03 = (float(lst1[2]))
89
90             print("Posiciones recibidas del UR3")
91
92             print(p01)
93             print(p02)
94             print(p03)
95
96             A = np.array([[0, -1, 0, -0.769], [1, 0, 0, 0.894], [0, 0, 1, 0.186], [0, 0, 0, 1]])
97             BA = np.array([[0, -1, 0, -0.825], [1, 0, 0, 0.894], [0, 0, 1, 0.186], [0, 0, 0, 1]])
98             B = np.array([p01, p02, p03, 1])
99
100             T = np.dot(A, B)
101             print("Posicion del UR3 respecto al nuevo sistema de coordenadas")
102             print(T)
103             p11 = (float(T[0]))
104             p22 = (float(T[1]))
105             p33 = (float(T[2]))
106
107             # UR2
108             pos2 = msg2.decode()
109             pos2 = pos2[2:len(pos2)]
110             b = pos2.replace("b'a[", "").replace("]", "")
111             lst = [x for x in b.split(',')]
112             print(lst)
113
114             p1R = (float(lst[0]))
115             p2R = (float(lst[1]))
116             p3R = (float(lst[2]))
    
```



```

116     print("Posiciones recibidas del URe")
117     print(p1R)
118     print(p2R)
119     print(p3R)
120
121
122     print("Errores")
123     e_x1 = p11 - p1R
124     e_y1 = p22 - p2R
125     e_z1 = p33 - p3R
126     C = np.array([[e_x1], [e_y1], [e_z1]])
127     print(C)
128
129     #Respecto la base de datos
130     print(i)
131     e_x2 = p1[i] - p1R
132     e_y2 = p2[i] - p2R
133     e_z2 = p3[i] - p3R
134     i=i+1
135     D = np.array([[e_x2], [e_y2], [e_z2]])
136     print(D)
137
138     kpx1 = 1
139     kpy1 = 1
140     kpz1 = 1
141
142     kpx2 = 1
143     kpy2 = 1
144     kpz2 = 1
145
146     Kp1 = np.array([[kpx1, 0, 0], [0, kpy1, 0], [0, 0, kpz1]])
147     Kp2 = np.array([[kpx2, 0, 0], [0, kpy2, 0], [0, 0, kpz2]])
148     Vref = (np.dot(Kp1, C) + np.dot(Kp2, D))
149     print("Vref")
150     print(Vref)
151
152     v1 = ((float(Vref[0])))
153     v2 = ((float(Vref[1])))
154     v3 = ((float(Vref[2])))
155
156     if abs(e_x1) < 0.001:
157         v1 = 0
158     if abs(e_y1) < 0.001:
159         v2 = 0
160     if abs(e_z1) < 0.001:
161         v3 = 0
162
163     VEL = (v1, v2, v3)
164     VEL1 = str(VEL)
165     print("POSICION A ENVIAR AL URe")
166     print(VEL1)
    
```

```
167         d.send(VEL1.encode())
168         print("Data sent URe")
169         #time.sleep(0.5)
170
171         msg5 = d.recv(1024)
172         print("Posicion enviada al URe")
173         print(msg5)
174
175         end = time.time()
176         Tiempo = Tiempo+(end - start)
177         print("Tiempo de ejecución")
178         print(Tiempo)
179
180     else:
181         print("No se ha recibido posición")
182
183     except socket.error as socketerror:
184         print("Error")
185
186     archivo.close()
187     c.close()
188     s.close()
189     d.close()
190     r.close()
191     print("Programa terminado")
```

- Código Matlab, Prueba inversa generador de trayectoria.

```
1 Datos=readcell('Trayectoria_V2_A1.csv')
2 n=length(Datos)
3 P11=cell2mat(Datos(2:n,1))'
4 P22=cell2mat(Datos(2:n,2))'
5 P33=cell2mat(Datos(2:n,3))'
6
7 %JoinP
8 P1=cell2mat(Datos(2:n,4))'
9 P2=cell2mat(Datos(2:n,5))'
10 P3=cell2mat(Datos(2:n,6))'
11 P4=cell2mat(Datos(2:n,7))'
12 P5=cell2mat(Datos(2:n,8))'
13 P6=cell2mat(Datos(2:n,9))'
14
15 %Tiempo
16 t=cell2mat(Datos(2:n,16))'
17
18 %JoinV
19 V1=cell2mat(Datos(2:n,10))'
20 V2=cell2mat(Datos(2:n,11))'
21 V3=cell2mat(Datos(2:n,12))'
22 V4=cell2mat(Datos(2:n,13))'
23 V5=cell2mat(Datos(2:n,14))'
24 V6=cell2mat(Datos(2:n,15))'
25
26 %JointV en grados
27 V11=V1*(180/pi)
28 V22=V2*(180/pi)
```

```
29 V33=V3*(180/pi)
30 V44=V4*(180/pi)
31 V55=V5*(180/pi)
32 V66=V6*(180/pi)
33
34 %representacion JointV en grados
35 subplot(2,3,1)
36 plot(t,V11)
37 xlabel('t')
38 title('V1')
39 subplot(2,3,2)
40 plot(t,V22)
41 xlabel('t')
42 title('V2')
43 subplot(2,3,3)
44 plot(t,V33)
45 xlabel('t')
46 title('V3')
47 subplot(2,3,4)
48 plot(t,V44)
49 xlabel('t')
50 title('V4')
51 subplot(2,3,5)
52 plot(t,V55)
53 xlabel('t')
54 title('V5')
55 subplot(2,3,6)
56 plot(t,V66)
```

```
57 xlabel('t')
58 title('V6')
59
60 A1=[]
61 A2=[]
62 A3=[]
63 A4=[]
64 A5=[]
65 A6=[]
66
67 %aceleracion
68 for r= 1:n
69     v1=V11(1,r)
70     v2=V11(1,r+1)
71     t1=t(1,r)
72     t2=t(1,r+1)
73     a=(v2-v1)/(t2-t1)
74     A1(r)=a
75
76     v12=V22(1,r)
77     v22=V22(1,r+1)
78     t12=t(1,r)
79     t22=t(1,r+1)
80     a2=(v22-v12)/(t22-t12)
81     A2(r)=a2
82
83     v13=V33(1,r)
84     v23=V33(1,r+1)
```

```
85     t13=t(1,r)
86     t23=t(1,r+1)
87     a3=(v23-v13)/(t23-t13)
88     A3(r)=a3
89
90     v14=V44(1,r)
91     v24=V44(1,r+1)
92     t14=t(1,r)
93     t24=t(1,r+1)
94     a4=(v24-v14)/(t24-t14)
95     A4(r)=a4
96
97     v15=V55(1,r)
98     v25=V55(1,r+1)
99     t15=t(1,r)
100    t25=t(1,r+1)
101    a5=(v25-v15)/(t25-t15)
102    A5(r)=a5
103
104    v16=V66(1,r)
105    v26=V66(1,r+1)
106    t16=t(1,r)
107    t26=t(1,r+1)
108    a6=(v26-v16)/(t26-t16)
109    A6(r)=a6
110
111    end
112    t1=t(1:r-1)
```

```
113
114 %Aceleracion
115 subplot(2,3,1)
116 plot(t1,A1)
117 xlabel('t')
118 title('A1')
119 subplot(2,3,2)
120 plot(t1,A2)
121 xlabel('t')
122 title('A2')
123 subplot(2,3,3)
124 plot(t1,A3)
125 xlabel('t')
126 title('A3')
127 subplot(2,3,4)
128 plot(t1,A4)
129 xlabel('t')
130 title('A4')
131 subplot(2,3,5)
132 plot(t1,A5)
133 xlabel('t')
134 title('A5')
135 subplot(2,3,6)
136 plot(t1,A6)
137 xlabel('t')
138 title('A6')
139
```

```
140 %JoinP en grados
141 p11=P1*(180/pi)
142 p22=P2*(180/pi)
143 p33=P3*(180/pi)
144 p44=P4*(180/pi)
145 p55=P5*(180/pi)
146 p66=P6*(180/pi)
147
148 %Representacion JoinP en grados
149 subplot(2,3,1)
150 plot(t,p11)
151 xlabel('t')
152 title('P1')
153 subplot(2,3,2)
154 plot(t,p22)
155 xlabel('t')
156 title('P2')
157 subplot(2,3,3)
158 plot(t,p33)
159 xlabel('t')
160 title('P3')
161 subplot(2,3,4)
162 plot(t,p44)
163 xlabel('t')
164 title('P4')
165 subplot(2,3,5)
166 plot(t,p55)
167 xlabel('t')
```



```
168 title('P5')
169 subplot(2,3,6)
170 plot(t,p66)
171 xlabel('t')
172 title('P6')
173
174 %Representacion JoinP
175 subplot(2,3,1)
176 plot(P1,t)
177 subplot(2,3,2)
178 plot(P2,t)
179 subplot(2,3,3)
180 plot(P3,t)
181 subplot(2,3,4)
182 plot(P4,t)
183 subplot(2,3,5)
184 plot(P5,t)
185 subplot(2,3,6)
186 plot(P6,t)
187
188 %Representacion JoinV
189 subplot(2,3,1)
190 plot(t,V1)
191 subplot(2,3,2)
192 plot(t,V2)
193 subplot(2,3,3)
194 plot(t,V3)
195 subplot(2,3,4)
196 plot(t,V4)
197 subplot(2,3,5)
198 plot(t,V5)
199 subplot(2,3,6)
200 plot(t,V6)
```



UNIVERSITAT
POLITÈCNICA
DE VALÈNCIA



UNIVERSIDAD POLITECNICA DE VALENCIA

Dpto. de Ingeniería de Sistemas y Automática

Control distribuido del robot colaborativo UR3

2. PLANOS

TRABAJO DE FIN DE MASTER

Master Universitario en Automática e Informática Industrial

AUTOR/A: Alfonso Safont, Raúl

Tutor/a: Zotovic Stanisic, Ranko

Curso Académico: 2021-2022

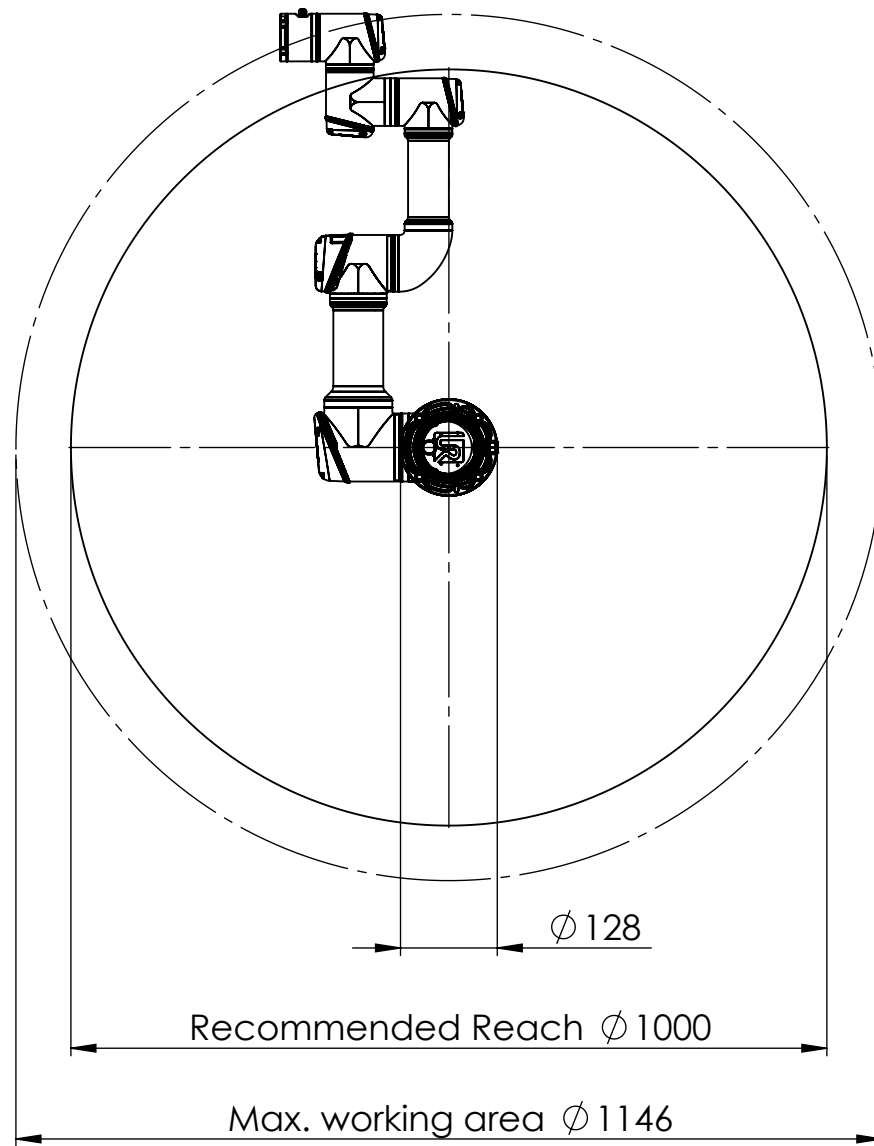




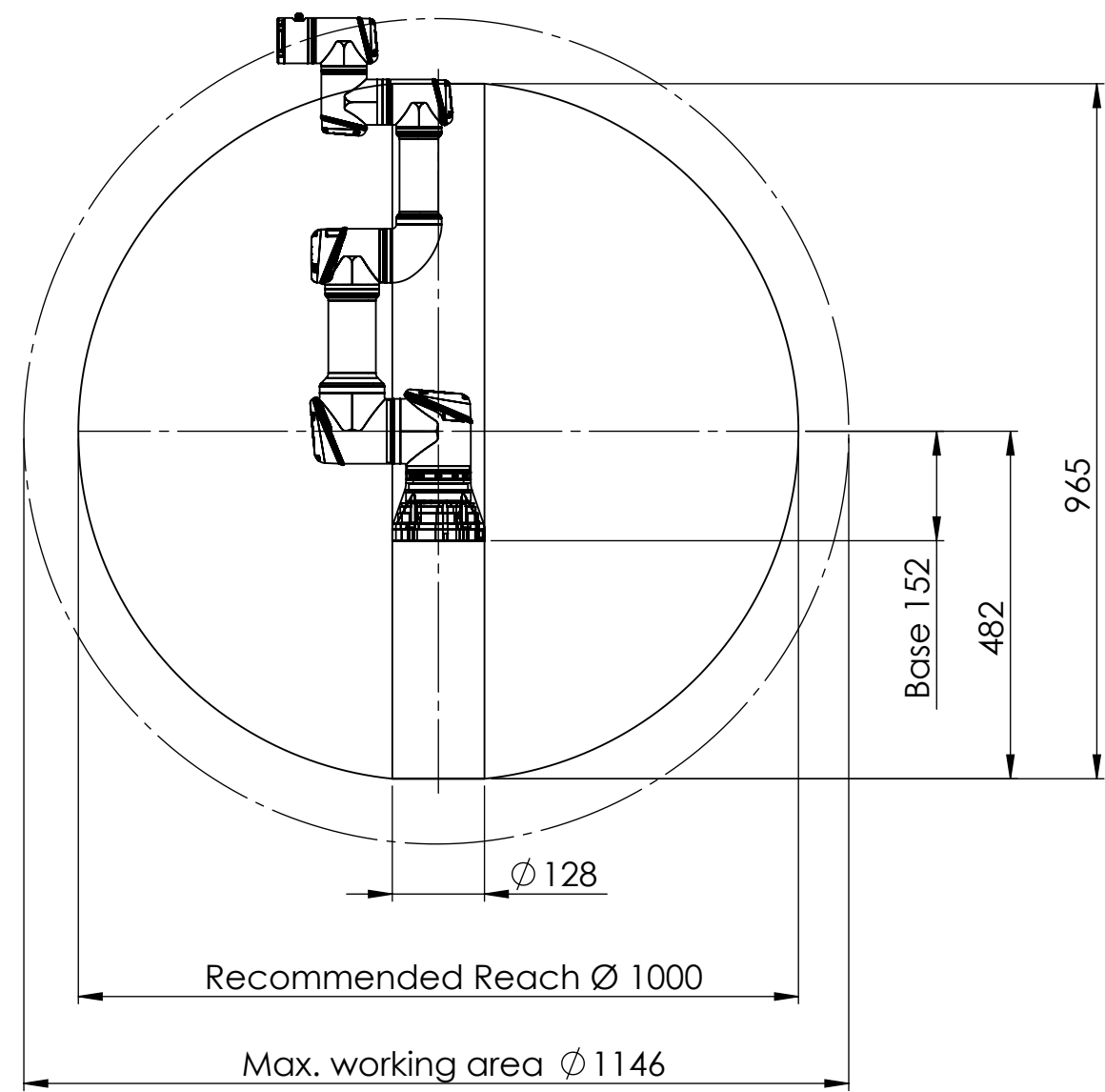
Índice

Espacio de trabajo UR3e	1
Espacio de trabajo UR3e con dimensión de los eslabones	2
Esquema eléctrico general UR3e	3
Esquema eléctrico del Controlador	4
Esquema eléctrico del brazo robótico	5


UR3 working area, top view

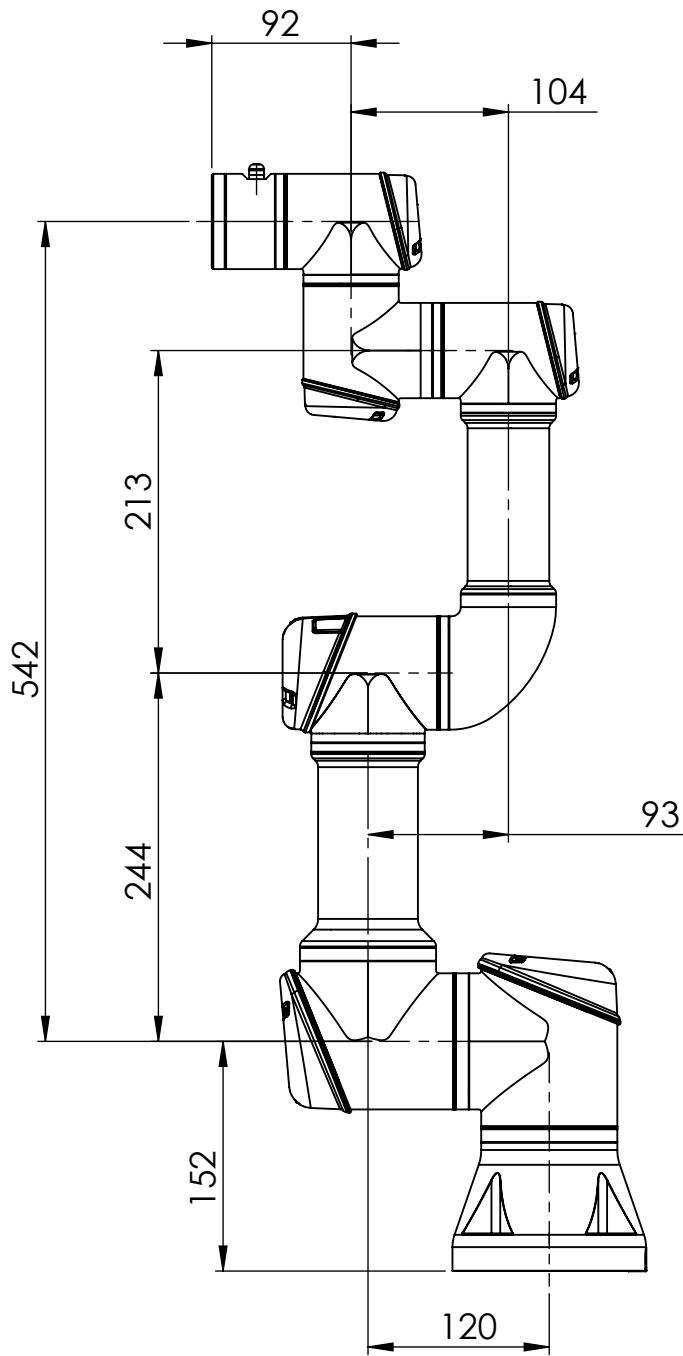


UR3 working area, side view



All dimension is in mm
For public use

 UNIVERSAL ROBOTS <small>TEL: +45 89 93 89 89 FAX: +45 38 79 89 89 WEB: universal-robots.com</small>	
<small>TITLE:</small> UR3e Working Area	
<small>DATE:</small> 28-05-2018	
<small>Status change date:</small>	
<small>DWG NO.</small> 1000697	<small>REV.</small> 0



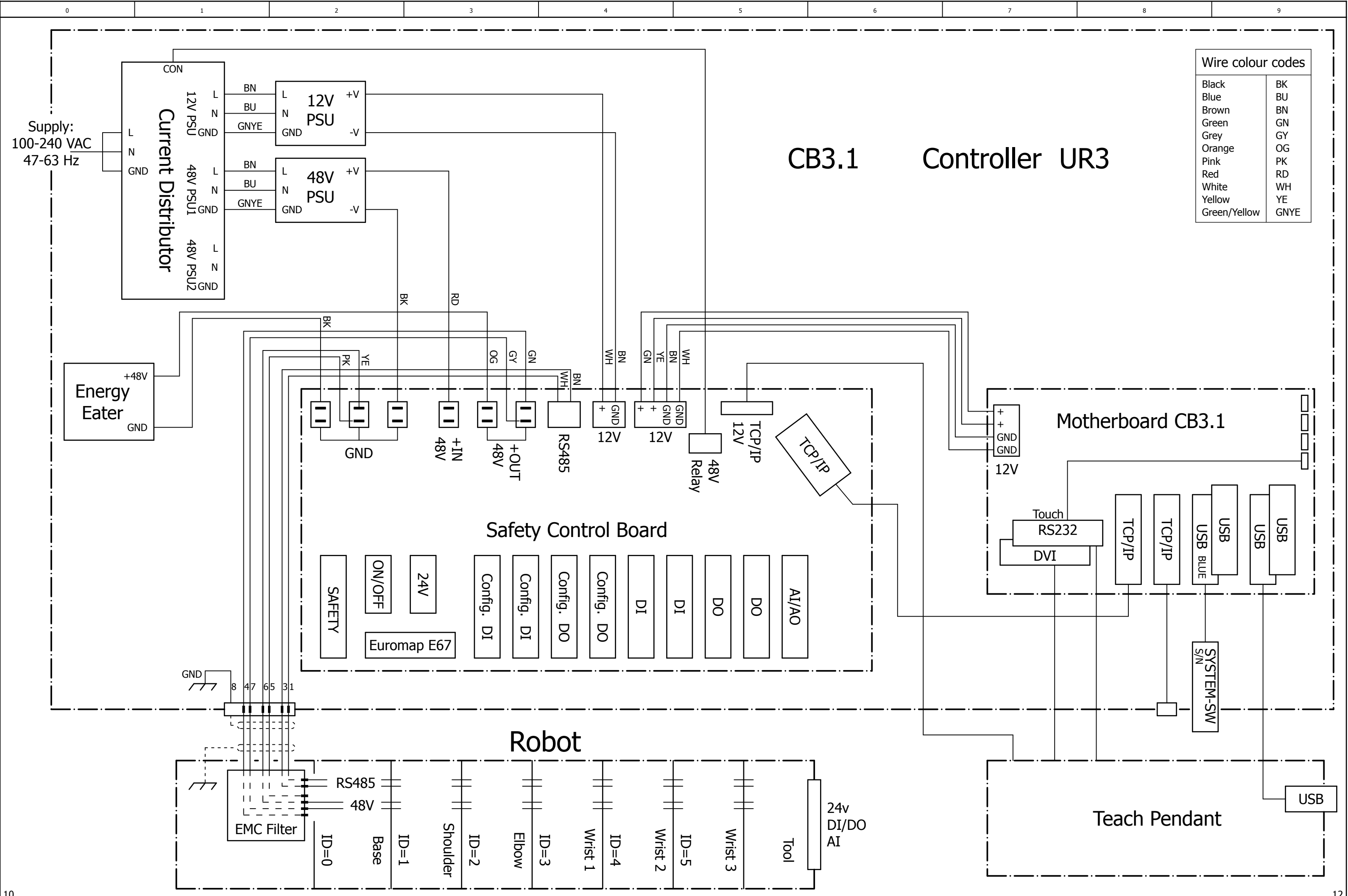
All dimension is in mm
For public use



UNIVERSAL ROBOTS

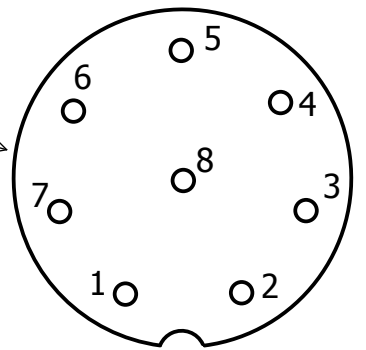
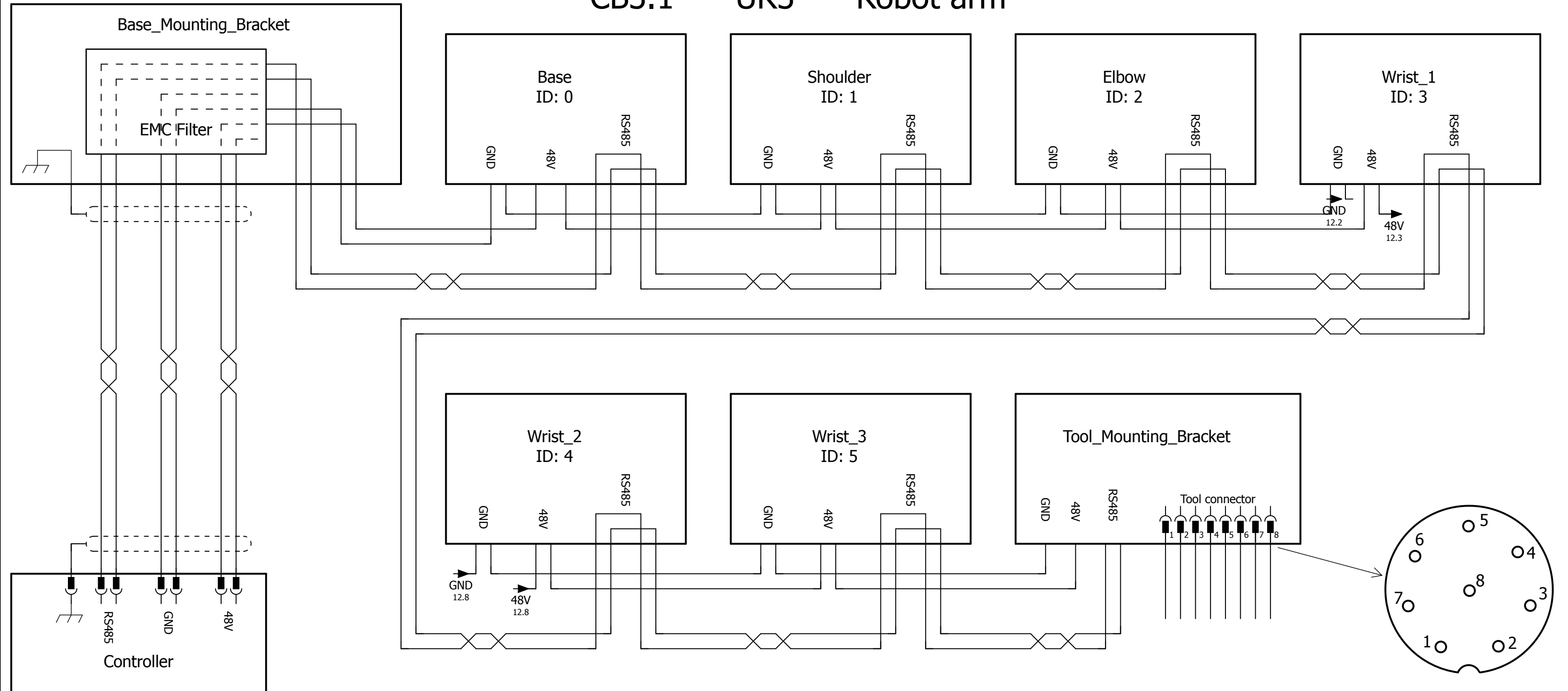
TEL: +45 89 93 89 89 FAX: +45 38 79 89 89 WEB: universal-robots.com

TITLE:	UR3e Working Area	
DATE	28-05-2018	
Status change date:		
DWG NO.	1000697	REV. 0



Date		10-03-2015		Universal Robots		Controller UR3		= UR3	
Ed.								+	
Appr								Dwg. No.: 3.0.3.1	
Modification		Date		Name		Original		Replacement of	
								Replaced by	
								Page 11	
								Pages in total 18	

CB3.1 UR3 Robot arm



Lumberg Automation
Type: RSMEDG 8

- 1 = white AI[2]
- 2 = brown AI[3]
- 3 = green DI[9] (pnp)
- 4 = yellow DI[8] (pnp)
- 5 = grey 12/24V (power)
- 6 = pink DO[9] (npn)
- 7 = blue DO[8] (npn)
- 8 = red GND

			Date	10-03-2015	Universal Robots		Robot arm UR3		= UR3	
			Ed.						+	
			Appr.						Dwg. No.: 3.0.3.1	
Modification	Date	Name	Original	Replacement of	Replaced by				Page	12
									Pages in total	18



UNIVERSITAT
POLITÈCNICA
DE VALÈNCIA



UNIVERSIDAD POLITECNICA DE VALENCIA

Dpto. de Ingeniería de Sistemas y Automática

Control distribuido del robot colaborativo UR3

3. PRESUPUESTO

TRABAJO DE FIN DE MASTER

Master Universitario en Automática e Informática Industrial

AUTOR/A: Alfonso Safont, Raúl

Tutor/a: Zotovic Stanisic, Ranko

Curso Académico: 2021-2022





Índice

Cuadro mano de obra	1
Cuadro maquinaria	3
Cuadro materiales	5
Justificación de precios	7
Cuadro de precios descompuestos	10
Medición	11
Presupuesto	13
Resumen	17

Cuadro de mano de obra

Cuadro de mano de obra

Página 1

Núm. Código	Denominación de la mano de obra	Precio	Horas	Total
1 TRPP	Horas tutorizadas por el profesorado	15,000	65,000 h	975,00
2 TRPA	Horas realizadas por el alumnado	10,000	450,000 h	4.500,00
		Total mano de obra:		5.475,00

Cuadro de maquinaria

Total maquinaria: 0,00

Cuadro de materiales

Cuadro de materiales

Página 1

Núm. Código	Denominación del material	Precio	Cantidad	Total
1 SMTO	Torre ordenador de mesa	339,000	1,000 1	339,00
2 SMPO	Monitor para el ordenador de 20''	55,000	1,000 1	55,00
3 SMMW	Router wifi	13,390	1,000 1	13,39
4 SMTC	Teclado ordenador	5,990	1,000 1	5,99
5 SMRT	Ratón ordenador	5,990	1,000 1	5,99
			Total materiales:	419,37

Anejo de justificación de precios

Núm.	Código	Ud	Descripción	Total
1	SMBR	ud	Placa metalica para sujetar el robot de 500x250 mm	
			Sin descomposición	185,000
		0,000 %	Costes indirectos	0,000
			Total por ud	185,00
			Son CIENTO OCHENTA Y CINCO EUROS por ud.	
2	SMCB	ud	Compute Box para el robot UR3 le permite utilizar cualquier pinza de OnRobot con todos los Universal Robots. Incluye la compute box, un cable de 5 m, una memoria USB, fuente de alimentación, cables de E/S, bloques de terminales, cables de E/S, correas para cables, etc. La compute box puede comunicarse a través de una interfaz de E/S digital o Ethernet. Está conectado al controlador del robot y al cambiador rápido de herramientas.	
			Sin descomposición	812,570
		0,000 %	Costes indirectos	0,000
			Total por ud	812,57
			Son OCHOCIENTOS DOCE EUROS CON CINCUENTA Y SIETE CÉNTIMOS por ud.	
3	SMMT	ud	Mesa de trabajo	
			Sin descomposición	332,000
		0,000 %	Costes indirectos	0,000
			Total por ud	332,00
			Son TRESCIENTOS TREINTA Y DOS EUROS por ud.	
4	SMOB	ud	Caja de cartón para realizar los experimentos 200x150x100 mm	
			Sin descomposición	0,910
		0,000 %	Costes indirectos	0,000
			Total por ud	0,91
			Son NOVENTA Y UN CÉNTIMOS por ud.	
5	SMPC	ud	Ordenador y accesorios	
	SMTO	1,000 1	Torre ordenador de mesa	339,000
	SMPO	1,000 1	Monitor para el ordenador	55,000
	SMRT	1,000 1	Ratón ordenador	5,990
	SMTC	1,000 1	Teclado ordenador	5,990
	SMMW	1,000 1	Router wifi	13,390
	%	2,000 %	Costes directos complementarios	419,370
		0,000 %	Costes indirectos	0,000
			Total por ud	427,76
			Son CUATROCIENTOS VEINTISIETE EUROS CON SETENTA Y SEIS CÉNTIMOS por ud.	
6	SMSP	ud	Soporte para la base del robot de 200mm de altura	
			Sin descomposición	120,000
		0,000 %	Costes indirectos	0,000
			Total por ud	120,00
			Son CIENTO VEINTE EUROS por ud.	

Núm.	Código	Ud	Descripción	Total
7	SMSR	ud	Sensor de la marca Onrobot para el robot UR3, dispone de seis grados de medición de fuerza y par.	
			Sin descomposición	3.575,000
		0,000 %	Costes indirectos	0,000
				3.575,000
			Total por ud	3.575,00
			Son TRES MIL QUINIENTOS SETENTA Y CINCO EUROS por ud.	
8	SMUR	ud	Robot UR3e incluye instalación	
			Sin descomposición	22.700,000
		0,000 %	Costes indirectos	0,000
				22.700,000
			Total por ud	22.700,00
			Son VEINTIDOS MIL SETECIENTOS EUROS por ud.	
9	TRPR	ud	Realización del trabajo	
	TRPP	65,000 h	Ingeniero en Automática Industrial	975,00
	TRPA	450,000 h	Ingeniero en Automática e Informática Industrial	4.500,00
		0,000 %	Costes indirectos	0,000
				5.475,000
			Total por ud	5.475,00
			Son CINCO MIL CUATROCIENTOS SETENTA Y CINCO EUROS por ud.	

Cuadro de precios nº 1

Advertencia

Los precios designados en letra en este cuadro, con la rebaja que resulte en la subasta en su caso, son los que sirven de base al contrato, y se utilizarán para valorar la obra ejecutada, siguiendo lo prevenido en la Cláusula 46 del Pliego de Cláusulas Administrativas Generales para la Contratación de Obras del Estado, considerando incluidos en ellos los trabajos, medios auxiliares y materiales necesarios para la ejecución de la unidad de obra que definan, conforme a lo prescrito en la Cláusula 51 del Pliego antes citado, por lo que el Contratista no podrá reclamar que se introduzca modificación alguna en ello, bajo ningún pretexto de error u omisión.

Nº	Designación	Importe	
		En cifra (Euros)	En letra (Euros)
1	ud Placa metalica para sujetar el robot de 500x250 mm	185,00	CIENTO OCHENTA Y CINCO EUROS
2	ud Compute Box para el robot UR3 le permite utilizar cualquier pinza de OnRobot con todos los Universal Robots. Incluye la compute box, un cable de 5 m, una memoria USB, fuente de alimentación, cables de E/S, bloques de terminales, cables de E/S, correas para cables, etc. La compute box puede comunicarse a través de una interfaz de E/S digital o Ethernet. Está conectado al controlador del robot y al cambiador rápido de herramientas.	812,57	OCHOCIENTOS DOCE EUROS CON CINCUENTA Y SIETE CÉNTIMOS
3	ud Mesa de trabajo	332,00	TRESCIENTOS TREINTA Y DOS EUROS
4	ud Caja de cartón para realizar los experimentos 200x150x100 mm	0,91	NOVENTA Y UN CÉNTIMOS
5	ud Ordenador y accesorios	427,76	CUATROCIENTOS VEINTISIETE EUROS CON SETENTA Y SEIS CÉNTIMOS
6	ud Soporte para la base del robot de 200mm de altura	120,00	CIENTO VEINTE EUROS
7	ud Sensor de la marca Onrobot para el robot UR3, dispone de seis grados de medición de fuerza y par.	3.575,00	TRES MIL QUINIENTOS SETENTA Y CINCO EUROS
8	ud Robot UR3e incluye instalación	22.700,00	VEINTIDOS MIL SETECIENTOS EUROS
9	ud Realización del trabajo	5.475,00	CINCO MIL CUATROCIENTOS SETENTA Y CINCO EUROS
Valencia, 14/09/2022 Master en Automática e Informática Industrial Raul Alfonso Safont			

1 Materiales

N°	Ud	Descripción	Medición
1.1	Ud	Robot UR3e	
			Total ud : 2,000
1.2	Ud	Mesa de trabajo	
			Total ud : 1,000
1.3	Ud	Soporte para la base del robot	
			Total ud : 1,000
1.4	Ud	Soporte metalico para sujetar el robot	
			Total ud : 1,000
1.5	Ud	Ordenador y accesorios	
			Total ud : 1,000
1.6	Ud	Caja de cartón	
			Total ud : 1,000
1.7	Ud	Sensor Onrobot	
			Total ud : 1,000
1.8	Ud	Compute Box	
			Total ud : 1,000

2 Trabajo

N°	Ud	Descripción	Medición
2.1	Ud	Realización del trabajo	

Total ud : 1,000

Presupuesto

Presupuesto parcial nº 1 Materiales

Núm.	Código	Ud	Denominación	Cantidad	Precio (€)	Total (€)
1.1	SMUR	ud	Robot UR3e incluye instalación	2,000	22.700,00	45.400,00
1.2	SMMT	ud	Mesa de trabajo	1,000	332,00	332,00
1.3	SMSP	ud	Soporte para la base del robot de 200mm de altura	1,000	120,00	120,00
1.4	SMBR	ud	Placa metalica para sujetar el robot de 500x250 mm	1,000	185,00	185,00
1.5	SMPC	ud	Ordenador y accesorios	1,000	427,76	427,76
1.6	SMOB	ud	Caja de cartón para realizar los experimentos 200x150x100 mm	1,000	0,91	0,91
1.7	SMSR	ud	Sensor de la marca Onrobot para el robot UR3, dispone de seis grados de medición de fuerza y par.	1,000	3.575,00	3.575,00
1.8	SMCB	ud	Compute Box para el robot UR3 le permite utilizar cualquier pinza de OnRobot con todos los Universal Robots. Incluye la compute box, un cable de 5 m, una memoria USB, fuente de alimentación, cables de E/S, bloques de terminales, cables de E/S, correas para cables, etc. La compute box puede comunicarse a través de una interfaz de E/S digital o Ethernet. Está conectado al controlador del robot y al cambiador rápido de herramientas.	1,000	812,57	812,57
Total presupuesto parcial nº 1 Materiales :						50.853,24

Presupuesto parcial nº 2 Trabajo

Núm.	Código	Ud	Denominación	Cantidad	Precio (€)	Total (€)
2.1	TRPR	ud	Realización del trabajo	1,000	5.475,00	5.475,00
Total presupuesto parcial nº 2 Trabajo :						5.475,00

	<u>Importe (€)</u>
1 Materiales	50.853,24
2 Trabajo	5.475,00
Total	<u>56.328,24</u>

Asciende el presupuesto de ejecución material a la expresada cantidad de CINCUENTA Y SEIS MIL TRESCIENTOS VEINTIOCHO EUROS CON VEINTICUATRO CÉNTIMOS.

Valencia, 14/09/2022
Master en Automática e Informática Industrial

Raul Alfonso Safont

Proyecto: ROBOT UR3

Capítulo	Importe
Capítulo 1 Materiales	50.853,24
Capítulo 2 Trabajo	5.475,00
Presupuesto de ejecución material	56.328,24
13% de gastos generales	7.322,67
6% de beneficio industrial	3.379,69
Suma	67.030,60
21% IVA	14.076,43
Presupuesto de ejecución por contrata	81.107,03

Asciende el presupuesto de ejecución por contrata a la expresada cantidad de OCHENTA Y UN MIL CIENTO SIETE EUROS CON TRES CÉNTIMOS.

Valencia, 14/09/2022
Master en Automática e Informática Industrial

Raul Alfonso Safont